

290/2

2005



ივ. ჯავახიშვილის სახელობის თბილისის სახელმწიფო  
უნივერსიტეტის შრომები

Proceedings of I. Javakhishvili Tbilisi State University  
Труды Тбилисского государственного университета  
имени Ив. Джавахишвили

360

ISSN 1512-1488

ქიმია  
Chemistry  
Химия





ივ. ჯავახიშვილის სახელობის თბილისის  
 სახელმწიფო უნივერსიტეტის შრომები  
**Proceedings of I. Javakhishvili Tbilisi State University**  
**Труды Тбилисского государственного университета**  
**имени Ив. Джавахишвили**

360

ISSN 1512-1488

ქიმია  
**Chemistry**  
 Химия

44



თბილისის უნივერსიტეტის გამომცემლობა  
**Tbilisi University Press**  
 Издательство Тбилисского университета

თბილისი Tbilisi Тбилиси

2005

გ. ბეზარაშვილი, ე. ბუაძე, მ. გვერდწითელი (რედაქტორის  
მოადგილე), ნ. ლეკიშვილი (რედაქტორი), თ. მარსაგიშვილი,  
გ. მახარაძე, მ. რუხაძე, ქ. ჭკუასელი, ე. გრძელიძე (მდივანი)

## EDITORIAL BOARD

G. Bezarashvili, E. Buadze, M. Gverdtsiteli (Associate Editor),  
N. Lekishvili (Editor in Chief), T. Marsagishvili, G. Makharadze,  
M. Rukhadze, K. Chkuaseli, E. Grdzeliidze (Secretary)

## РЕДАКЦИОННАЯ КОЛЛЕГИЯ

Г. Безарашвили, Е. Буадзе, М. Гвердцители (заместитель редактора),  
Н. Лекишвили (редактор), Т. Марсагишвили, Г. Махарадзе,  
М. Рухадзе, К. Чкуасели, Е. Грдзелидзе (секретарь)

მეცნიერ-კონსულტანტი, პროფესორი გ. სუპატაშვილი  
Scientific Consultant Professor G. Supatashvili  
Научный консультант, профессор Г. Сунаташвили

ზოგადი და თეორიული ქიმა

მ. გვერდითილი. გახიოების გადაჯგუფების აღგებრულ-ქიმიური გამოკვლევა ..... 9

გ. გამზიანი, ჯ. გაწერკლია. ორგანული რვატციების სტრუქტურული სირაფლის შეფასების ფორმალურ-ლოგიკური მეთოდი ..... 13

მ. გვერდითილი, მ. გურგენიძე. ზედონის გადაჯგუფების გამოკვლევა უხველო-რბ-მარტივების და შინონის ინფორმაციის ენტროპიის მეთოდების ფარგლებში ..... 16

მ. გვერდითილი, გ. ხანაია. დარიშხან(III) კალაგენილების აღგებრულ-ქიმიური გამოკვლევა რბ-მარტივების მეთოდის ფარგლებში ..... 18

ნ. ლუკიშვილი, შ. სამაკაშვილი. დიადილსილაზანებთან დამადრიფსილოქსანების პოლიმეფიების რვატციები: ახალი მიღგომები ..... 19

ანალიზური ქიმა და გარემოს ქიმა

ნ. დორია, ნ. ლაბარტყავა, ნ. კარსანიძე, გ. სუპატაშვილი. დარიშხანი საჭართველოს მინერალური წლებების ტრავერტინებში ..... 26

ა. ხაიაური, ც. გოლიაძე, გ. შახარაძე. კუშინის მკაეების კომლექსინაროები მშიმე ლითონებთან ..... 31

ც. გოლიაძე, ა. ხაიაური, გ. შახარაძე. მშიმე ლითონების სორბცია კუშინის მკაეებზე ..... 36

ნ. ჩხეიციშვილი. თუთიის ონების პიდროლიზი და ფულეოშკაეებთან კომლექსინარმომცნა განზაეებულ წყალსინარებში ..... 40

არარორგანული ქიმა და ელემენტორგანული ქიმა

რ. გიგაური, მ. ინჯია, ჯ. მეტრეველი, გ. მითაიშვილი. ეთილენგლიკოლ-დარიშხანოვანი მკაეას აღკალურ ეფერებზე კიანტეველმკაეას მოქმედება ..... 44

რ. გიგაური, მ. გურგენიძე, ნ. გიგაური, ნ. გურგენიძე. მეთილფინილდიქლორ-და ვინილტრიქლორსილანების დარიშხანოვანი მკაეას სიმეტრიულ ეფერებთან ურთეფრთქმლებების პრიფექტების შესახებ ..... 49

გ. გოგინეიშვილი, ღ. ახათიანი, ა. ფანჯიკიძე. ფეროცენის რიგის მონო- და ბისინილ-აცეტილენური კარბინილები-სხეციალური დანიშნულების ახალი ეფექტური კატალიზატორები. შეტყობინება 1 ..... 56

გ. გოგინეიშვილი, ღ. ახათიანი, ა. ფანჯიკიძე. ფეროცენის რიგის მონო- და ბისინილ-აცეტილენური ხირტები - სხეციალური დანიშნულების ახალი ეფექტური კატალიზატორები. შეტყობინება 2 ..... 60

თ. დობჯანიძე. ოთხინაქვედებული არსინიების შემკველი კადმიუმის შერეულ-ლოგანდიანი აციდოკომლექსები ..... 61

ფიზიკური ქიმა

ნ. შაველაშვილი, ღ. კენიკაძე, ნ. გოგინეიშვილი, მ. მარტინი. ღვინში რეზვერატროლის მიცელური ელემტროკონტრეკური ტრომატოგრაფია ..... 75

გამოყენებითი ქიმა და ქიმიური მასალათმეცნიერება

გ. ლუკიშვილი, გ. არშიძე, ნ. ლუკიშვილი, თ. ლუკაშვილი. ხაწყაეის ხარისხისა და ფიზიკურ-ქიმიური თვისებების მოედირება და ტესტირება შათი ახლო ინფრაწითელი სპექტრების მონაცემთა საფუძველზე ..... 76

გ. მარქარაშვილი, ნ. ლუკიშვილი, ზ. ლომიათიძე, შ. სამაკაშვილი. გოგორღშემკველი ორგანოსილან(სილოქსან)დიოლების, ტეტროლების და ოლიგოტეტროლების სინთეზი და ბაქტერიციდული თვისებები ..... 93

ქიმიის სწავლების მეთოდოლოგია

მ. გვერდითილი, ვ. ცაგურია, მარგე გვერდითილი. სოვალენტური ტმე უბარონიშნული რეპროდუცირება ..... 94

84957

94

საქართველოს  
მეცნიერებათა აკადემიის  
საქონლის მართვის  
სამსახური

*General and theoretical chemistry*

M. Gverdtsiteli. Algebraic-chemical investigation of Gakhokidze's rearrangement .....	9
G. Gamziani, J. Gatscelia. Formal-logical method for estimation of the structural complexity of organic reactions .....	13
M. Gverdtsiteli, M. Gurgenzidze. Investigation of Zelinski's Rearrangement within the Scope of Pseudo-ANB-matrices Method and Shannon's Information Entropy Method .....	16
M. Gverdtsiteli, G. Chachava. Algebraic-chemical investigation of arsenic(III) halogenides within the scope of ANB - matrices method.....	18
N. Lekishvili, Sh. Samakashvili. Reactions of polyaddition of dihydride siloxanes to diallylbilazanes: new approaches. ....	23

*Analytical chemistry and environment chemistry*

N. Loria, N. Labartkava, N. Karsanidze, G. Sapatashvili. Arsenic in travertine of mineral waters of Georgia .....	26
A. Khaiauri, G. Makharadze, Ts. Goliadze. Complexes of humin acids with heavy metals .....	31
Ts. Goliadze, A. Khaiauri, G. Makharadze. Sorption of heavy metals on humin acids .....	36
N. Chikvishvili. The hydrolysis and complexation of zinc(II) ions by fulvic acids in dilute solutions.....	40

*Inorganic chemistry and elementorganic chemistry*

R. Gigauri, M. Injia, J. Metreveli, G. Mitaishvili. Interaction of formic acid with alkylesters of ethylene glycol arsenous acid .....	44
R. Gigauri, M. Gurgenzidze, N. Gigauri, N. Gurgenzidze. About the products of interaction of methylphenyldichlor- and vinyetrichlorsilanes with symmetric esters of arsenous acid .....	49
E. Gigineishvili, L. Asatiani, A. Panjikidze. Mono- and bisvinylacetylenic carbinols of ferrocene series - new efficient catalyst of special appointment, study I. ....	56
E. Gigineishvili, L. Asatiani, A. Panjikidze. Mono- and bisvinylacetylenic carbinols of ferricene series- new efficient catalysts of special appointment, study II .....	60
T. Lobzhanidze. Tetrasubstituted arsoniumcontained cadmium combined-ligand complexes .....	65

*Physical chemistry*

N. Shakulashvili, L. Kvinikadze, N. Gogishvili, M. Martin. Micercal electrokinetic capillary chromatography of resveratrol in vine .....	75
--	----

*Applied chemistry and materials science*

G. Lekishvili, G. Areshidze, N. Lekishvili, T. Leshkasheli. Modelling and testing of the exploitation quality and some physical chemical parameters of diesel fuel based on the data of NIR spectra....	84
E. Markarashvili, N. Lekishvili, Z. Lomtadze, Sh. Samakashvili. Synthesis and bactericidal properties of sulfurcontaining silan(siloxane)diols, tetrols and oligotetros .....	93

*Methodic of the teaching of chemistry*

M. Gverdtsiteli, E. Caguria, Marek Gverdtsiteli. Covalence bonding .....	94
--	----

*Общая и теоретическая химия*

М. Гверцители. Алгебро-химическое исследование перегруппировки Гахокидзе.....	7
Г. Гамзани, Дж. Ганерелла. Формально-логическая модель оценки структурной сложности органических реакций .....	10
М. Гверцители, М. Гургендзе. Исследование перегруппировки Зелевского в рамках методов псевдо-ПНС-матриц и зигротри информации Шевина ..... 14	14
М. Гверцители, Г. Чачана. Алгебро-химическое исследование мышьяк(III) галогенидов в рамках метода ПНС-матриц .....	18
Н. Лекишвили, Ш. Самакшвили. Реакции полиприсоединения дигидридсилоксанов к дивалдендианам: новые подходы.....	23

*Аналитическая химия и химия окружающей среды*

Н. Лорни, Н. Лабаргская, Н. Карсандзе, Г. Суццашвили. Мышьяк в травертинах минеральных вод Грузии .....	24
А. Ханаури, Ц. Голладзе, Г. Махарадзе. Комплексные соединения гуминовых кислот с тяжелыми металлами.....	27
Ц. Голладзе, А. Ханаури, Г. Махарадзе. Сорбция тяжелых металлов на гуминовых кислотах .....	32
Н. Чухвишвили. Гидролиз нитровещества и его комплексообразование с фульвокислотами в разбавленных водных растворах .....	37

*Неорганическая химия и Элементоорганическая химия*

Р. Гигаури, М. Иджия, Дж. Метревели, Г. Митаншвили. Действие муравьиной кислоты на алкиловых эфиров этилциндликольмышьяковистой кислоты .....	41
Р. Гигаури, М. Гургендзе, Н. Гигаури, Н. Гургендзе. О продуктах взаимодействия метилфенилдиэтил- и винилтрихлорсилана с симметричными эфирами мышьяковистой кислоты .....	44
Э. Гинцешвили, Л. Асатнани, А. Панджикдзе. Ферроценсодержащие моно- и бисвинилэтиленовые спирты – новые эффективные катализаторы горения и пластификаторы специального назначения. Сообщение 1.....	50
Э. Гинцешвили, Л. Асатнани, А. Панджикдзе. Ферроценсодержащие моно- и винилэтиленовые спирты – новые эффективные катализаторы горения и пластификаторы специального назначения. Сообщение 2.....	57
Т. Лобканидзе. Анциокомплексы кадмия со смешанными лигандами, содержащий четырехзамещенный арзоний .....	65

*Физическая химия*

Н. Шакулашвили, Л. Квицикдзе, Н. Гогинашвили, М. Мартин. Мицеллярная электро-кинетическая хроматография резерватрола в вине .....	66
---	----

*Прикладная химия и химическое материаловедение*

Г. Лекишвили, Г. Арешидзе, Н. Лекишвили, Т. Лещишвили. Моделирование и оценка эксплуатационных характеристик и физико-химических свойств дизельного горючего на основе их ИК спектральных данных .....	84
Е. Марсрашвили, Н. Лекишвили, З. Ломтатидзе, Ш. Самакшвили. Синтез и бактерицидные свойства серосодержащих органосилан(силоксан)диолов, тетролов и олиготетролов.....	85

*Методика преподавания химии*

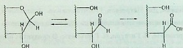
М. Гверцители, Э. Цагурия, Марех Гверцители. Ковалентная связь .....	100
--	-----

АЛГЕБРО-ХИМИЧЕСКОЕ ИССЛЕДОВАНИЕ ПЕРЕГРУППИРОВКИ ГАХОКИДЭ

М. Гвердцители

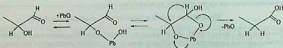
Тбилисский государственный университет им. Ив. Джавахишвили

Своеобразное сочетание карбонильных и спиртовых групп обуславливает высокую реакционную способность и многообразные превращения углеводов [1]. Производные альдоз с незамещенными псевдоальдегидной и соседней спиртовой группами при воздействии оксидов тяжелых металлов (свинца, олова) претерпевают внутримолекулярную окислительно-восстановительную перегруппировку с образованием 2-дезоксикальдоновых кислот (перегруппировка Гахокидзе) [2, 3]:



В данном случае формально происходит обмен местами групп, и в целом для молекулы сохраняется уже имеющаяся степень окисления. В этих превращениях в одной молекуле реализуется окислительно-восстановительное диспропорционирование атомов углерода до крайних предельных форм поляризации, что является пока лишь единственным примером подобного превращения в органической химии.

С помощью стереохимического метода показано, что реакция протекает по циклическому синхронному механизму, ключевой стадией которого является 1,2-гидридный сдвиг [4]. Медленной стадией, определяющей скорость всего процесса, является образование комплекса. Последующая перегруппировка его является быстрой стадией:



В отличие от истинных внутримолекулярных перегруппировок (например, перегруппировка Кляйзена), указанная перегруппировка протекает квазивнутримолекулярно, т.е. сначала происходит образование промежуточного комплекса с катализатором, а затем внутримолекулярное перемещение атома водорода и распад реакционного комплекса без участия молекул растворителя.

При проведении перегруппировки модельного соединения – 1-гидрокси-2-метилпропанала в D<sub>2</sub>O получалась 2-метилпропановая кислота, не содержащая дейтерия в молекуле, что также указывает на течение реакции по внутримолекулярному механизму. В пользу такого механизма свидетельствует и



### ლიტერატურა:

1. Гахокидзе Р.А. Усп. хим., 1980, т. 49, с. 420.
2. Гахокидзе Р.А. ЖОХ, 1976, т. 46, с. 1620.
3. Гахокидзе Р.А. Сообщ. АН ГССР, 1978, т. 83, с. 601.
4. Гахокидзе Р.А. ДАН СССР, 1982, т. 265, с. 625.
5. Гахокидзе Р.А. ДАН СССР, 1989, т. 304, с. 360.
6. Гахокидзе Р.А., Вашакмадзе Н.С. Сообщ. АН ГССР, 1986, т. 122, с. 321.
7. Gakhokidze R.A., Sidamonidze N.N., Vardiashvili R.O., Gorgiladze B.G. Georgian Engineering News, 2004, N1, p. 85.
8. Гахокидзе Р.А. Сообщ. АН ГССР, 1981, т. 104, с. 477.
9. Гахокидзе Р.А. Журн. эволюц. биохим. и физиол., 1987, т. 23, с. 169.
10. Цинцишвили Н.М., Гахокидзе Р.А., Абуладзе Г.В. В кн.: Биологически активные вещества флоры Грузии. Тбилиси, Мецниереба, 1987, с. 149.
11. Гахокидзе Р.А., Бериашвили Л.Т., Чиквинидзе Т.Д. Биохимия, 1996, т. 61, с. 2125.
12. Gakhokidze R.A., Beriashvili L.T., Chikvinidze T.D. Biochemistry, 1996, v. 61, p. 1532.
13. Gverdtsiteli M., Gamziani G., Gverdtsiteli I. The Contiguity Matrices of Molecular Graphs and their modification. Tbilisi, 1996.
14. Chemoinformatics. Ed. I. Gastaiger and T. Endel. W. Hey-VCH, 2003.
15. Яглом А.М., Яглом И.М. Вероятность и информация. Москва, 1973.

გახოკიძის გადაჯგუფების ალგებრულ-ქიმიური გამოკვლევა

მ. გვერდსიძელი

ივ. ჯავახიშვილის სახელობის თბილისის სახელმწიფო უნივერსიტეტი  
რეზიუმე

ჩატარებულია გახოკიძის გადაჯგუფების ალგებრულ-ქიმიური გამოკვლევა რნბ-მატრიცების მეთოდისა და შენონის ინფორმაციის ენტროპიის მეთოდის ფარგლებში.

### ALGEBRAIC-CHEMICAL INVESTIGATION OF GAKHOKIDZE'S REARRANGEMENT

M. Gverdtsiteli

Iv. Javakhishvili Tbilisi State University

#### Summary

Algebraic-chemical investigation of Gakhokidze's rearrangement is carried out within the scope of ANB-matrices method and Shannon's information entropy method.

ФОРМАЛЬНО-ЛОГИЧЕСКАЯ МОДЕЛЬ ОЦЕНКИ СТРУКТУРНОЙ  
СЛОЖНОСТИ ОРГАНИЧЕСКИХ РЕАКЦИЙ

Г. Гамзиანი, Дж. Гацелена

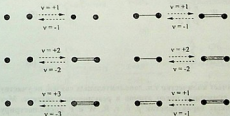
Тбилисский государственный университет им. Ив. Джавахишвили

Интерес к использованию математических методов для описания химических реакций восходит к началу XX века (применение теории инвариантов в химии В.Г. Алексеевым [1]). Тем не менее, ясное понимание того, что структурные изменения в ходе реакций могут быть выражены в терминах теории графов было достигнуто лишь в последние 30 лет, благодаря работам [2-14]. Большая часть упомянутых работ посвящена обсуждению частных вопросов (главным образом, характеристике структурных изменений в ходе специальных классов реакций). Наиболее общий характер имеют, по-видимому, матричное описание химических реакций Уги и Дугунджи [6,7] и формально-логический подход к органическим реакциям, развитый Н.С. Зефировым и С.С. Трачом [11-14].

В данной работе предпринимается попытка создания аппарата для оценки степени сложности структурных изменений в ходе органических реакций, базирующихся на фундаментальных понятиях формально-логического подхода (ФЛП) [15].

В основе предлагаемого аппарата лежит систематический анализ поведения отдельных связей, изменяющих свой порядок в ходе реакций, а также атомов – реакционных центров (РЦ), затрагиваемых в ходе соответствующих перераспределений связей (ПС).

Как было отмечено ранее [16], в ходе сколь угодно сложных ПС возможны лишь шесть вариантов изменений порядка отдельных связей. Эти варианты представлены на схеме (1):



(1)

С целью характеристики поведения конкретной связи, в рамках ФЛП была введена числовая характеристика  $\nu$ -реакционный номер связи, указывающаяряду со значением, также и на знак изменения порядка рассматриваемой связи:

$$v = \alpha_j - \alpha_i, \quad (2)$$

где  $\alpha_i, \alpha_j$  - порядки конкретной связи соответственно в исходной и конечной реакционных системах. Возможные значения  $v$  для шести вариантов изменений порядков связей приведены над ( $v > 0$ ) и под ( $v < 0$ ) стрелками на схеме (1).

Легко заметить, что числовая характеристика  $v$  (точнее, ее абсолютная величина  $|v|$ ), безусловно, может рассматриваться как мера сложности поведения (т.е. изменения порядка) отдельной связи в ходе реакции. При этом логично считать, что с увеличением значения  $|v|$ , увеличивается также и сложность изменения конкретной связи.

На основании индекса  $v$ , в рамках ФЛП, были сконструированы два локальных индекса, характеризующие поведение РЦ в ходе РС [15]:

1.  $r$  - индекс специфичности РЦ - был введен с целью идентификации типа РЦ; в частности, было установлено, что для РЦ, которые не изменяют свою формальную валентность в ходе РС -  $r = 0$ , и для РЦ, которые изменяют свою формальную валентность -  $r > 0$ ;  $r$  определяется по формуле (3):

$$r = \sum_{i=1}^{\rho} v_i \quad (3)$$

где  $\rho$  - степень РЦ, означающая количество связей данного центра, участвующих в рассматриваемом РС.

2.  $R$  - ранг РЦ - был введен с целью количественного описания топологии РС.  $R$  определяется по формуле (4):

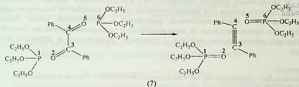
$$R = \sum_{i=1}^{\rho} |v_i| \quad (4)$$

С помощью числовых характеристик  $v, \rho, r, R$ , в рамках рассматриваемой модели нами сконструированы два новых индекса:  $W$  - степень деструктивности, содержащий, на наш взгляд, всю информацию о сложности поведения отдельных реакционных центров и интегральный индекс  $P$  - характеризующий сложность РС. Величины  $W$  и  $P$  определяются формулами:

$$W = \frac{r + R}{\rho + \delta}, \quad (5)$$

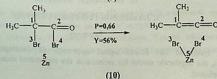
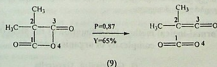
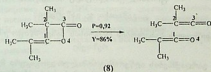
$$P = 1 - \frac{\sum_{i=1}^N W_i}{N}, \quad (6)$$

где  $\delta$  обозначает количество т.н. дополнительных связей, не участвующих в ходе РС,  $N$  - суммарное число атомов в реакционной системе. Методику вычисления числовых характеристик  $\rho, \delta, r, R, W$  и  $P$  проиллюстрируем на примере синтеза толана из бензила и триэтилфосфита (схема 7; [17], т.1, с.183.)



Реакцион- ный центр	N	p	δ	r	R	W	P
P <sup>1</sup>	76	1	3	2	2	0,80	0,92
O <sup>2</sup>		2	0	0	4	2,00	
C <sup>3</sup>		2	2	0	4	1,00	
C <sup>4</sup>		2	2	0	4	1,00	
O <sup>5</sup>		2	0	0	4	2,00	
P <sup>6</sup>		1	3	2	2	0,80	

На основании анализа целого ряда синтезов органических соединений, изучаемых в рамках данного подхода, удалось выявить связь между индексом P и общими выходами (Y, %) органических реакций. В частности, было найдено, что в большинстве случаев значения P прямо пропорциональны выходам целевых структур. В качестве примера на схемах (8-10) приведены значения индекса P и Y для трех наиболее важных схем синтеза диметилкетона ([17], т.2, с.378-381).



В заключение следует отметить, что предложенный аппарат, использованный в данной работе для количественной оценки сложности канонических ПС, в дальнейшем, после некоторых изменений и дополнений, может быть использован и применительно к неканоническим перераспределениям связей, описывающих органические реакции с участием заряженных и радикальных структур.

*Литература:*

1. Алексеев В.Г. О совпадении методов формальной химии и теории инвариантов. – СПб. 1901.
2. Hendrickson J.B. – *Angew. Chem.*, 1974, 86, 71.
3. Hass E.C., Plath P.J. – *MATCH*, 1975, 1, 141.
4. Полторац О.М. – *Вестн. Моск. ун-та*, 1974, 1, 3.
5. Arons J.F. – *Royal Neth. Chem. Soc.*, 1979, 98, 155.
6. Dugundji J., Gillespie P., Marquarding D., Ugi I. – In: *Chemical Applications of Graph Theory*. Ed. A.T. Balaban, London, 1976, 107.
7. Bauer J., Ugi I. – *Chem. Research (S)*, 1982, 298.
8. Roberts D.C. – *J. Org. Chem.*, 1978, 43, 1473.
9. Lall R.S. – *MATCH*, 1981, 12, 87.
10. Kvasnicka V. – *Coll. Czech. Chem. Commun.*, 1984, 49, 1090.
11. Зефирон Н.С., Трач С.С. – *Ж. Орг. Хим.*, 1975, 11, 225.
12. Зефирон Н.С., Трач С.С. – *Ж. Орг. Хим.*, 1982, 18, 1561.
13. Зефирон Н.С., Трач С.С. – *Ж. Орг. Хим.*, 1984, 20, 1121.
14. Zefirov N.S., Tratch S.S. – *Chem. Ser.*, 1980, 15, 4.
15. Зефирон Н.С., Трач С.С., Гамзиани Г.А. Описание органических реакций в рамках формально-логического подхода. – Тбилиси: Мецниერება, 1993.
16. Гамзиани Г.А. – *Ж. Орг. Хим.*, 1995, 31, 31.
17. Болер К., Ширсон Д. *Органические синтезы*. – М.: Мир, 1973 (в 2-х томах).

ორგანული რეაქციების სტრუქტურული სირთულის შეფასების  
ფორმალურ-ლოგიკური მეთოდი

გ. გამზიანი, ჯ. გაწერელია

თვ. ჯავახიშვილის სახელობის თბილისის სახელმწიფო უნივერსიტეტი  
რეზიუმე

ქიმიური გარდაქმნების აღწერის ფორმალურ-ლოგიკური მეთოდის საფუძველზე შემუშავებულია ორგანული რეაქციების სტრუქტურული სირთულის შეფასების ალგებრული მოდელი.

Formal-logical method for estimation of the structural  
complexity of organic reactions

G. Gamziani, J. Gatsrelia

I. Javakhishvili Tbilisi State University

Summary

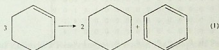
On the basis of the formal-logical approach of description of chemical transformations, the algebraic model for estimation the structural complexity of organic reactions is developed.

## Исследование перегруппировки Зелинского в рамках методов псевдо-ПНС-матриц и энтропии информации Шеннона

М. Гвердцители, М. Гургендзе

Тбилисский государственный университет им. Ив. Джавахишвили

Перегруппировка Зелинского [1] является сложным химическим процессом, и её уравнение имеет вид:



Таким образом, из трёх молекул циклогексена образуются две молекулы циклогексана и одна молекула бензола.

Псевдо-ПНС-матрица является модернизированной формой ПНС-матрицы [2]. Диагональными элементами ПНС-матрицы являются порядковые номера химических элементов, недиагональными элементами – кратности химических связей. Структурной основой построения псевдо-ПНС-матрицы является «молекулярный скелет» соединения, т.е. не рассматриваются атомы водорода. Соответственно, диагональными элементами являются порядковый номер элемента минус число атомов водорода, которые присоединены к данному атому. Естественно, такой подход значительно понижает ранг псевдо-ПНС-матрицы по сравнению с ПНС-матрицей, что упрощает вычисление соответствующего детерминанта. Например, ранг ПНС-матрицы соответствующего циклогексана равен 18, а ранг псевдо-ПНС-матрицы – 6. Заметим, что значения детерминантов ПНС- и псевдо-ПНС-матриц для данной молекулы равны.

Визу приведена запись (1) процесса в виде псевдо-ПНС-матриц (см. схему).

Рассмотрим выражение:

$$\Delta_r = \Delta_f - \Delta_i, \quad (2)$$

где  $\Delta_r$  - значение детерминанта псевдо-ПНС-матрицы для продуктов реакции;  $\Delta_i$  - для реагентов;  $\Delta_f$  - изменение значения детерминанта в процессе перегруппировки. Оказалось, что  $\Delta_r < 0$  ( $\Delta_r = -1568$ ). Если значение  $\Delta$  принять за критерий «сложности» молекулярной системы [3], можно заключить, что процесс характеризуется уменьшением сложности системы.

Рассмотрим выражение:

$$H_r = H_f - H_i, \quad (3)$$

где  $H_r$  - значение энтропии информации Шеннона для конечной системы;  $H_i$  - для исходной системы;  $H_f$  - изменение значения энтропии информации Шеннона [4]. Оказалось, что значение  $H_r$  также отрицательно. Таким образом, в результате перегруппировки Зелинского уменьшается информативность системы.

5	2	0	0	1	0	0	0	0	0	0	0	0	0	0	0	0	0	0	0
2	5	1	0	0	0	0	0	0	0	0	0	0	0	0	0	0	0	0	0
0	1	4	1	0	0	0	0	0	0	0	0	0	0	0	0	0	0	0	0
0	0	1	4	1	0	0	0	0	0	0	0	0	0	0	0	0	0	0	0
0	0	0	1	4	1	0	0	0	0	0	0	0	0	0	0	0	0	0	0
1	0	0	0	1	4	0	0	0	0	0	0	0	0	0	0	0	0	0	0
0	0	0	0	0	0	5	2	0	0	0	1	0	0	0	0	0	0	0	0
0	0	0	0	0	0	2	5	1	0	0	0	0	0	0	0	0	0	0	0
0	0	0	0	0	0	0	1	4	1	0	0	0	0	0	0	0	0	0	0
0	0	0	0	0	0	0	0	1	4	1	0	0	0	0	0	0	0	0	0
0	0	0	0	0	0	0	0	0	0	1	4	1	0	0	0	0	0	0	0
0	0	0	0	0	0	1	0	0	0	0	1	4	0	0	0	0	0	0	0
0	0	0	0	0	0	0	0	0	0	0	0	5	2	0	0	0	0	0	1
0	0	0	0	0	0	0	0	0	0	0	0	2	5	1	0	0	0	0	0
0	0	0	0	0	0	0	0	0	0	0	0	0	1	4	1	0	0	0	0
0	0	0	0	0	0	0	0	0	0	0	0	0	0	1	4	1	0	0	0
0	0	0	0	0	0	0	0	0	0	0	0	0	0	0	0	0	0	1	4
0	0	0	0	0	0	0	0	0	0	0	0	0	0	0	0	0	0	1	4



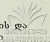
(4)

4	1	0	0	1	0	0	0	0	0	0	0	0	0	0	0	0	0	0	0
1	4	1	0	0	0	0	0	0	0	0	0	0	0	0	0	0	0	0	0
0	1	4	1	0	0	0	0	0	0	0	0	0	0	0	0	0	0	0	0
0	0	1	4	1	0	0	0	0	0	0	0	0	0	0	0	0	0	0	0
0	0	0	1	4	1	0	0	0	0	0	0	0	0	0	0	0	0	0	0
1	0	0	0	1	4	0	0	0	0	0	0	0	0	0	0	0	0	0	0
0	0	0	0	0	4	1	0	0	0	1	0	0	0	0	0	0	0	0	0
0	0	0	0	0	1	4	1	0	0	0	0	0	0	0	0	0	0	0	0
0	0	0	0	0	0	1	4	1	0	0	0	0	0	0	0	0	0	0	0
0	0	0	0	0	0	0	1	4	1	0	0	0	0	0	0	0	0	0	0
0	0	0	0	0	0	0	0	1	4	1	0	0	0	0	0	0	0	0	0
0	0	0	0	0	0	1	0	0	0	1	4	0	0	0	0	0	0	0	0
0	0	0	0	0	0	0	0	0	0	0	0	5	2	0	0	0	0	0	1
0	0	0	0	0	0	0	0	0	0	0	0	0	2	5	1	0	0	0	0
0	0	0	0	0	0	0	0	0	0	0	0	0	0	1	5	2	0	0	0
0	0	0	0	0	0	0	0	0	0	0	0	0	0	0	2	5	1	0	0
0	0	0	0	0	0	0	0	0	0	0	0	0	0	0	0	1	5	2	0
0	0	0	0	0	0	0	0	0	0	0	0	0	0	0	0	1	0	0	2

(Схема)

**ლიტერატურა:**

1. Днепровский А.С., Темникова Т.И. Теоретические основы органической химии. Ленинград, Химия, 1991.
2. Gverdtsiteli M., Gamziani G., Gverdtsiteli I. The Contiguity Matrices of Molecular Graphs and their Modifications. Tbilisi, Univ. Press, 1996.
3. ზ. ლეკიშვილი, ღ. ასათიანი. მოლეკულური დესკრიპტორები ელემენტ-ორგანულ ნაერთთა ქიმიამი. თბილისი, თბილისის უნივერსიტეტის გამომცემლობა, 1998.
4. Chemoinformatics / Ed. J. Gasteiger and T. Engel. WILEY – VCH, 2003.



მ. გვერდსთელი, მ. გურგენიძე

ივ. ჯავახიშვილის სახელობის თბილისის სახელმწიფო უნივერსიტეტი

რეზიუმე

ნატარებულია ზელინსკის გადაჯგუფების ალგებრულ-ქიმიური გამოკვლევა ფსევდო-რნბ-მატრიცებისა და შენონის ინფორმაციის ენტროპიის მეთოდების ფარგლებში. აღმოჩნდა, რომ ეს პროცესი მიმდინარეობს მოლეკულური სიბრტყისა და სისტემის ინფორმაციულობის კლებით.

## Investigation of Zelinski's Rearrangement within the Scope of Pseudo-ANB-matrices Method and Shannone's Information Entropy Method

M. Gverdsiteli, M. Gurgenidze

I. Javakhishvili Tbilisi State University

### Summary

Algebraic-chemical investigation of Zelinskis's rearrangement within the scope of pseudo-ANB-matrices method and Shannon's information entropy method was carried out. Reaction is proceeding with decrease of molecular complexity and informativity of the system.

$n$	$\log_2 T_n$	$\log_2 T_{n-1}$	$\log_2 T_{n-2}$	$\log_2 T_{n-3}$
10	3.32	3.17	3.04	2.92
9	3.17	3.04	2.92	2.81
8	3.04	2.92	2.81	2.71
7	2.92	2.81	2.71	2.62

## Algebraic-chemical investigation of arsenic(III) halogenides within the scope of ANB – matrices method

M. Gverdtsiteli, G. Chachava

Iv. Javakhishvili Tbilisi State University

Contiguity matrices of molecular graphs and their various modifications are widely used in algebraic chemistry [1,2] and ANB-matrices fall into their type. Their diagonal elements represent atomic numbers of chemical elements, whereas non-diagonal ones – the multiplicities of chemical bonds.

Arsenic (III) halogenides ( $AsX_3$ ) were investigated within the scope of ANB-matrices method. The ABN-matrix for  $AsX_3$  has the form:

$$\begin{pmatrix} 33 & 1 & 1 & 1 \\ 1 & Z_x & 0 & 0 \\ 1 & 0 & Z_x & 0 \\ 1 & 0 & 0 & Z_x \end{pmatrix}, \quad (1)$$

where 33-is atomic number of arsenic;  $Z_x$ - represents, atomic numbers of halogens (F, Cl, Br, I).

It was established that  $\lg(\Delta_{ANB})$  is effective topologic index for contracting and investigating correlations “structure properties” [3]. The values of  $T_{\text{boil}}$ ,  $\Delta H_{298}^\circ$  and  $\lg(\Delta_{ANB})$  for  $AsX_3$  are brought in table.

Table. The values of  $T_{\text{boil}}$ ,  $\Delta H_{298}^\circ$  and  $\lg(\Delta_{ANB})$  for  $AsX_3$

Compound	$AsF_3$	$AsCl_3$	$AsBr_3$	$AsI_3$
$T_{\text{boil}}^\circ C$	57,8	130	291	372
$\Delta H_{298}^\circ$	- 226,8	- 80,2	-46,61	-13,7
$\lg(\Delta_{ANB})$	4,38	5,21	6,15	6,69

Correlation equations:  $T_{\text{boil}} \sim \lg(\Delta_{ANB})$  and  $\Delta H_{298}^\circ \sim \lg(\Delta_{ANB})$  were constructed on computer and they have the form:  $T_{\text{boil}} = 163,51 \lg(\Delta_{ANB}) - 601,89$ , (2)  $\Delta H_{298}^\circ = 49,01 \lg(\Delta_{ANB}) - 335,49$ . (3) Correlation coefficients rare equal to: 0,993 and 0,996; so, according to Jaffe's criterion, correlations are outstanding.

### References:

1. Chemoinformatics./ Ed J. Gasteiger and T.Engel. WILEY-VCH, 2003.
2. M. Gverdtsiteli, G. Gamziani, I. Gverdtsiteli. The contiguity matrices of molecular graphs and their modifications. Tbilisi, Univ. press, 1996.
3. გ. ჯავახიანი, ნ. კობახიძე, მ. გვერდწითელი. ზოგი რამ ტოპოლოგიური ინდექსების შესახებ. თბილისის უნივერსიტეტის გამომცემლობა, 1995.



დარიშხან(III) კალოგენიდების ალგებრულ-ქიმიური გამოკვლევა  
 რნბ-მატრიცების მეთოდის ფარგლებში

მ. გვურდწითელი, გ. ჩაჩავა  
 ივ. ჯავახიშვილის სახელობის თბილისის სახელმწიფო უნივერსიტეტი

რეზიუმე

ჩატარებულია დარიშხან(III) კალოგენიდების ალგებრულ-ქიმიური  
 გამოკვლევა რნბ-მატრიცების მეთოდის ფარგლებში. აგებულია ორი  
 კორელაციური განტოლება  $T_{\text{კალ}} - \lg(\Delta_{\text{რნბ}})$  და  $\Delta H_{298}^{\circ} - \lg(\Delta_{\text{რნბ}})$ .

Алгебро-химическое исследование мышьяк(III) галогенидов в  
 рамках метода ПНС-матриц

М. Гвердцители, Г. Чачава

Тбилисский государственный университет им. Ив. Джавахишвили

Резюме

Проведено алгебро-химическое исследование мышьяк(III) галогенидов  
 в рамках метода ПНС-матриц. Построены два корреляционных уравнения:  
 $T_{\text{кал}} - \lg(\Delta_{\text{рнб}})$  и  $\Delta H_{298}^{\circ} - \lg(\Delta_{\text{рнб}})$ .

25648

საქართველოს  
 პარლამენტის  
 ბიბლიოთეკა

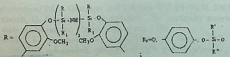
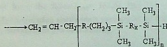
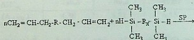
დიალილსილაზანებთან დიბიდრიდსილოქსანების პოლიმერთების რეაქციები: ახალი მიდგომები

ნ. ლეკიშვილი, შ. სამაკაშვილი

ივ. ჯავახიშვილის სახელობის თბილისის სახელმწიფო უნივერსიტეტი

უკანასკნელ წლებში განსაკუთრებულ ყურადღებას იქცევს იხეთი პოლიფუნქციური სილიციუმ-აზოტ შემცველი ოლიგომერების და პოლიმერების სინთეზი, რომლებიც ერთდროულად შეიცავენ სილიციუმის ატომებთან დაკავშირებულ არომატულ ბირთვში ჩანაცვლებულ უჯვრ რადიკალებს და სხვადასხვა რეაქტიუნარობის მქონე ფუნქციონებს (Si-H, ეპოქსი, N-H და სხვ.). ახეთი სტრუქტურის პოლიმერების მისაღებად სრულიად ახალი შესაძლებლობები გამოავლინა უჯვრ დიფუნქციურ მონომერებთან დიბიდრიდსილოქსანების კატალიზური პოლიმეროზისილირების კლასიკურმა მეთოდმა. გაფართოვდა უჯვრ მონომერების ასორტიმენტი, რამაც შესაძლებელი გახადა მიღებული პოლიმერების სტრუქტურათა მრავალფეროვნების მიღწევა, აგრეთვე, მათი სასურველი თვისებების მიზანმიმართული რეგულირება. თუმცა, მონომერების სტრუქტურის გართულებამ დღის წესრიგში დააყენა ზემოაღნიშნული რეაქციის კვლევისადმი არატრადიციული მიდგომის აუცილებლობა. ასეთი ტიპის პოლიმერების სინთეზი იმთავითვე არის საინტერესო, რომ ისინი წარმატებით შეიძლება იქნეს გამოყენებული ნანობიბრიდებში, აგრეთვე, მთელი რიგი უმნიშვნელოვანესი სამრეწველო პოლიმერების (ფენოლფორმალდეჰიდური ფისები, პოლიკარბონატი, რეზინები სილოქსანური და კარბოჯაქტური ელასტომერების ბაზაზე, პოლიეპოქსიდები და სხვ.) მოდიფიკაციისათვის [1].

ჩვენს მიერ შესწავლილ იქნა ბის(ალილფენოქსი)ორგანოსილაზანებთან დიბიდრიდორგანოსილოქსანების პოლიმერთების რეაქციები როგორც მასაში, ისე მშრალ ტოლუოლში, არგონის არეში, სპაიერის (SP) კატალიზატორის თანდასწრებით, რომლებიც შემდეგი ზოგადი სქემით მიმდინარეობს:



$\text{O}[\text{Si}(\text{CH}_3)_2\text{O}]_m$  ( $m=6,11$ ), სადაც  $\text{R}=\text{R}_1=\text{CH}_3$ ;  $\text{R}=\text{C}_6\text{H}_5$ ,  $\text{R}_1=\text{C}_6\text{H}_4$ ;  $\text{C}_6\text{H}_{17}$ .

კლასიკური კვლევების თანახმად, დიჰიდროდისილოქსანებთან დიჰიდროდისილოქსანების ურთიერთქმედება პოლიდიჰროსილოდიჰრების რეაქციის სუბსტრატის შესაბამისად მიმდინარეობს. ამასთან ადგილი აქვს როგორც  $\alpha$ -, ისე  $\beta$ -აღუქტის წარმოქმნას, რაც დადგენილ იქნა მოდელური სისტემების <sup>1</sup>H-ბმრ სპექტრებზე დაყრდნობით. <sup>1</sup>H-ბმრ სპექტრებში დაფიქსირებულია სიგნალები ქიმიური ძვრებით 1,2 და 2,0.

წევს შივრ შერწყული მონომერების რეაქციისუნარიანობის (აღილის რადიკალის უჯერ ბმასთან -Si(RR')-H ვჯუფების შივრთების რეაქციებში დი-ჰიდროდისილოქსანების შედარებითი აქტიურობის რიგის) განსაზღერის შიზნით, პირველად იქნა გამოყენებული აღგებრულ-ქიმიური მეთოდი, კერძოდ, კვაზირნბ მატრიცა, რომელიც თანაზიარობის მატრიცის მოდერნიზებულ ვარიანტს წარმოადგენს. აღნიშნული მოდგომის ფარგლებში, დიჰიდროდისილოქსანების სილიციუმის ატომებთან დაკავშირებული რადიკალების (R და R') ბუნების გათვალისწინებით, შესაძლებელი ვახდა კორელაციური განტოლების შედგენა, რომელიც გამოხატავს დამოკიდებულებას - «აღნაგობა-თვისება»:

$$k = a \lg(\Delta_{\text{სა}}) + b,$$

ხადაც k რეაქციის ხიჩარის კონსტანტაა;  $\lg(\Delta_{\text{სა}})$  რნბ მატრიცის შესაბამისი დეტერმინანტის ათობითი ღოვართიშა. a და b რიცხვები გამოითვლება უმცირეს კვარატთა მეთოდიტ:  $a = 6,792 \cdot 10^3$ ,  $b = 3,083 \cdot 10^3$ . კორელაციის კოეფიციენტი  $r = 0,9788$ .

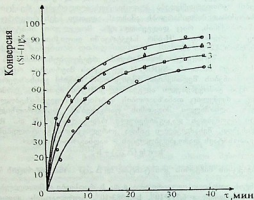
ცხრილში მოცემულია დიჰიდროდისილოქსანების ბის(აღილფენოქსი)სილაზანთან (ევკნოლი : სექსამეთილციკლოტრისილაზანი, 2:1) პოლიშივრთების რეაქციებისათვის k-ს და  $\lg(\Delta_{\text{სა}})$ -ის შნიშენლობები.

### ცხრილი

დიჰიდროდინარტის ფორმულა	$k \cdot 10^3$ , ღ. მოლი <sup>-1</sup> .წმ <sup>-1</sup>	$\lg(\Delta_{\text{სა}})$
1. $\begin{array}{c} \text{CH}_3 \quad \text{CH}_3 \\   \quad   \\ \text{H}-\text{Si}-\text{O}-\text{Si}-\text{H} \\   \quad   \\ \text{C}_8\text{H}_{17} \quad \text{C}_8\text{H}_{17} \end{array}$	1,54	4,80
2. $\begin{array}{c} \text{CH}_3 \quad \text{CH}_3 \quad \text{CH}_3 \\   \quad   \quad   \\ \text{H}-\text{Si}-\text{O}-\text{Si}-\text{O}-\text{Si}-\text{H} \\   \quad   \quad   \\ \text{C}_6\text{H}_5 \quad \text{C}_6\text{H}_5 \quad \text{C}_6\text{H}_5 \end{array}$	2,38	4,85
3. $\begin{array}{c} \text{CH}_3 \\   \\ \text{H}-\text{Si}-\text{O}-\left( \begin{array}{c} \text{CH}_3 \\   \\ \text{Si}-\text{O} \\   \\ \text{CH}_3 \end{array} \right)-\text{Si}-\text{H} \\   \quad   \\ \text{CH}_3 \quad \text{CH}_3 \end{array}$	3,97	5,10
4. $\begin{array}{c} \text{CH}_3 \quad \text{CH}_3 \\   \quad   \\ \text{H}-\text{Si}-\text{C}_6\text{H}_4-\text{Si}-\text{H} \\   \quad   \\ \text{CH}_3 \quad \text{CH}_3 \end{array} *$	2,29	---

\* მოყვანილია შედარების შიზნით.

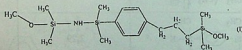
აღგებრულ-ქიმიური გამოკვლევების შედეგები თვალსაზიროდ ილუსტ-

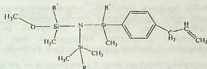


ნახაზი 1. დიამიდრიდნილოქსანების დიალიდფენოქსისილაზანთან (ევენოლი : პექსამეთილცელოტრიხილაზანი, 2:1) პოლიმერთების რეაქციის დროს Si-II ბმის კონვერსიის დროზე დამოკიდებულების მრუდები (მრუდების ნომრები შეესაბამება ცხრილში დიამიდრიდნაერთების რიგით ნომრებს).

დიალიდსილაზანებთან დიამიდრიდნაერთების პოლიმერთების შემთხვევაში, მოსალოდნელი იყო აგრეთვე ძირითადი პროცესის კონკურენტული რეაქციის - დეჰიდროკონდენსაციის (დიალიდსილაზანების NH- და დიამიდრიდნაერთების Si-H ჯგუფების ურთიურთქმედების) მიმდინარეობა ტრისილილაზოტის ჯგუფის წარმოქმნით.

იმის დასაფუძნად, თუ მათგან რომელი რეაქციის (პოლიმერთების თუ დეჰიდროკონდენსაციის) მიმდინარეობაა უფრო მეტად სააღბათო, ჩავატარეთ შესაბამისი ორი მიმართულებით წარმოქმნილი რეაქციის პროდუქტების ძირითადი ენერგეტიკული მახასიათებლების კვანტურ-ქიმიური გამოთვლები. გამოთვლის შეუოდად გამოყენებულ იქნა AM1 მეთოდი, ხოლო მოდელუაათა გეომეტრიის ოპტიმიზაციისათვის - MM2 მეთოდი. გამოთვლების გამარტივების მიზნით, შერჩეულ იქნა რამდენიმე მოდელური სისტემა, რომლებიც უფრო ახლოს არიან რეაქციის შედეგად წარმოქმნილ რეალურ სისტემებთან [1].

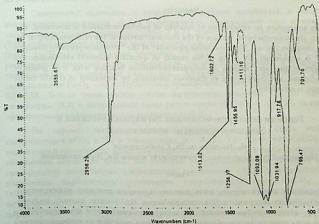




[R=OCH<sub>3</sub>, R'~CH<sub>3</sub> (II); R=C<sub>6</sub>H<sub>5</sub>, R'~CH<sub>3</sub> (III); R=R'=C<sub>6</sub>H<sub>5</sub> (IV);

მათი წარმოქმნის სიბოროს გამოთვლამ გვეჩვენა, რომ უფრო მეტად სააღბათოა I სტრუქტურის პროდუქტის წარმოქმნა, რომლის  $\Delta H^{\text{I}}_{\text{წარმ.}} = -1067,77$  კჯ (II სტრუქტურის პროდუქტის  $\Delta H^{\text{II}}_{\text{წარმ.}} = -928,76$  კჯ). მოდელურ ორგანოაიდრიდსილანებსა(III) და სილაზანებს(IV), სილაიუმის ატომებთან სტერიული ფაქტორის გაზრდით, კიდევ უფრო მცირდება შესაბამისი სტრუქტურის წარმოქმნის ალბათობა (III:  $\Delta H^{\text{III}}_{\text{წარმ.}} = -571,74$  კჯ; IV:  $\Delta H^{\text{IV}}_{\text{წარმ.}} = -301,17$  კჯ).

მუხედებად იმისა, რომ შესაძლებელი აზოტის შემცველი სტრუქტურების წარმოქმნა თერმოდინამიკურად სააღბათოა, რეალური სისტემების შემთხვევაში, რეაქციის სათანადო პირობებში ჩატარებისას, მოდელური წყალბადის გამოყოფა არ შეშინებულა. ამასთან, რეაქციის პროდუქტების ინფრაწითელ სპექტრებში (ნახ. 2) ტრისიდილაზოტის ჯგუფის შთანთქმის შესაბამისი ზოლები (945-955 სმ<sup>-1</sup>) არ დაფიქსირებულა [1].



ნახაზი 2. შუპ პოლიმერის (ცხრილი) ინფრაწითელი სპექტრი.

როგორც ჩანს, რეაქციის პირობებში, ორგანოაიდრიდსილანებისა და სილოქსანებისათვის უფრო ხელსაყრელია კიდურა ალილის ჯგუფთან ურთიერთქმედება, ვიდრე მეზობელ სილიციუმის ატომებთან დაკავშირებული ორგანული რადიკალებით გარემოცულ NH-ჯგუფთან. რაც განაპირობებს რეგულარული აღნაგობის მაკრომოლეკულური ჯაჭვის წარმოქმნას.

ავტორები დიდ მადლიერებას გამოხატავენ პროფ. შ. გვარამიას და ქიმ. მეცნ. კანდ. გ. ლეკიშვილის მიმართ მათ მიერ ნატარებული ალგებრულ-ქიმიურ გამოთვლებისათვის.

ლიტერატურა:

1. ბის(ალილფენოქსი)ორგანოსილანების და მათ ბაზაზე პოლიფუნქციური ოლიგომერების სინთეზი და მიღებული ნაერთებით ზოგიერთი სამრეწველო პოლიმერული კომპოზიციის თვისებათა მოდიფიკაცია. საქართველოს ქიმიური ჟურნალი, 2004, ტ. 4, No 1, გვ. 19-27 (თანაავტორები: ნ. ანდლულაძე, შ. სამაკაშვილი და სხვ.).
2. Witold Brostow, Wunpen Chonkaew, et.al. V Republic Conference in Chemistry. Abstracts of Papers. Georgia, Tbilisi, 28-30 October, 2004, p. 41.
3. W. Brostow. The Chain Relaxation Capability. Ch. 5. In performance of Plastics. Ed. W. Brostow, Hanser, Munich-Cincinnati, 2000.

## Reactions of polyaddition of dihydride siloxanes to diallylsilazanes: new approaches.

N. Lekishvili, Sh. Samakashvili  
Iv. Javakhishvili Tbilisi State University

### Summary

New conception on regularities of reaction of polyhydrosilation is described. The first time, algebraic-chemical method of the characterization of the reactionability of the hydride siloxanes is used. The correlation character of the "structure-property (reaction ability)" is established. By using of the results of quantum-chemical calculations the probability of the side reaction of dehydrocondensation reaction with N-H group of diallyl silazane, and Si-H group of dihydride siloxanes, by formation of trisilyl amine fragments, is established.

## Реакции полиприсоединения дигидридсилоксанов к диаллилсилазанам: новые подходы

Н. Лекишвили, Ш. Самакашвили  
Тбилисский государственный университет имени Ив. Джавахишвили

### Резюме

Применен новый подход комплексного изучения реакции полиприсоединения дигидридсилоксанов к диаллилсилазанам. На основе данных, полученных в результате алгебро-химического, квантово-химического и кинетического исследования, определены особенности протекания реакции полиприсоединения дигидридсилоксанов к диаллилсилазанам. Показано, что наиболее вероятным является протекание основного процесса – реакции полигидросилилирования.

## Мышьяк в травертинах минеральных вод Грузии

Н. Лория, Н. Лабарткава, Н. Карсанидзе, Г. Сунаташвили

Тбилисский государственный университет им. Ив. Джавахишвили

В результате нарушения кислотно-основного, карбонатного и окислительно-восстановительного равновесий при выходе на земную поверхность в истоках минеральных вод нередко выпадают осадки. Основную массу осадочных образований – травертинов, в зависимости от состава минеральных вод, составляют  $\text{CaCO}_3$ ,  $\text{Fe}(\text{OH})_3$ ,  $\text{H}_2\text{SiO}_3$  и др., которые являются хорошими природными сорбентами. Изучение макро- и микрохимического составов травертинов дают ценную информацию о природе минеральных вод, фазовом перераспределении элементов при осадкообразовании, а в некоторых случаях и о процессах рудообразования. Некоторые закономерности распределения элементов в травертинах Грузии были рассмотрены в ранее опубликованной работе [1]. Целью данной публикации является изучение распределения мышьяка в травертинах минеральных вод Хеви, Хевсурети, Пшави и др. районов Грузии. Содержание мышьяка определено фотометрическим методом с применением дитилдидтиокарбамата серебра в качестве реагента [2].

Содержание мышьяка в травертинах Грузии колеблется в широком интервале в зависимости от его содержания в минеральной воде и макро-химического состава травертина (табл. 1 и 2). Наибольшее содержание мышьяка (5500 мг/кг) найдено в осадках минеральной воды Пшави, вблизи устья Чаргдула (табл. 1). Воды этой буровой содержат 7,8 мг/л мышьяка. Очевидно, что с увеличением массовой доли гидроксидов железа и алюминия в травертине увеличивается содержание мышьяка. Коэффициент корреляции между содержаниями  $\text{Fe}_2\text{O}_3 - \text{As}$  и  $\text{Al}_2\text{O}_3 - \text{As}$  в травертинах Крестового перевала равен 0,97-0,98. Тесная связь между этими величинами логична, т.к. по данным литературы [3,4] и полученным нами результатам  $\text{Fe}(\text{OH})_3$  и  $\text{Al}(\text{OH})_3$  являются эффективным коллектором для арсенатов (таб. 3).

На первый взгляд алогичным кажется обратная связь между содержанием  $\text{CaCO}_3$  и  $\text{As}$  в травертинах ( $r = -0,86$ ). Тот факт, что  $\text{CaCO}_3$  по сорбционной способности арсенатов уступает  $\text{Fe}(\text{OH})_3$  (табл. 3) недостаточен для объяснения характера связи. По течению минеральной воды (в водах и в травертинах) закономерно уменьшается содержание  $\text{Fe}_2\text{O}_3$ , а в результате нарушения карбонатного равновесия увеличивается доля  $\text{CaCO}_3$  [1] (таблица 2). Осадкообразование карбонатов происходит из вод практически уже не содержащих арсенаты, чем и объясняется обратная связь между этими параметрами. По течению минеральной воды в травертинах также уменьшается содержание меди (табл. 2). Однако в отличие от мышьяка доля меди в осадках снижается более гладко. Вероятно, тормозящим фактором в фазовом перераспределении меди является высокая доля гидрокарбонатных

комплексов в фазе раствора. Ввиду сложности процесса и многокомпонентности системы, о механизме фазового перераспределения арсенатов трудно судить. Роль соосаждения, вероятно, не существенна из-за низкой скорости осадкообразования. Основную роль в осаждении арсенатов должна играть хемосорбция. Ранее было показано [1], что рекристаллизованные осадки  $Fe(OH)_2$  также хорошо сорбируют арсенаты и арсениды. На хемосорбционный механизм перераспределения мышьяка указывает тот факт, что из травертинов с большим содержанием мышьяка водой вымывается лишь 2-3% от его общего содержания.

Таблица 1. Мышьяк в травертинах минеральных вод Грузии (пробы взяты 0-5 см горизонт)

№	Источник*	%			As, мг/кг
		$R_2O_3$	CaO	$SiO_2$	
1	Крестовый перевал	41,40	11,32	2,00	61
2	с. Паншети, буровая	36,23	1,45	7,86	152
3	с. Коби (1)	35,21	2,12	2,10	43
4	с. Коби (2)	44,23	3,08	1,84	78
5	ущ. Трусо	21,75	36,04	0,86	0,8
6	с. Миграулта	17,45	19,48	1,30	280
7	с. Миграулта, буровая	22,62	15,68	3,11	5500
8	с. Чалисоевели	42,70	0,45	9,37	45
9	до с. Чалисоевели	5,28	23,94	1,04	13
10	"Ведза-леда" (исток)	1,64	25,94	1,09	2,2
11	"Ведза-леда" (урек)	1,57	26,08	0,32	0
12	Вардзия, терм.	3,04	22,94	1,44	350

\* №№ 1-5 - Хеви, 6-11 - Пиави, Хевсурети

Таблица 2. Содержание мышьяка в травертинах минеральной воды (Крестовый перевал, 0-5 см горизонт)

l, м*	%						мг/кг	
	$Fe_2O_3$	$Al_2O_3$	CaO	MgO	MnO	$SiO_2$	Cu	As
0	38,43	2,97	11,32	0,64	0,08	2,00	20	61
20	19,27	2,80	25,22	0,60	0,10	1,88	16	1,6
50	18,33	2,68	32,40	0,60	0,08	1,50	10	1,6
100	17,83	2,63	33,28	0,52	0,07	1,24	10	1,2
150	14,72	2,54	36,68	0,44	0,04	0,24	8	1,1
175	14,80	2,17	39,12	0,56	0,04	0,24	8	0,8
200	12,42	2,20	39,60	0,56	0,04	0,20	7	0,5

\*) расстояние от истока минеральной воды.

Таблица 3. Сорбция арсенатов на  $\text{CaCO}_3$  и  $\text{Fe}(\text{OH})_3$  ( $\text{CaCO}_3 - 1,0 \text{ г}$ ;  $\text{Fe}(\text{OH})_3 - 0,2 \text{ г}$ ;  $V_{\text{ж.р.}} = 200 \text{ мл}$ , продолжительность контакта фаз - 24 ч)



As, мкг/мл	$\text{CaCO}_3$		$\text{Fe}(\text{OH})_3$	
	$As_{\text{сорб.}}$ , %	$As_{\text{сорб.}}$ , мг/г	$As_{\text{сорб.}}$ , %	$As_{\text{сорб.}}$ , мг/г
0,00	0,0	0,0	0,0	0,0
0,05	28,0	3,0	100	50
0,10	42,5	8,5	97,0	97
0,15	49,3	14,8	83,3	125
0,20	50,0	20,0	71,5	143

*Литერატურა:*

1. Сунаташвили Г.Д., Бабунашвили Т., Труды ТГУ, 1983, т. 240, 24-28.
2. Немодрук А.А. Аналитическая химия мышьяка, М., 1976.
3. Сунаташвили Г.Д., Джохадзе Г.М., Карсанидзе Н.К., Геохимия, 1974, №12, 1869-1878.
4. Сунаташвили Г.Д. Геохимия Грузии. ТГУ, 2003.

დარიშხანი საქართველოს მინერალური წყლების ტრავერტინებში

ნ. ლორია, ნ. ლაბარტკავა, ნ. კარსანიძე, გ. სუპატაშვილი

ივ. ჯავახიშვილის სახელობის თბილისის სახელმწიფო უნივერსიტეტი  
რეზოუმე

დარიშხანის შემცველობა საქართველოს მინერალური წყლების ტრავერტინებში 0,0-5,5 გ/კგ-ის ფარგლებში იცვლება და დამოკიდებულია წყალში დარიშხანის, ნალექში კი რკინა-ალუმინის ჰიდროქსიდების მასურ წილზე კორელაციის კოეფიციენტები ტრავერტინებში  $\text{Fe}_2\text{O}_3$ -As და  $\text{Al}_2\text{O}_3$  - As შორის 0,98-0,97-ის ტოლია.

ARSENIC IN TRAVERTINE OF MINERAL WATERS OF GEORGIA

N. Loria, N. Labartkava, N. Karsanidze, G. Supatashvili

Iv. Javakhishvili Tbilisi State University

Summary

Content of Arsenic in travertine of mineral waters of Georgia changes in range of 0,0-5,5 g/Kg and depends on mass part of arsenic - in water and iron-aluminum hydroxide - in sediments. Correlation coefficients in travertine  $\text{Fe}_2\text{O}_3$  - As and  $\text{Al}_2\text{O}_3$  - As are 0,97-0,98.



## Комплексные соединения гуминовых кислот с тяжёлыми металлами

А. Хандური, Г. Махарадзе, Ц. Голиадзе

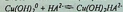
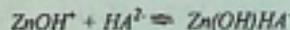
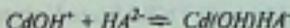
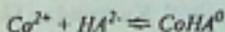
Тбилисский государственный университет им. Ив. Джавахишвили

Литературные данные о комплексных соединениях гуминовых кислот с тяжёлыми металлами весьма противоречивы [1-6]. Одно, ясно: это то, что гуминовые кислоты с тяжёлыми металлами создают растворимые комплексы, константы устойчивости которых в зависимости от pH среды различаются друг от друга на несколько порядков. В слабокислой среде (pH 3.0+4.0) при расчётах констант устойчивости авторы не учитывают значений констант диссоциации гуминовых кислот, или говоря иначе, они не учитывают концентрацию активного лиганда. При изучении процессов комплексообразования в нейтральной и слабощелочной среде мы имеем дело со сложностями, вызванными учётом констант гидратиза [7].

Процессы комплексообразования меди (II), цинка (II), кадмия (II) и кобальта (II) с гуминовыми кислотами были изучены методом растворимости при pH 8.

*Методика эксперимента:* В фторопластовые цилиндры объёмом 15 мл помещали суспензии гидроксидов металлов объёмом 0,1 мл и добавляли стандартные растворы гуминовых кислот в возрастающем количестве:  $C_{HA} = 2,65 \times 10^{-6} - 2,35 \times 10^{-5}$  моль/л ( $M_n = 34000$ ). Постоянную ионную силу создавали добавлением 1 мл 0,1 М KCl. В модельных растворах концентрацию водородных ионов регулировали растворами 0,01 М KOH и HNO<sub>3</sub> и контролировали pH-метром. Суспензию взбалтывали на механической болтушке в течение 60 часов и фильтровали на мембранном фильтре (SYNPOR №6, диаметр пор  $d = 450$  нм). Концентрацию металлов в фильтрате определяли атомно-абсорбционным методом (Перкин-Эльмер 603).

С учётом протолитических свойств гуминовых кислот, диаграмм состояния ионов и pH, между гуминовыми кислотами и тяжёлыми металлами теоретически могут протекать следующие реакции:



В растворах с увеличением концентраций гуминовых кислот концентрация металлов из-за образования комплексов в несколько раз возрастает (табл. 1,2,3,4). Число лигандов во внутренней координационной сфере равно тангенсу угла наклона прямой, построенной в координатах  $\lg(C_{мет} - C_{мет}) - \lg[HA^2]$ . Как показали расчёты, во всех случаях в системе Me-HA образуется только один комплекс состава 1:1.

Константы устойчивости комплексов гуминовых кислот с тяжёлыми металлами мы рассчитывали, используя графический вариант метода Дедена [8]. Функцию закомплексованности рассчитывали отношением конечных и исходных концентраций металлов в растворе:

$$\phi = \frac{C_{\text{Me}}}{C_{\text{Me}}^0}$$

$$\varphi = \frac{\phi - 1}{[\text{HA}^{2-}]} \quad (2)$$

Когда  $[\text{HA}^{2-}] \rightarrow 0$ , функция  $\varphi = f([\text{HA}^{2-}])$  обращается в константу устойчивости комплекса. Исходя из этого, значения констант устойчивости гуматных комплексов можно рассчитать графической экстраполяцией  $\varphi$  функции, как отрезка на ординате прямой, построенной в координатах  $\varphi - [\text{HA}^{2-}]$ .

При установлении констант графическим методом важно точно определить угол наклона прямой. Поэтому, для построения графика и расчёта констант устойчивости мы применили метод наименьших квадратов:

$$y = ax + b$$

$$a = \frac{n \sum x_i y_i - \sum x_i \sum y_i}{n \sum x_i^2 - (\sum x_i)^2}; \quad x_{i...} [\text{HA}^{2-}]$$

$$b = \frac{\sum x_i^2 \sum y_i - \sum x_i \sum x_i y_i}{n \sum x_i^2 - (\sum x_i)^2}; \quad y_{i...} \varphi$$

Константы комплексообразования мы рассчитывали также формулой:

$$\beta = \frac{[\text{MeL}]}{[\text{Me}][\text{L}]} = \frac{C_{\text{Me}} - C'_{\text{Me}}}{C'_{\text{Me}}[\text{HA}^{2-}]} \quad (3)$$

Таблица 1. Данные для расчёта состава и константы устойчивости гуматного комплекса меди (II) pH = 8,0;  $\mu = 0,1$ ;  $M_w = 34000$ ;  $C_{\text{Cu}}^0 = 3,30 \cdot 10^{-6} \text{ M}$ ;

Моль/л			lg $C_{\text{HA}}$	lg $[C_{\text{Cu}} - C_{\text{Cu}}]$	$\beta$
$C_{\text{HA}}$	$C_{\text{Cu}}$	$C_{\text{Cu}} - C_{\text{Cu}}$			
0	$3,30 \cdot 10^{-6}$	—	—	—	—
$2,94 \cdot 10^{-6}$	$5,31 \cdot 10^{-5}$	$4,98 \cdot 10^{-5}$	-5,532	-4,303	$5,13 \cdot 10^6$
$5,88 \cdot 10^{-6}$	$1,06 \cdot 10^{-4}$	$8,60 \cdot 10^{-4}$	-5,231	-3,987	$5,29 \cdot 10^6$
$8,82 \cdot 10^{-6}$	$1,41 \cdot 10^{-4}$	$1,46 \cdot 10^{-4}$	-5,054	-3,860	$4,73 \cdot 10^6$
$1,18 \cdot 10^{-5}$	$1,87 \cdot 10^{-4}$	$1,95 \cdot 10^{-4}$	-4,928	-3,735	$4,72 \cdot 10^6$
$1,47 \cdot 10^{-5}$	$2,19 \cdot 10^{-4}$	$2,57 \cdot 10^{-4}$	-4,833	-3,665	$4,45 \cdot 10^6$
$1,76 \cdot 10^{-5}$	$2,73 \cdot 10^{-4}$	$2,98 \cdot 10^{-4}$	-4,754	-3,569	$4,64 \cdot 10^6$
$2,06 \cdot 10^{-5}$	$3,12 \cdot 10^{-4}$	$3,65 \cdot 10^{-4}$	-4,686	-3,510	$4,54 \cdot 10^6$
$2,35 \cdot 10^{-5}$	$3,59 \cdot 10^{-4}$	$4,02 \cdot 10^{-4}$	-4,629	-3,448	$4,59 \cdot 10^6$

$$\bar{\beta} = 2,72 \pm 0,18 \cdot 10^6$$

Таблица 2. Данные для расчёта состава и константы устойчивости гуматного комплекса кадмия (II)  $pH = 8,0$ ;  $\mu = 0,1$ ;  $\bar{M}_w = 34000$ ;  $C_{Cd}^0 = 5,36 \cdot 10^{-5} M$



Моль/л			$\lg C_{NiA}$	$\lg  C_{CoA} - C_{CeA} $	$\beta$
$C_{NiA}$	$C_{CeA}$	$C_{CoA} - C_{CeA}$			
0	$5,36 \cdot 10^{-5}$	—	—	—	—
$2,94 \cdot 10^{-6}$	$9,82 \cdot 10^{-5}$	$4,46 \cdot 10^{-5}$	-5,532	-4,351	$2,82 \cdot 10^5$
$4,41 \cdot 10^{-6}$	$1,11 \cdot 10^{-4}$	$5,78 \cdot 10^{-5}$	-5,355	-4,238	$2,43 \cdot 10^5$
$5,88 \cdot 10^{-6}$	$1,37 \cdot 10^{-4}$	$8,34 \cdot 10^{-5}$	-5,231	-4,079	$2,65 \cdot 10^5$
$8,82 \cdot 10^{-6}$	$1,66 \cdot 10^{-4}$	$1,12 \cdot 10^{-4}$	-5,054	-3,951	$2,38 \cdot 10^5$
$1,18 \cdot 10^{-5}$	$1,55 \cdot 10^{-4}$	$1,01 \cdot 10^{-4}$	-4,928	-3,996	$1,60 \cdot 10^5$
$1,47 \cdot 10^{-5}$	$2,25 \cdot 10^{-4}$	$1,71 \cdot 10^{-4}$	-4,833	-3,767	$2,18 \cdot 10^5$

$$\bar{\beta} = 2,34 \pm 0,43 \cdot 10^5$$

Таблица 3. Данные для расчёта состава и константы устойчивости гуматного комплекса цинка (II);  $pH = 8,0$ ;  $\mu = 0,1$ ;  $\bar{M}_w = 34000$ ;  $C_{Zn}^0 = 5,10 \cdot 10^{-5} M$

Моль/л			$\lg C_{NiA}$	$\lg  C_{ZnA} - C_{ZnA} $	$\beta$
$C_{NiA}$	$C_{ZnA}$	$C_{ZnA} - C_{ZnA}$			
0	$5,1 \cdot 10^{-5}$	—	—	—	—
$2,65 \cdot 10^{-6}$	$9,23 \cdot 10^{-5}$	$4,13 \cdot 10^{-5}$	-4,384	-4,384	$3,06 \cdot 10^5$
$5,29 \cdot 10^{-6}$	$1,23 \cdot 10^{-4}$	$7,20 \cdot 10^{-5}$	-4,143	-4,143	$2,66 \cdot 10^5$
$7,94 \cdot 10^{-6}$	$1,69 \cdot 10^{-4}$	$1,18 \cdot 10^{-4}$	-3,928	-3,928	$2,91 \cdot 10^5$
$1,06 \cdot 10^{-5}$	$2,00 \cdot 10^{-4}$	$1,49 \cdot 10^{-4}$	-3,827	-3,827	$2,75 \cdot 10^5$
$1,23 \cdot 10^{-5}$	$2,31 \cdot 10^{-4}$	$1,80 \cdot 10^{-4}$	-3,745	-3,745	$2,87 \cdot 10^5$
$1,59 \cdot 10^{-5}$	$2,61 \cdot 10^{-4}$	$2,10 \cdot 10^{-4}$	-3,678	-3,678	$2,59 \cdot 10^5$
$1,85 \cdot 10^{-5}$	$2,77 \cdot 10^{-4}$	$2,26 \cdot 10^{-4}$	-3,646	-3,646	$2,39 \cdot 10^5$
$2,12 \cdot 10^{-5}$	$3,23 \cdot 10^{-4}$	$2,72 \cdot 10^{-4}$	-3,565	-3,565	$2,51 \cdot 10^5$

$$\bar{\beta} = 2,72 \pm 0,18 \cdot 10^5$$

Таблица 4. Данные для расчёта состава и константы устойчивости гуматного комплекса кобальта (II); pH = 3,0;  $\mu = 0,1$ ;  $\bar{M}_w = 34000$ ;  $C_{Co}^0 = 3,30 \cdot 10^{-5} M$

Моль/л			lg C <sub>HA</sub>	lg[C <sub>CoA</sub> - C <sub>Co</sub> ]	$\beta$
C <sub>HA</sub>	C <sub>Co</sub>	C <sub>CoA</sub> - C <sub>Co</sub>			
0	3,30 · 10 <sup>-5</sup>	—	—	—	—
2,94 · 10 <sup>-6</sup>	2,40 · 10 <sup>-5</sup>	0,90 · 10 <sup>-5</sup>	-5,532	-5,046	2,04 · 10 <sup>5</sup>
5,88 · 10 <sup>-6</sup>	2,95 · 10 <sup>-5</sup>	1,45 · 10 <sup>-5</sup>	-5,231	-4,839	1,65 · 10 <sup>5</sup>
8,82 · 10 <sup>-6</sup>	3,56 · 10 <sup>-5</sup>	2,06 · 10 <sup>-5</sup>	-5,054	-4,686	1,55 · 10 <sup>5</sup>
1,18 · 10 <sup>-5</sup>	3,97 · 10 <sup>-5</sup>	2,47 · 10 <sup>-5</sup>	-4,928	-4,607	1,40 · 10 <sup>5</sup>
1,47 · 10 <sup>-5</sup>	4,13 · 10 <sup>-5</sup>	2,63 · 10 <sup>-5</sup>	-4,833	-4,580	1,19 · 10 <sup>5</sup>

$$\bar{\beta} = 1,57 \pm 0,40 \cdot 10^5$$

Расчёты показали, что константы устойчивости, рассчитанные по уравнениям (2) и (3), совпадают. Как оказалось, причиной различных результатов, получаемых при использовании этих двух равенств, явилось то, что в функции Ледена во внимание принимались свободная концентрация лиганда и начальная концентрация металла, а в равенстве (3) – общая концентрация лиганда и начальная концентрация металла с учётом констант гидролиза. Если в обоих уравнениях концентрация металла и лиганда выразим одинаково, они взаимнопревращаются, или метод Ледена в этом случае представляет собой математическую функцию:

$$\varphi = \frac{\psi - 1}{[HA^-]} = \frac{\frac{C_{M_0} - 1}{C_{M_0}} - 1}{\frac{C_{M_0} - C_{M_0}}{C_{M_0}}} = \frac{C_{M_0} - C_{M_0}}{C_{M_0}[HA^-]}$$

Из вышесказанного следует, что для расчёта констант устойчивости гуматных комплексов (напервое, и в других случаях) нет необходимости и применения как функции закомплексования, так и функции Ледена.

С учётом уравнения 3 и средней молекулярной массы гуминовых кислот ( $\bar{M}_w = 34000$ ), на основе экспериментальных данных (табл. 5-8) были рассчитаны константы устойчивости гуматных комплексов с Cu(II), Zn(II), Cd(II), Co(II).

$$\beta_{Cu(OH)_2HA^{2-}} = 4,76 \pm 0,24 \cdot 10^6$$

$$\beta_{Zn(OH)HA^-} = 2,72 \pm 0,18 \cdot 10^5$$

$$\beta_{Cd(OH)HA^-} = 2,34 \pm 0,43 \cdot 10^5$$

$$\beta_{CoHA^0} = 1,57 \pm 0,40 \cdot 10^5$$

Полученные константы устойчивости должны быть учтены при расчётах форм миграции элементов в природных водах. Они могут быть применены в токсикологии и гидробиологии.

#### Литература:

1. Buffle J., Deladoey P., Greter F.L., Haeidi W. Study of the complex formation of copper (II) by humic and fulvic substances. *Analitica Chimica Acta*, 1980, 116, p. 255-274.
2. Glaus M.A., Hummel W., Van Loon L.R. Trace metal-humate interactions I.

3. Hummel W., Glaus M.A., Van Loon L.R. The "conservative roof" model and its application. – Applied Geochemistry, 2000, 15, p. 953-973.
4. Glaus M.A., Hummel W., Van Loon L.R. Stability of mixed-ligand complexes of metal ions with humic substances and low molecular weight ligands. – Environ. Sci. Technol. 1995, 29, p. 2150-2154.
5. Tipping E., Hurley M.A., A unifying model of cation binding by humic substances. Geochimica et Cosmochimica Acta, 1992, 56, p. 3627-3641.
6. ნიფანაშვილი თ.ი., ფედოროვა ო.ვ., შკანავი ვ.მ., სპივაკოვი ბ.ი. Определение констант устойчивости комплексов цинка с гуминовыми веществами природных вод методом ультрафильтрации. Ж. Аналит. химии, 1998, 53, №7, с. 734-737.
7. Махарадзе Г. А. Исследование фульвокислот выделенных из природных вод и их соединений с тяжёлыми металлами. Автореф. дис. докт. хим. наук. Тбилиси, 2002, 74с.
8. Бек М. Химия равновесий реакций комплексобразования. М.: Мир, 1973, 348 с.

## კუმიინის მტავეების კომპლექსნაერთები მძიმე ღლითონებთან

ა. ხაიაური, გ. მახარაძე, ც. გოლიაძე

თვ. ჯავახიშვილის სახელობის თბილისის სახელმწიფო უნივერსიტეტი  
რეზიუმე

ხსნადობის მეთოდით (pH 8) დადგენილია კუმიინის მტავეებთან Cu(II), Zn(II), Cd(II), Co(II)-ის კომპლექსნაერთების შედგენილობა (1:1). გათვლილია კუმატური კომპლექსების მდგრადობის მუდმივები:

$$\beta_{Cu(OH)_2HA^-} = 4.76 \pm 0.24 \cdot 10^6; \quad \beta_{Zn(OH)HA^-} = 2.72 \pm 0.18 \cdot 10^5.$$

$$\beta_{Cd(OH)HA^-} = 2.34 \pm 0.43 \cdot 10^5; \quad \beta_{CoHA^0} = 1.57 \pm 0.40 \cdot 10^5.$$

მდგრადობის მუდმივების მიღებული მონაცემები გათვალისწინებული უნდა იქნეს ბუნებრივ წყლებში ელემენტთა მიგრაციის ფორმების გათვლისას.

## Complexes of humic acids with heavy metals

A. Khaiauri, G. Makharadze, T.G. Goliadze

Iv. Javakhishvili Tbilisi State University

### Summary

By method of solubility (pH 8) the condition of complexes of Cu (II), Zn (II), Cd (II), Co (II) with humic acids was established (1:1). It is calculated stability constants of humate complexes:

$$\beta_{Cu(OH)_2HA^-} = 4.76 \pm 0.24 \cdot 10^6; \quad \beta_{Zn(OH)HA^-} = 2.72 \pm 0.18 \cdot 10^5.$$

$$\beta_{Cd(OH)HA^-} = 2.34 \pm 0.43 \cdot 10^5; \quad \beta_{CoHA^0} = 1.57 \pm 0.40 \cdot 10^5.$$

This date of stability constants must be taken into account for calculation of migration forms of elements in natural waters.

## Сорбция тяжёлых металлов на гуминовых кислотах

Ц. Гоматадзе, А. Ханаური, Г. Махарадзе

Тбилисский государственный университет им. Ив. Джавахишвили

Одним из важных геохимических барьеров микроэлементов в поверхностных водах являются сорбционные процессы. В роли сорбента выступают как глино-минералы, так и оксиды и гидроксиды тяжёлых металлов, а также органические вещества [1-3]. Твёрдая фаза в природных водах играет двойную роль. С одной стороны, она является активным участником самоочищения водоёмов от тяжёлых металлов, с другой – она вторичный источник загрязнения. Общие закономерности сорбции на глино-минералах и гидроксидах тяжёлых металлов хорошо изучены, но очень скудны данные об участии в сорбционных процессах гуминовых кислот.

Целью нашей работы являлось изучение закономерностей сорбции тяжёлых металлов  $Cu^{2+}$ ,  $Zn^{2+}$ ,  $Cd^{2+}$ ,  $Co^{2+}$ ,  $Mn^{2+}$  на гуминовых кислотах. Для эксперимента мы использовали освобождённые от воздуха гуминовые кислоты размером частиц  $d < 2$  мм. Добавляли титрованные растворы металлов, взбалтывали в механической болтушке в течение 1 часа, отстаивали 24 часа, далее центрифугировали и в растворе определяли равновесные концентрации металлов атомно-абсорбционным спектроскопическим методом (*Перкин-Эльмер - 603*).

Изучено влияние различных факторов (время,  $pH$ ,  $\mu$ ) на сорбцию тяжёлых металлов на гуминовых кислотах. Сорбция металлов на гуминовых кислотах начинается мгновенно и достигает максимума в 30 минут. После этого, в течение 24 часов количество сорбированного металла практически не меняется. Сорбцию металлов на гуминовых кислотах мы изучали в области  $pH$  1,0-8,0. Сорбция становится заметной при  $pH$  2 и выше  $pH$  5 практически не меняется (рис.1). Сказанное относится к наименее гидролизуемому металлу. В случае меди и цинка максимум сорбции достигается при  $pH$  7-8. Причина в том, что как кобальт, так и марганец в этой области  $pH$  находятся только в ионной форме [4], тогда как гидролиз меди и цинка достигают максимума при  $pH$  7-8. Итак, в этой области  $pH$  трудно определить, какая доля приходится на сорбцию и какая на гидролиз. Исходя из сказанного, мы сочли целесообразным сорбцию всех металлов изучить в области  $pH$  5,0-6,0.

Изучено влияние ионов  $Ca^{2+}$ ,  $Na^+$  и  $K^+$  на сорбцию тяжёлых металлов гуминовыми кислотами. С увеличением концентрации ионов  $Ca^{2+}$  сорбция тяжёлых металлов на гуминовых кислотах резко уменьшается, а их сорбционные возможности в случае 0,1 М  $CaCl_2$  практически равны (рис. 2). Это указывает на то, что в сорбции в основном участвуют карбоксильные группы гуминовых кислот и применение ионов  $Ca^{2+}$  для создания ионной силы нецелесообразно. Что касается влияния ионов  $K^+$  и  $Na^+$ , их изучение оказалось невозможным, так как в присутствии щелочных металлов растворимость гуминовых кислот возрастает, что хорошо видно и визуально. Исходя из

рышесказанного, мы сочли целесообразным сорбцию тяжёлых металлов на гуминовых кислотах изучить в условиях  $\mu = 0$ .

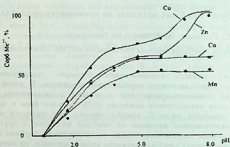


Рис. 1. Влияние pH на сорбцию металлов гуминовыми кислотами.

$C_{Cu^{2+}}=23$  мкг/мл;  $C_{Zn^{2+}}=27$  мкг/мл;  $C_{Co^{2+}}=20$  мкг/мл;  
 $C_{Mn^{2+}}=15$  мкг/мл;  $V_{рас.}=50$  мл;  $m_{гк}=0.1$  г.

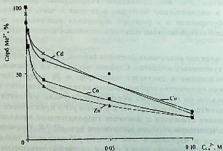


Рис. 2. Влияние ионов  $Ca^{2+}$  на сорбцию тяжелых металлов гуминовыми кислотами;  $m_{гк}=0.1$  г;  $C_{Ca^{2+}}=21.4$  мкг/мл;  $C_{Zn^{2+}}=9$  мкг/мл;  $C_{Cu^{2+}}=10.4$  мкг/мл;  $C_{Co^{2+}}=8$  мкг/мл;  $V_{рас.}=50$  мл; pH=5.5.

Сорбционная ёмкость гуминовых кислот по отношению к металлам различна и достаточно высока:  $Cu^{2+}$  - 36,  $Zn^{2+}$  - 16,  $Cd^{2+}$  - 11,  $Co^{2+}$  - 10,  $Mn^{2+}$  - 6 мг/г (рис. 3, табл. 1). Как видно из этих данных, сорбционная ёмкость металлов у гуминовых кислот на 2-3 порядка выше, чем у глино-минералов и гидроксидов. Благодаря высокой сорбционной способности в слабокислой среде, гуминовые кислоты могут быть применены для очистки производственных сточных вод от тяжёлых металлов.

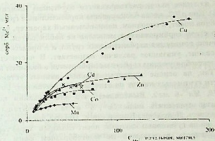


Рис. 3. Сорбция тяжелых металлов на гуминовых кислотах.

Данные эксперимента сорбции обработаны теоретическими уравнениями Фрейндлиха (1), Ленгмюра (2), Никольского (3) [5-9]:

$$q_e = K_f C_{Me}^{1/n}, \quad (1)$$

$$q_e = \frac{q_m K_L C_{Me}}{1 + K_L C_{Me}}, \quad (2)$$

$$\frac{C_i^{1/n}}{C_i} = K_s \frac{C_i^{1/n}}{C_i} \quad (3)$$

$C_{Me}^{нач}$  начальная, мг/мл

Для расчёта параметров изотерм применены следующие уравнения:

$$\log q_e = \frac{1}{n} \log C_{Me} + \log K_f, \quad (4)$$

$$\frac{C_{Me}}{q_e} = \frac{1}{q_m K_L} + \frac{C_{Me}}{q_m}, \quad (5)$$

$$\frac{z_{Me}^*}{z^*} \log \frac{\bar{x}}{x} = \log K_s + \log \frac{1-\bar{x}}{1-x} \quad (6)$$

В отличие от распространенного в литературе мнения выяснилось, что модель Фрейндлиха не описывает полностью процесс сорбции на гуминовых кислотах. При использовании модели Ленгмюра получаются данные, близкие к экспериментальным. Параметры изотерм Никольского показывают, что сорбция металлов на гуминовых кислотах достаточно сложного характера. Из диаграмм состояния ионов ясно, что в данных условиях эта сложность вызывается не многообразием форм существования ионов сорбтива, а наличием разных сорбционных центров в составе гуминовых кислот, за счет которых, наряду с ионным обменом, будут также проходить процессы комплексообразования.

Сказанное выше подтверждается изучением зависимости сорбции от pH (рис.1). При pH 2, когда блокированы карбоксильные группы гуминовых кислот и сорбция носит, в основном, ионнообменный характер, четкого различия между количеством сорбированных металлов не наблюдается. При pH 5, когда почти закончена ионизация карбоксильных групп, и в процесс включается комплексобразование, указанное различие возрастает. В частности, металл с лучшим комплексобразующим свойством сорбируется в большем количестве.

Так, на основе экспериментальных данных установлены сорбционные ёмкости гуминовых кислот по отношению к металлам:  $Cu^{2+}$ -36,  $Zn^{2+}$ -16,  $Cd^{2+}$ -11,  $Co^{2+}$ -10,  $Mn^{2+}$ -6 мг/г. Выяснилось, что для создания ионной силы, целесообразно применять ионы  $Ca^{2+}$ ,  $K^+$  и  $NH_4^+$ . Рассчитаны параметры изотерм Фрейндлиха, Ленгмюра, Никольского. Опыты показали, что сорбция тяжёлых металлов на гуминовых кислотах носит сложный характер. В данных условиях эта сложность вызывается не многообразием форм существования ионов сорбтива, а наличием разных сорбционных центров в составе гуминовых кислот, за счет которых, кроме ионного обмена, будет происходить комплексобразование.

Таблица 1. Параметры изотерм

Элемент	Сорбционная ёмкость мг/г	Фрейндлиха		Ленгмюра		Никольского				
		Сорбц. ёмкость $K_f$ мг/г	1/n	Сорбц. ёмкость $Q_m$ мг/г	$K_L$	$K_s$ моль X $10^3$ /л	$Z'_{ср}$	$Z', \%$		
								0	1	2
Cu	36	6.03	0.41	11.80 41.97	0.56 0.03	2.91	0.05	95	5	-
						9.05	0.001	-100	-	-
						0.11	0.03	97	3	-
						1.10	0.005	-100	-	-
Zn	16	14.12	0.35	15.65	0.04	1.25	0.02	98	2	-
						0.57	0.002	-100	-	-
						0.32'	0.09	99	1	-
Cd	11	5.25	0.30	11.27	0.59	1778	0.75	25	75	-
						0.01	0.52	48	52	-
						1.21	0.05	95	5	-
Co	10	4.79	0.20	9.72	0.23	0.79	0.04	96	4	-
						0.56	0.008	-100	-	-
Mn	6	2.24	0.45	6.36	0.24	0.85	0.24	76	24	-
						1.01	0.05	95	5	-
						0.60	0.02	98	2	-

#### Литература:

1. Borovec Z., Tolar V. Adsorption of zinc on kaolinites. - 8th Conference on Clay Mineralogy and Petrology, Teplice, 1979, p. 71-76.
2. Лурье А.А. Сорбенты и хроматографические носители. М.: Химия, 1972, 37 с.

3. Cardiner J. The chemistry of cadmium in natural water – II. The adsorption of cadmium on river mud's and naturally occurring solids – Water Research, 1974, 8, p. 157-164.
4. Махарадзе Г. А. Исследование фульвокислот, выделенных из природных вод и их соединений с тяжёлыми металлами. Автореф. дис. докт. хим. наук. – Тбилиси, 2002, 74 с.
5. Вязова Н.Г., Крюкова В.Н., Латышев В.П. Сорбционные свойства гуминовых кислот. – Химия твердого топлива, 1999, №6, с. 47-50.
6. Гамзатов Н.И., Масленников Г.И., Шульман Ю.А. Сорбционные свойства гуминовых кислот. – Почвоведение, 1992, №1, с. 113-116.
7. Гамзатов Н.И., Масленников Б.И., Шульман Ю.А. Равновесие и кинетика ионного обмена на гуминовых кислотах. – Почвоведение, 1986, №11, с. 52-57.
8. Guy R.D., Chakrabati C.L., Schramm L.L. The application of a simple chemical model of natural waters to metal fixation in particulate matter. – Can. J. Chem. 1975, 53, p. 1103-1109.
9. Понизовский А.А., Студеникина Т.А., Мироненко Е.В. Поглощение ионов меди (II) почвой и влияние на него органических компонентов почвенных растворов. – Почвоведение, 1999, №7, с. 850-859.

## შიშვე ლითონების სორბცია ჰუმიინის მგავეებზე

ც. გოლიაძე, ა. ხაიაური, გ. მახარაძე

ივ. ჯავახიშვილის სახელობის თბილისის სახელმწიფო უნივერსიტეტი

რეზიუმე

შესწავლილია  $\text{Cu}^{2+}$ ,  $\text{Zn}^{2+}$ ,  $\text{Cd}^{2+}$ ,  $\text{Co}^{2+}$ ,  $\text{Mn}^{2+}$ -ის სორბცია ჰუმიინის მგავეებზე. ნაჩვენებია, რომ სორბციული პროცესების კვლევისას იონური ძალის შეხაჸმნეღად მიზანშეწონილი არ არის არც  $\text{K}^+$ ,  $\text{Na}^+$  და არც  $\text{Ca}^{2+}$  იონების გამოყენება. გათვლილია ფროინდლისის, ლენგმუირის და ნიკოლსკის იზოთერმათა პარამეტრები; დადგენილია ჰუმიინის მგავეების სორბციული ტეეადობა ლითონების მიმართ:  $\text{Cu}^{2+}$ -36,  $\text{Zn}^{2+}$ -16,  $\text{Cd}^{2+}$ -11,  $\text{Co}^{2+}$ -10,  $\text{Mn}^{2+}$ -6 მგ/გ; ჰუმიინის მგავეების უნარი სუსტ მგაეა გარემოში აღსორბირონ შიშვე ლითონები, შვიღება გამოყენებულ იქნეს ჩამდინარე წყლების გასუფთაებისათვის.

## Sorption of heavy metals on humin acids

Ts. Goliadze, A. Khaiauri, G. Makharadze

Iv. Javakhishvili Tbilisi State University

Sorption of  $\text{Cu}^{2+}$ ,  $\text{Zn}^{2+}$ ,  $\text{Cd}^{2+}$ ,  $\text{Co}^{2+}$ ,  $\text{Mn}^{2+}$  on humic acids was investigated. It is shown that for investigation of sorption processes it is not correct to use  $\text{K}^+$ ,  $\text{Na}^+$ ,  $\text{Ca}^{2+}$  ions for forming ionic strength. It is calculated the parameters of isotherms of Freundlich, Langmuir and Nicol'sky. It is established the sorption ability of humic acids for each metal:  $\text{Cu}^{2+}$ -36,  $\text{Zn}^{2+}$ -16,  $\text{Cd}^{2+}$ -11,  $\text{Co}^{2+}$ -10,  $\text{Mn}^{2+}$ -6 mg/g. Because of high sorption ability in weak acid area humic acids can be applied for clearing of wastewaters from heavy metals.

## Гидролиз ионов цинка и его комплексообразование с фульвокислотами в разбавленных водных растворах

Н. Чхიკვიანი

Тбилисский государственный университет им. Ин. Джавахишвили

**Введение.** Миграционные формы химических элементов в значительной степени обуславливают их распределение в гидросфере, подвижность, токсичность и степень участия в гео- и биохимических процессах. Поэтому определение миграционных форм элементов и установление закономерности их распределения в природных водах – актуальный вопрос аналитической, гидро- и экохимии.

Миграционные формы цинка в природных водах недостаточно изучены. Одной из причин этого являются ограниченные возможности экспериментальных методов определения этих форм. Кроме того, данные о константах устойчивости гидроксо- и фульватных комплексов цинка несопоставимы [1-6].

Целью работы являлось изучение гидролиза и комплексообразования ионов цинка с фульвокислотой в разбавленных растворах.

Гидролиз ионов цинка (II) изучен нами с использованием метода растворимости ( $pH=5 \pm 11$ ,  $\mu=0,01$ ,  $t=25^{\circ}C$ ), твердая фаза представлена оксидом цинка.

**Методика эксперимента.** В фторопластовые цилиндры емкостью 15 мл вводили 0,1 мл суспензии и добавляли 9,9 мл 0,01М раствор нитрата калия с различными значениями pH ( $pH=5 \pm 11$ ). Суспензию термостатировали при  $25^{\circ}C$ , встряхивали в течение 60 часов и фильтровали через мембранный фильтр (Синшор № 6, диаметр пор 450 нм) В фильтрате определяли содержание цинка методом ААС с помощью спектрометра Перкин-Элмер 603.

Для изучения устойчивости комплексных соединений цинка с фульвокислотами 0,1 мл в свежесоажденную суспензию оксида цинка в возрастающих количествах вносили стандартный раствор фульвокислоты. В конечном объеме модельной системы (10 мл) концентрация фульвокислоты менялась от  $1,30 \cdot 10^{-5}$  М до  $4,88 \cdot 10^{-4}$  М в пересчете на ассоциат:  $\bar{M}_n = 6300$ . Постоянную ионную силу создавали добавлением 1 мл 0,01М раствора нит-рата калия. Концентрацию водородных ионов в модельных растворах регулировали 0,01 М растворами калия и азотной кислоты ( $pH=8$ ). Растворы термостатировали при  $25^{\circ}C$ . Суспензию встряхивали на механической мешалке в течение 60 часов и фильтровали через мембранный фильтр (Синшор №6, диаметр пор 450 нм). Концентрацию цинка определяли методом ААС.

**Результаты и обсуждение.** Общую концентрацию цинка в растворе над осадком цинка можно выразить как сумму отдельных комплексных форм. Принимая во внимание только моноядерные гидроксокомплексы, общую концентрацию цинка в растворе можно выразить как:

$$C_{Zn} = [Zn^{2+}](1 + \beta_{1,1}[OH^{-}] + \beta_{1,2}[OH^{-}]^2) \quad (1)$$

Равновесная концентрация ионов цинка рассчитывается из произведения

растворимости. Литературные данные о произведении растворимости гидроксида цинка на несколько порядков отличаются друг от друга: ( $1,78 \cdot 10^{-12}$ ,  $7,1 \cdot 10^{-18}$ ), что значительно затрудняет обработку результатов эксперимента. Учитывая полученные зависимости растворимости гидроксида цинка от pH и тот факт, что при pH=9,5 доминирующую форму представляет  $Zn(OH)_2$ , нетрудно доказать, что произведение растворимости должно быть равным  $n \cdot 10^{-18}$ . Исходя из этого, мы нашли целесообразным использование величины  $L_p = 7,1 \cdot 10^{-18}$ . Константы устойчивости гидроксокомплексов цинка рассчитали по методу Ледена [7] с использованием функции  $\varphi_1$  и  $\varphi_2$ :

$$\varphi_1 = \frac{\Phi - 1}{[OH^-]} = \beta_{1,1} + \beta_{1,2}[OH^-] \quad (2)$$

$$\varphi_2 = \frac{\Phi - 1 - \beta_{1,1}[OH^-]}{[OH^-]^2} \quad (3)$$

Результаты вычислений даны в таблице 1. Полученные константы устойчивости гидроксокомплексов цинка равны  $\beta_1 = 4,69 \cdot 10^6$  и  $\beta_2 = 4,52 \cdot 10^{11}$ .

Константа устойчивости гидроксофульватного комплекса цинка может быть рассчитана по формуле:

$$\beta = \frac{C_{Zn_{\text{св}}} - C_{Zn_{\text{св}}}}{[ZnOH^+][FA^{2-}]^n} \quad (4)$$

$$\text{Отсюда } \beta \cdot [ZnOH^+] = \frac{C_{Zn_{\text{св}}} - C_{Zn_{\text{св}}}}{[FA^{2-}]^n} \quad (5)$$

При фиксированном значении pH левая часть уравнения (5) – величина постоянная

$$K = \frac{C_{Zn_{\text{св}}} - C_{Zn_{\text{св}}}}{[FA^{2-}]^n} \quad (6)$$

Прологарифмировав выражение, (19) получаем:

$$\lg K^n = (C_{Zn_{\text{св}}} - C_{Zn_{\text{св}}}) - n \lg [FA^{2-}] \quad (7)$$

Число лигандов во внутренней координационной сфере (стехиометрический коэффициент n) равно тангенсу угла наклона прямой, построенной в координатах

$$\lg [(C_{Zn_{\text{св}}} - C_{Zn_{\text{св}}}) - \lg [FA^{2-}].$$

Для определения состава и устойчивости фульватного комплекса цинка изучили растворимость гидроксида цинка в растворах фульвокислоты в интервале концентрации  $1,30 \cdot 10^{-5} - 4,88 \cdot 10^{-4}$  М ( $M_w = 6300$ , pH=8) (табл.2). Результаты показали, что из-за комплексообразования в растворе с увеличением концентрации фульвокислоты растворимость оксида цинка возрастает на 1-2 порядка. На основе определения (метод наименьших квадратов) tgα (равно 1,3) подтверждено, что в исследуемой системе образуется только один комплекс состава 1:1. Поэтому уравнение (6) принимает вид:

$$\beta = \frac{C_{Zn_{\text{св}}} - C_{Zn_{\text{св}}}}{[ZnOH^+][FA^{2-}]} \quad (8)$$

Выражая концентрацию дигидроксокомплекса цинка через концентрацию цинка в растворе и константы устойчивости гидроксокомплексов, получаем формулу для

$$\beta = \frac{C_{Zn(OH)_2} - C_{ZnCO_3}}{C_{ZnCO_3} \cdot \beta_{ZnCO_3} \cdot [OH^-]} = \frac{C_{Zn(OH)_2} - C_{ZnCO_3}}{3,16 \cdot 10^{-5} \cdot [FA^{2-}]} \quad (9)$$

$$\frac{1 + \beta_{ZnCO_3} \cdot [OH^-] + \beta_{Zn(OH)_2} \cdot [OH^-]^2}{[FA^{2-}]}$$

По полученным данным (таблица 2) нами рассчитаны константы устойчивости гидроксофульватного комплекса по ассоциату:  $\bar{\beta} = (1,21 \pm 0,14) \cdot 10^6$ .

Таблица 1. Экспериментальные данные для расчета констант устойчивости гидроксокомплексов цинка ( $\mu=0,01$  (KNO<sub>3</sub>), твердая фаза – суспензия оксида цинка).

рН	[OH]	Концентрация цинка		Ф	φ <sub>1</sub>	β <sub>1,1</sub> [OH]	φ <sub>2</sub>
		мкг/мл л	моль/л				
7,90	7,94·10 <sup>-7</sup>	3,45	5,31·10 <sup>-5</sup>	1,53	7,00·10 <sup>5</sup>	3,72	7,83·10 <sup>11</sup>
8,40	2,51·10 <sup>-6</sup>	2,22	3,42·10 <sup>-5</sup>	9,86	3,53·10 <sup>6</sup>	11,77	6,30·10 <sup>11</sup>
8,90	7,94·10 <sup>-6</sup>	1,70	2,62·10 <sup>-5</sup>	75,56	9,39·10 <sup>6</sup>	37,24	5,91·10 <sup>11</sup>
9,40	2,51·10 <sup>-5</sup>	0,92	1,42·10 <sup>-5</sup>	409,53	1,63·10 <sup>7</sup>	117,7	4,61·10 <sup>11</sup>
9,90	7,94·10 <sup>-5</sup>	0,42	6,46·10 <sup>-6</sup>	1863,1	2,34·10 <sup>7</sup>	372,4	2,36·10 <sup>11</sup>

Таблица 2. Экспериментальные данные для расчета состава и констант устойчивости фульватных комплексов цинка методом растворимости (рН=8,  $\bar{M}_w=6300$ ,  $\mu=0,01$  (KNO<sub>3</sub>),  $t=25^\circ\text{C}$ ).

C <sub>FA</sub>	моль/л		Соотношение C <sub>Zn</sub> :C <sub>FA</sub>	lgC <sub>FA</sub>	lgC <sub>ZnOHFA</sub>	β
	C <sub>Zn</sub>	C <sub>Zn(OH)FA</sub>				
-	4,31·10 <sup>-5</sup>	-	-	-	-	-
1,30·10 <sup>-5</sup>	8,11·10 <sup>-5</sup>	3,80·10 <sup>-5</sup>	1: 0,18	- 4,886	- 4,420	9,22·10 <sup>5</sup>
1,63·10 <sup>-5</sup>	9,03·10 <sup>-5</sup>	4,72·10 <sup>-5</sup>	1: 0,18	- 4,788	- 4,326	9,15·10 <sup>5</sup>
1,95·10 <sup>-5</sup>	1,20·10 <sup>-4</sup>	7,69·10 <sup>-5</sup>	1: 0,16	- 4,710	- 4,114	1,24·10 <sup>6</sup>
2,27·10 <sup>-5</sup>	1,28·10 <sup>-4</sup>	8,49·10 <sup>-5</sup>	1: 0,18	- 4,644	- 4,071	1,18·10 <sup>6</sup>
2,60·10 <sup>-5</sup>	1,47·10 <sup>-4</sup>	1,04·10 <sup>-4</sup>	1: 0,18	- 4,585	- 3,982	1,26·10 <sup>6</sup>
3,25·10 <sup>-5</sup>	1,65·10 <sup>-4</sup>	1,22·10 <sup>-4</sup>	1: 0,20	- 4,488	- 3,914	1,18·10 <sup>6</sup>
3,58·10 <sup>-5</sup>	1,97·10 <sup>-4</sup>	1,54·10 <sup>-4</sup>	1: 0,18	- 4,446	- 3,812	1,36·10 <sup>6</sup>
4,23·10 <sup>-5</sup>	2,38·10 <sup>-4</sup>	1,95·10 <sup>-4</sup>	1: 0,18	- 4,374	- 3,710	1,45·10 <sup>6</sup>
4,88·10 <sup>-5</sup>	2,53·10 <sup>-4</sup>	2,10·10 <sup>-4</sup>	1: 0,17	- 4,312	- 3,680	1,36·10 <sup>6</sup>

**Выводы:** 1. Изучен гидролиз ионов цинка (II) в разбавленных водных растворах. Рассчитаны константы устойчивости гидроксокомплексов цинка:  $\bar{\beta}_1 = (4,69 \cdot 10^6)$ ;  $\bar{\beta}_2 = (4,52 \cdot 10^{11})$ . 2. Методом растворимости установлена константа устойчивости комплекса цинка с фульвокислотой:  $\bar{\beta} = (1,21 \pm 0,14) \cdot 10^6$ .

Литература:

1. Schnitzer M., Hansen E. Organo-metallic interactions in soil. 8. An evaluation of methods for the determination of stability constants of metalfulvic acid complexes. *Soil Science*, 1970, v.109, 333-340.
2. Schnitzer M., Skinner S.J.M. Organo-metallic interactions in soil. 5. Stability constants of  $\text{Cu}^{2+}$ ,  $\text{Fe}^{2+}$  and  $\text{Zn}^{2+}$  fulvic acid complexes. *Soil Science*, 1966, v.102, N6, 361-365.
3. Prasad B., Dhakar G.D., Singh A.P. Co (III), Fe(III) and Zn(II) complexation by fulvic acids isolated from North-Eastern Himalayan Forest and cultivated soils. I. *Indian Soc. Soil Sci.*, 1987, 35, 194-197.
4. Senesi N. Metalhumic substance complexes in the Environment. *Biogeochemistry of trace metals*. Edited by D.C. Adriano, 1996, 429-496.
5. Нифантьева Т.И., Федорова О.В., Шкинев В.М., Сиваков Б. Я. Определение констант устойчивости комплексов цинка с гуминовыми веществами природных вод методом ультрафильтрации. *ЖАХ*, 1998, т.11, №7, 734-747.
6. Яшмирский К.Б., Васильев В.П., Константы нестойкости комплексных соединений. М., Наука, 1959.
7. Бек М.М., Химия равновесий реакций комплексообразования. Мир, 1973.

## თუთიის იონების ჰიდროლიზი და ფულვომჟავებთან კომპლექსწარმოქმნა განზავებულ წყალხსნარებში

ნ. ჩხიკვიშვილი

ივ. ჯავახიშვილის სახელობის თბილისის სახელმწიფო უნივერსიტეტი  
რეზიუმე

განზავებულ წყალხსნარებში თუთიის (II) იონების ჰიდროლიზი და ფულვომჟავებთან კომპლექსწარმოქმნა შესწავლილია ხსნადობის მეთოდის გამოყენებით. მყარი ფაზას წარმოადგენდა თუთიის ოქსიდი. თუთიის ჰიდროქსოკომპლექსების  $[(\text{ZnOH}^+, \text{Zn}(\text{OH})_2)]$  მდგრადობის მუდმივებია:  $\beta_1=4,69 \cdot 10^6$ ,  $\beta_2=4,52 \cdot 10^{11}$  ( $\text{pH}=5+11$ ,  $\mu=0,01$ ,  $t=25^\circ\text{C}$ ). თუთიის ფულვატური კომპლექსის მდგრადობის მუდმივა  $\beta=(1,21 \pm 0,14) \cdot 10^6$  ( $M_w=6300$ ,  $\text{pH}=8$ ).

## The hydrolysis and complexation of zinc(II) ions by fulvic acids in dilute solutions

N. Chkhikvishvili

Iv. Javakhishvili Tbilisi State University

### Summary

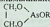
By solubility method hydrolysis and complexation of zinc (II) ions by fulvic acids in dilute solutions was studied. The solid phase - zinc oxide. The stability constants of zinc hydrocomplexes  $[(\text{ZnOH}^+, \text{Zn}(\text{OH})_2)]$  equal to:  $\beta_1=4,69 \cdot 10^6$ ,  $\beta_2=4,52 \cdot 10^{11}$  ( $\text{pH}=5+11$ ,  $\mu=0,01$ ,  $t=25^\circ\text{C}$ ). The stability constant of zinc fulvate complex is  $\beta=(1,21 \pm 0,14) \cdot 10^6$  ( $M_w=6300$ ,  $\text{pH}=8$ ).

Неорганическая химия и элементоорганическая химия

ДЕЙСТВИЕ МУРАВЬИНОЙ КИСЛОТЫ НА АЛКИЛОВЫЕ ЭФИРЫ ЭТИЛЕН-  
ГЛИКОЛЬМЫШЬЯКОВИСТОЙ КИСЛОТЫ

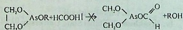
Р. Гигаური, Н. М. Инджия, Дж. Метრელი, Г. Митаншвили  
Тбилисский государственный университет им. Ив. Джавахишвили.

Алкиловые эфиры этиленгликольмышьяковистой кислоты общей формулы:



как все несимметричные триалкиларсенаты, содержат не менее двух реакционных центров:  $>\text{As}-\text{OR}$  связей и неподеленных пар электронов ( $4s^2$ ) у атома мышьяка. Поэтому они вступают не только в кислотно-основные реакции, в результате чего степень окисления мышьяка не меняется, но и в окислительно-восстановительные, протекающие обычно разрывом связи  $>\text{As}-\text{OR}$ . Ход этих процессов, и следовательно, результаты реакции, кроме состава и строения исходных эфиров, зависит и от природы второго реагента. Более того, не так уж редко последний становится решающим [1].

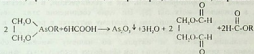
В предыдущей работе [2] нами было показано, что продуктами гидролиза алкиловых эфиров этиленгликольмышьяковистой кислоты являются соответствующие спирты и, что самое главное, мышьяковистый ангидрид высокой чистоты, пригодный для фармакологии и волоконной оптики. В связи с этим, сочли целесообразным – исследовать взаимодействие алкиловых эфиров этиленгликольмышьяковистой кислоты с муравьиной кислотой. При равномольном соотношении реагирующих веществ, предполагалось образование однозамещенных формиатов, по схеме:



как это имеет место при обработке симметричных эфиров мышьяковистой кислоты ангидридом уксусной кислоты [3-6]. Однако оказалось, что продуктами реакции являются, вопреки нашим ожиданиям, соответствующие алкилформиаты, сложные эфиры гликоля с муравьиной кислотой и, самое главное – в виде твердой фазы осаждается мышьяковистый ангидрид. Этот факт указывает на то, что взаимодействие кислоты с упомянутыми циклическими эфирами имеет иной характер, диаметрально отличающийся от их действия на ангидриды карбоновых кислот.

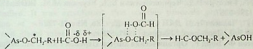
Для выяснения истинной картины, далее сходный эфир и муравьиную кислоту для реакции брали в молярном соотношении 1:3. Более того, для смещения равновесия вправо, и этим увеличить выход конечных продуктов, в действительности кислота бралась на 10-20% больше по сравнению с теоретической.

Как оказалось, процесс имеет общий характер и, в основном, выражается схемой:



Реакции проводились без растворителя, при комнатной температуре. По мере протекания реакции из содержимой колбы постепенно осаждался белый осадок, который, в целях увеличения выхода и завершения кристаллизационного процесса, оставляли в маточном растворе 3-5 дней. Опыты показали, что скорость выделения твердой фазы и, следовательно, выход конечного продукта, существенно зависят от состава исходного циклического эфира. Кроме того, было обнаружено, что белый мышьяк сравнительно трудно осаждается из высших алкиловых эфиров этиленгликольмышьяковистой кислоты, нежели из ее низших эфиров.

Как известно [1, 7, 8], сложные эфиры мышьяковистой кислоты вступают в реакцию нуклеофильного замещения, типичную для производных карбоновой кислоты. Поэтому реакцию муравьиной кислоты с алкиловыми эфирами этиленгликольмышьяковистой кислоты можно рассматривать (аналогично соответствующей реакции для сложных эфиров) [9], как бимолекулярную реакцию. Атака нуклеофила, по-видимому, протекает по углероду алкилового радикала  $>\text{As}-\text{O}^-\text{CH}_2-\text{R}$ , имеющего дефицит электронов и приводит к его замещению по схеме:



Этой реакции способствуют  $\text{H}^+$ -ионы. В таких кислотно-катализируемых реакциях  $\text{H}^+$ -присоединяется к кислороду с образованием мышьяковистой кислоты (подразумевается, что такому же взаимодействию подвергаются и остатки гликоля), которая далее подвергается дегидратации:



Следовательно, конечными продуктами взаимодействия алкиловых эфиров этиленгликольмышьяковистой кислоты с безводной муравьиной кислотой является белый мышьяк, вода и сложные эфиры соответствующих спиртов и этиленгликоля. Оптимальные условия получения последних в химически чистом виде нами ближе не исследовались из-за трудности их разделения. Тем более, что своеобразное препятствие претерпевает и сама кислота, которая берется больше по сравнению с теоретическим. В результате регенерирования соответствующих спиртов получается не менее трехкомпонентная система в виде жидкой фазы, разделение которой обычной перегонкой связано со значительными экспериментальными трудностями.

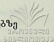
На основе экспериментальных исследований показано, что выход  $\text{As}_2\text{O}_3$  высокий и колеблется в пределах 81-92%, причем, выход повышается с уменьшением молекулярных масс исходных циклических эфиров. При этом чистота полученных веществ практически не зависит от состава и строения исследуемого эфира, - во всех случаях осаждаются продукты почти одинаковой кондиции. Кроме того, выяснилось и то, что полученный оксид мышьяка(III)

представляет собой вещество высокой чистоты и этим параметром несколько раз превосходит исходный белый мышьяк. И это – отнюдь не случайно. Дело в том, что белый мышьяк, как рафинированный, так и технический, в качестве примесей содержит, в основном, металлы [8]. Ни одно соединение этих элементов не подвергается этерификации спиртами и поэтому остается в реакторе в виде ила. Появление некоторых элементов в триоксиде мышьяка после очистки, в частности, кремния, кальция, магния и натрия, по нашему мнению, объясняется выщелачиванием химической посуды при обработке исследуемых эфиров, или же содержанием их примесей (например, железо) в муравьиной кислоте. Подтверждением вышесказанного служит то, что рафинированный белый мышьяк, взятый для получения исходных триалкиларсенитов, практически не содержащих натрия, но эта примесь появляется в составе мышьяковистого ангидрида, полученного на базе триизоалларсенита.

#### *Литература:*

1. Г. Камай, Б.Д. Чернокальский. Методы синтеза и реакции эфиров кислот мышьяка. В сб. Реакции и методы исследования органических соединений. М., Химия, 1964, с.9-126.
2. Справочник химика Т.2, М.-Л.: Химия, 1965, с.132.
3. Камай Г., Чадаева Н.А. ЖОХ, 1956, т.26, вып.9, с.2468-2474.
4. Гигаури Р.Д., Камай Г., Угулава М.М. ЖОХ, 1971, т.41, вып.2, с.336-338.
5. Камай Г., Угулава М.М., Гигаури Р.Д., Инджия М.А., Чачава Г.Н. Сообш. АН ГССР, 1971, т.61, N I, с.61-64.
6. Камай Г., Гигаури Р.Д., Чернокальский Б.Д., Угулава М.М. ЖОХ, 1971, т.41, вып.6, с.1286-1287.
7. Камай Г., Чадаева Н.А. ДАН СССР, 1952, т. 86, N1 с.71-72.
8. Гигаури Р.Д., Докт. дисс., Тбилиси, 1987, 525 с.
9. Моррисон Ф., Бойд Р. Органическая химия. Перевод с англ. М.: Мир, 1974, с. 640-641.
10. Камай Г., Чернокальский Б.Д. Методы синтеза и реакции эфиров кислот мышьяка. В кн.: Реакции и методы исследования органических соединений. М. Химия, 1964, с.3-126.
11. Фрейдлина Ф.Х. Синтетические методы в области металлоорганических соединений мышьяка. Под ред. А.Н.Несменова. М.-Л.: АН СССР, 1945, с.164.

ეთილენგლიკოლდარიშხანოვანი მჟავას ალკილურ ეთერებზე  
ჭიანჭველმჟავას მოქმედება



რ. გიგაური, შ. ინჯია, ჯ. შეტრეველი, გ. მითაიშვილი  
ფ. ჯავახიშვილის სახელობის თბილისის სახელმწიფო უნივერსიტეტი

რეზიუმე

შესწავლილია ჭიანჭველმჟავას მოქმედება ეთილენგლიკოლდარიშხანოვან მჟავას ალკილეთერებზე. ნაჩვენებია, რომ რეაქცია, სავარაუდო მიმართულებასთან შედარებით, ღრმად მიმდინარეობს და სრულდება მაღალ სისუფთავის თეთრი დარიშხანის წარმოქმნით. რეაქციის თანამდგევი პროდუქტები რადიკალის შესაბამისი სპირტებისა და ეთილენგლიკოლის რთული ეთერი ჭიანჭველმჟავასთან მოწოდებულია რეაქციის მიმდინარეობის სააღბათო სქემა.

Interaction of formic acid with alkylesters of ethyleneglycol arsenous acid

R. Gigauri, N. M. Injia, J. Metreveli, G. Mitaishvili

Summary

Interaction of formic acid with alkylesters of ethyleneglycolarsenous acid has been studied. It was established, that reaction proceeds profoundly and ends with formation of white arsenic of high purity. The by-products are: corresponding spirits and glycol esters of formic acid. The probable scheme of this reaction has been proposed.

## О продуктах взаимодействия метилфенилдихлор- и винилтри- хлорсиланов с симметричными эфирами мышьяковистой кислоты

Р. Гигаური, М. Гургендзе, Н. Гигаური, Н. Гургендзе

Тбилисский государственный университет им. Ив. Джавахишвили

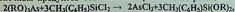
Эфиры мышьяковистой кислоты типа  $(RO)_3As$ , впервые полученные ещё в прошлом веке Крафтом [1] и представляющие в начале только теоретический интерес, за последнее время приобретают всё большее практическое значение. Так, они оказались важнейшими исходными материалами для получения как органических [2-4], так и неорганических соединений мышьяка [5-7], в том числе – особо чистых [8,9]. Высокая реакционная способность и, вытекающее отсюда, разнообразие превращений эфиров мышьяковистой кислоты, как известно [10], обусловлены наличием в них двух реакционных центров: неподелённой  $4S^2$  пары электронов у атома мышьяка и связи  $>As-OR$ . Энергия связи  $O-C$  (79 ккал/мол [11]) значительно превышает энергию связи  $>As-O$  (62,6-66,4 ккал/моль [12]). Кроме того, электроотрицательность мышьяка меньше электроотрицательности тех элементов, которые наиболее часто встречающихся в построении органических соединений. Поэтому, при взаимодействии эфиров мышьяковистой кислоты с химическими реагентами, центральный атом, как правило, образует связь с более электроотрицательной частью (обозначенной в данном случае через X) реагента ZX [10]:



Взаимодействие четырёххлористого кремния с мышьяковистым ангидридом с целью разработки нового, эффективного способа получения трёххлористого мышьяка – исходного материала для получения металлического мышьяка полупроводниковой чистоты – исследовано достаточно подробно [13]. Однако сведения о взаимодействии галогенпроизводных алкенил- и смешанных алкиларилсиланов с симметричными триалкиларсенитами до настоящего времени в литературе отсутствуют. Последние легко получают непосредственным взаимодействием высших спиртов ( $R \geq Bu$ ) с мышьяковистым ангидридом [14], или же обработкой теми же спиртами пирометаллургических отходов производства цветных и благородных металлов [15], что создаёт большие перспективы их практического применения.

Целью данной работы является расширение возможности использования эфиров мышьяковистой кислоты, как исходных материалов для одновременного получения мышьяк- и кремнийсодержащих соединений.

Оказалось, что изменением связи  $>As-OR$ , но сохранением валентности центрального атома, протекает реакция при взаимодействии симметричных эфиров мышьяковистой кислоты с метилфенилдихлорсиланом: в результате получаются трёххлористый мышьяк и метилфенилдиалкоксилсиланы. Образование конечных продуктов объясняется протеканием реакции:



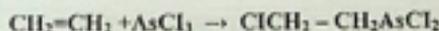
где R-алкил и меняется в широких пределах.

Для рассматриваемой реакции исходные триалкиларсениты и метилфенил-

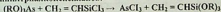
дихлорсилан брались молярным соотношением 2:3, а процесс проводился при комнатной температуре без применения растворителя. Реакция сама заметно экзотермическая.

Выход и некоторые константы основных продуктов реакции приведены в табл. 1 и 2 (примеры 1-4). Из этих таблиц следует, что выход трёххлористого мышьяка меняется в пределах 32-37%, а метилфенилтриалкоксисиланов — в интервале 53-58%. Такая разница в выходах конечных продуктов одной и той же реакции объясняется неполной отгонкой трёххлористого мышьяка из реакционной смеси при атмосферном давлении, тогда как второй продукт реакции выделялся фракционированием под вакуумом. В последнем случае в первую очередь отгоняется оставшийся трёххлористый мышьяк, довольно загрязнённый легкокипящими кремнийсодержащими соединениями, разделение которых связано со многими техническими трудностями. Здесь же следует отметить, что результат реакции не меняется изменением порядка сливания взаимодействующих соединений друг с другом, однако отчётливо зависит от молярного соотношения последних: при увеличении доли исходного дихлорсилана, например, в 2 раза по сравнению со стехиометрией, выход трёххлористого мышьяка увеличивается примерно на 30%. При увеличении доли триалкиларсеита в реакционной смеси также заметно увеличивается выход и метилфенилдиалкоксисиланов, достигая 80%. Этот факт указывает на то, что реакции метилфенилдихлорсилана с эфирами мышьяковистой кислоты обратима.

Трёххлористый мышьяк, как известно [16], способен присоединяться к олефинам. Так, с этиленом он даёт β-хлорэтилдихлорарсени по уравнению [17]:



Учитывая этот факт, сочли целесообразным исследовать взаимное действие винилтрихлорсилана  $\text{CH}_2=\text{CHSiCl}_3$  с эфирами мышьяковистой кислоты. В отличие от взаимодействия последних с метилфенилдихлорсиланом, в этом случае не было исключено получение продуктов присоединения  $\text{Cl}_2\text{As}-\text{CH}_2-\text{CHCl}-\text{SiCl}_3$  или  $\text{Cl}_2\text{As}-\text{CH}_2-\text{CHCl}-\text{Si}(\text{OR})_3$ , которые содержат несколько функциональных групп, и могли бы использоваться для разнообразных превращений. Однако выяснилось, что и при этом, вопреки нашим предположениям, протекает реакция обмена с образованием трёххлористого мышьяка и винилтриалкоксисиланов:



Выход и некоторые физико-химические характеристики полученных соединений приведены в таблицах 1 и 2 (примеры 5-9), из которых явствует, что значения  $d_4^{20}$  и  $n_D^{20}$  (полученных соединений) хорошо согласуются с литературными данными [18].

Что касается амидовых производных метилфенилсилана (соед. № 3, 4, табл. 2), найти литературные сведения о синтезе диамилоксидов — и динорамидоксиметилфенилсиланов нам не удалось. Тщательный физико-химический анализ продуктов реакции показывает, что и они представляют собой диалкоксисиланы, не содержащие мышьяк даже в качестве примеси.

Состав и строение синтезированных соединений установлены по данным элементного анализа и ИК-спектров, а также определением их молекулярной массы.

Экспериментальная часть: взаимодействие метилфенилди-хлорсилана с трихлоридом мышьяка. В колбу Арбузова, тщательно высушенную и заранее пополненную сухим углекислым газом, к 84,0 г (0,40 моль) этилового эфира мышьяковистой кислоты при встряхивании осторожно добавляют 114,6 г (0,60 моль) метилфенилди-хлорсилана. Содержимое колбы постепенно греется до температуры 40-45° С. Для доведения реакции до конца, реакционную массу нагревают до 100° С в течение 1 часа и фракционируют. Собирают фракцию с температурой кипения 126-133° С. При вторичной разгонке получают 26,9г (37,0%) трёххлористого мышьяка с т. кип. 129,5-131,0° С в виде бесцветной жидкости. Найдено, %: As 41,08. AsCl<sub>3</sub>. Вычислено, %: As 41,37. По литературным данным [19]: Т. кип. 130-131,3° С. После отгонки трёххлористого мышьяка, содержимое колбы перегоняют под вакуумом в токе сухого аргона. Получают второй продукт реакции, который оказался метилфенилдиэтилокси-силаном с выходом 53,2% от теоретического. Таким же путём синтезированы и другие кремнийорганические соединения. Загрузки исходных соединений и выход трёххлористого мышьяка приведены в таблице 1, а некоторые физико-химические характеристики полученных диалкокси-силанов - в таблице 2.

Таблица 1. Загрузка исходных соединений и выход трёххлористого мышьяка

Количество исходных веществ							Выход AsCl <sub>3</sub>		
(RO) 3As			R'(R'')SiCl <sub>2</sub>						
R	Г	Моля	R'	R''	Г	Моля	Г	Моля	%
C <sub>2</sub> H <sub>5</sub>	84,0	0,40	CH <sub>3</sub>	C <sub>6</sub> H <sub>5</sub>	114,6	0,60	26,9	0,148	37,0
н-С <sub>4</sub> H <sub>9</sub>	88,2	0,30	CH <sub>3</sub>	C <sub>6</sub> H <sub>5</sub>	85,9	0,45	18,0	0,099	36,8
C <sub>5</sub> H <sub>11</sub>	100,8	0,30	CH <sub>3</sub>	C <sub>6</sub> H <sub>5</sub>	85,9	0,45	18,9	0,103	34,6
н-С <sub>3</sub> H <sub>7</sub>	100,8	0,30	CH <sub>3</sub>	C <sub>6</sub> H <sub>5</sub>	85,9	0,45	15,7	0,086	32,0
C <sub>2</sub> H <sub>5</sub>	84,0	0,40	CH <sub>2</sub> =CH-	Cl	64,6	0,40	17,3	0,095	23,9
C <sub>2</sub> H <sub>7</sub>	100,8	0,40	CH <sub>2</sub> =CH-	Cl	64,6	0,40	18,9	0,104	26,1
C <sub>4</sub> H <sub>9</sub>	88,2	0,30	CH <sub>2</sub> =CH-	Cl	48,4	0,30	13,3	0,073	24,5
н-С <sub>4</sub> H <sub>9</sub>	88,2	0,30	CH <sub>2</sub> =CH-	Cl	48,5	0,30	12,1	0,067	22,2
н-С <sub>3</sub> H <sub>7</sub>	100,8	0,30	CH <sub>2</sub> =CH-	Cl	48,5	0,30	15,2	0,084	27,9

Таблица 2. Некоторые физико-химические характеристики полученных

алкоксисиланов

Соединение	Экспериментальные данные				Литературные данные [18]		
	В ы х %	t кип., °C (рмм)	d <sub>4</sub> <sup>20</sup>	n <sub>D</sub> <sup>25</sup>	t кип., °C (рмм)	d <sub>4</sub> <sup>25</sup>	n <sub>D</sub> <sup>25</sup>
CH <sub>3</sub> (C <sub>4</sub> H <sub>9</sub> )Si(OC <sub>2</sub> H <sub>5</sub> ) <sub>2</sub>	53,2	95 - 97(10)	0,9610	1,4686	75-78 (4)	0,9627 <sup>1</sup>	1,4690 <sup>1</sup>
CH <sub>3</sub> (C <sub>4</sub> H <sub>9</sub> )Si(OC <sub>4</sub> H <sub>9</sub> - изо) <sub>2</sub>	58,0	114-115 (7-8)	0,9255	1,4652	150 (0,5)	---	1,4640
CH <sub>3</sub> (C <sub>4</sub> H <sub>9</sub> )Si(OC <sub>5</sub> H <sub>11</sub> ) <sub>2</sub> <sup>2</sup>	52,7	150153(4-5)	0,9215	1,4679	---	---	---
CH <sub>3</sub> (C <sub>4</sub> H <sub>9</sub> )Si(OC <sub>5</sub> H <sub>11</sub> - изо) <sub>2</sub> <sup>3</sup>	55,9	150-151(6)	0,9341	1,4698	---	---	---
CH <sub>2</sub> =CH Si(OC <sub>2</sub> H <sub>5</sub> ) <sub>3</sub>	41,1	65 - 66(28)	0,9013	1,3958	62,5-63 (20)	0,9027 <sup>1</sup>	1,3960
CH <sub>2</sub> =CH Si(OC <sub>3</sub> H <sub>7</sub> ) <sub>3</sub>	44,8	119-120(25)	0,8897	1,4088	103- -103,5 (20)	0,8903 <sup>1</sup>	1,4088 <sup>1</sup>
CH <sub>2</sub> =CH Si(OC <sub>4</sub> H <sub>9</sub> ) <sub>3</sub>	40,5	110,5 (5)	0,8809	1,4080	120,5 (8)	0,8820	1,4181
CH <sub>2</sub> =CH Si(OC <sub>4</sub> H <sub>9</sub> - изо) <sub>3</sub>	46,6	116-118(8)	0,8716	1,4128	111 (6,5)	0,8718	1,4130 <sup>1</sup>
CH <sub>2</sub> =CH Si(OC <sub>5</sub> H <sub>11</sub> - изо) <sub>3</sub>	39,3	118-119 (2)	0,8732	1,4230	136-13 (6)	0,8738	1,4232 <sup>1</sup>

Примечание: <sup>1</sup> - найдено при 20°C; <sup>2</sup> - Найдено, %: С - 69,03, Н-10,09, Si - 9,47. C<sub>17</sub>H<sub>34</sub>O<sub>2</sub>Si. Вычислено, %: С - 69,39, Н-10,20, Si-9,52; <sup>3</sup> - Найдено, %: С - 69,18; Н10,11, Si-9,39. C<sub>17</sub>H<sub>34</sub>O<sub>2</sub>Si. Вычислено, %: С - 69,39; Н-10,20, Si-9,52.

## Литература:

1. Crafts M. J. // *Compt. rend.* 1867. V. 64. P. 700-708.
2. Камай Г., Хисамова З. Л. // *ЖОХ.* 1956. Т. 26. Вып. 1, с. 126-129.
3. Камай Г. Х., Гигаури Р. Д., Чернокальский Б. Д., Угулава М. М. // *ЖОХ.* 1971. Т. 41. Вып. 7, с. 1506-1508.
4. Камай Г., Хисамова З. Л. // *ЖОХ.* 1971. Т. 41. Вып. 7, с. 3611-3614.
5. Кузьмин К. И. // *ЖОХ.* 1954. Т. 24. Вып. 7, с. 1203-1205.
6. Гигаури Р. И., Гвахария В. Г., Долидзе Л. Д., Гургенидзе Н. И., Гигаури Р. Д. // *Сообщ. АН ГССР. Сер. Хим.* 1991. Т. 143. №3, с. 265-272.
7. Гигаури Р. Д., Гулашвили И. И., Сагардзе П. Ш. // *Высококачественные вещества.* 1989. №6. с. 81-83.
8. Чавчакидзе Н. Г. Новые возможности очистки и превращения белого мышьяка.

## მეთილფენილდიქლორ- და ვინილტრიქლორსილანების დარიშხანოვანი შეჯავას სიმეტრიულ ეთერებთან ურთიერთქმედების პროდუქტების შესახებ

რ. გიგაური, მ. გურგენიძე, ნ. გიგაური, ნ. გურგენიძე  
ივ. ჯავახიშვილის სახელობის თბილისის სახელმწიფო უნივერსიტეტი  
რეზიუმე

შესწავლილია მეთილფენილდიქლორ- და ვინილტრიქლორსილანების ურთიერთქმედება დარიშხანოვანი შეჯავას სიმეტრიულ ეთერებთან. ნაპვენებია, რომ ამ დროს მიმდინარეობს მიმოცვლის რეაქცია  $AsCl_3$ -ის და შესაბამისი ალკოქსისილანების წარმოქმნით.

## About the products of interaction of methylpenyildichlor- and vynytrichlorsilanes with symmetric esters of arsenous acid

R. Gigauri, M. Gurgenidze, N. Gigauri, N. Gurgenidze

### Summary

The interaction of  $(RO)_2As$  with  $CH_3(C_6H_5)SiCl_2$  and  $CH_2=CHSiCl_3$  was studied. It was shown, that the reaction of exchange takes place, with formation of  $AsCl_3$ ,  $CH_3(C_6H_5)Si(OR)_2$  and  $CH_2=CHSi(OR)_3$ , where:  $R=C_2H_5$ ;  $C_4H_9$ ; *iso*- $C_4H_9$ ,  $C_5H_{11}$ , *iso*- $C_5H_{11}$ . The yield of  $AsCl_3$  was in the range 22-37%,  $CH_3(C_6H_5)Si(OR)_2$  - 52-56%,  $CH_2=CHSi(OR)_3$  - 39-47%. Other physical-chemical characteristics of obtained compound are in good agreement with literature data.



## Ферроценосодержащие моно- и бис-винилацетиленовые спирты – новые эффективные катализаторы горения и пластификаторы специального назначения. Сообщение I.

Э. Гигинешвили, Л. Асатиანი, А. Панджикидзе  
Тбилисский государственный университет им. Ив. Джавахишвили

В качестве катализаторов горения специального назначения, в частности, смесевых твердых ракетных топлив – СТРТ, наряду с другими производными ферроцена широкое применение находят и ферроцилкарбинолы. Они, обладая такими свойствами, как термическая стабильность, низкая токсичность, хорошая растворимость в органических растворителях, промотирование почти бездымного горения органических соединений, являются ценными добавками почти ко всем видам топлива (газовых, жидких, твердых).

С другой стороны, бурное развитие современной ракетной техники поставило требования к ракетным топливам.

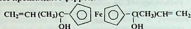
Как известно, энергетические характеристики твердого топлива (ТРТ) определяются термодинамическими свойствами компонентов и продуктов горения. Они могут быть улучшены, с одной стороны, применением новых высокоактивных основных компонентов-окислителей и связующих, и с другой стороны, введением в ТРТ относительно малых количества добавок (катализаторов, отвердителей и т.д.), существенно изменяющих характеристики многокомпонентных систем [1].

При рассмотрении литературных данных намечаются два направления для усовершенствования металлорганических добавок, как катализаторов горения СТРТ – понижение склонности добавок к миграции и сублимации из заряда и стремление получить добавки многофункционального действия, которые не только будут повышать скорость горения, но и улучшать другие свойства СТРТ.

Одним из широко применяемых металлорганических катализаторов горения ТРТ, как известно, является *n*-бутилферроцен. Многочисленные исследования, проводимые в этом направлении, выявили множество других производных ферроцена, которые превосходят своей каталитической эффективностью *n*-бутилферроцен. Среди них отличаются предельные и непредельные карбинолы ферроценового ряда [2-7]. Например, циклопентадиенил [2-(1-оксиптил)циклопентадиенил] проявляет не только каталитические свойства наравне *n*-бутилферроценом, но и прочно удерживается в составе заряда [4].

В работе [3] рассматривается целый ряд производных ферроцена, в том числе содержащие группировку  $\text{CH}(\text{OH})\text{R}$ , которые рекомендуются в качестве пластификаторов и горючесвязующих компонентов топлива. Они обеспечивают совместимость ферроценового катализатора (*n*-бутилферроцена) с компонентами ТРТ, увеличивая скорость горения на 42-119% по сравнению с топливами без Кт. Вместе с тем значительно улучшаются баллистические свойства и стабильность зарядов ТРТ.

В работе [5] в качестве катализатора ТРТ предложено жидкое бифункциональное производное ферроцена:



Заряды СТРТ, содержащие 8% этого вещества, отличались от ТРТ, содержащих 5% *n*-бутилферроцена, отсутствием миграции катализатора и меньшей летучестью.

Из вышесказанного очевидно, что для применения в качестве катализатора СТРТ желательно синтезировать такие производные ферроцена, которые будут содержать в молекуле несколько типов активных групп одновременно.

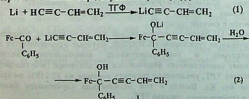
Таким образом, синтез аналогичных систем является самым эффективным способом регулирования характеристик СТРТ.

В лаборатории кафедры химии элементоорганических соединений Тбилисского государственного университета созданы новые эффективные катализаторы горения и пластификаторы СТРТ-ферроценовые моно- и бисвинилацетиленовые спирты – ФК-1Г и ФК-2Г, которые по своей каталитической эффективности значительно превосходят общезвестный катализатор-пластификатор-диэтилферроцен (ДЭФ) [8-9].

Для осуществления синтеза этих катализаторов нами было изучено взаимодействие моно- и дибензилферроцена с металлпроизводными винилацетилена.

Как известно [10-16], самым удобным методом для получения третичных винилацетиленовых спиртов алифатического и ароматического рядов является взаимодействие магнийбромвинилацетилен на соответствующие кетоны, однако, применяя этот метод, нам не удалось получить соответствующие спирты, т.к. магнийбромвинилацетилен не взаимодействует с бензилферроценом. Обнаружено влияние изменения природы растворителя, температуры и соотношения реагентов. Для предотвращения стерических препятствий у основного реакционного центра, винилацетиленил-магнийбромид заменили винилацетиленидом лития, который, как известно, более активен в реакциях с пространственно затрудненными карбонильными соединениями. Винилацетиленид лития, как и следовало ожидать, хорошо вступил в реакцию с бензилферроценом, и соответствующий винилацетиленовый спирт-1-ферроцил-1-фенил-1-оксипентин-4-ен (ФК-1Г) – получили практически с количественным выходом (95%).

Следует отметить, что винилацетиленид лития приготавливали упрощенным методом – исключили из процесса первую стадию – получение бутиллития, и таким образом двухстадийный процесс получения винилацетиленид лития довели до одностадийного. В частности винилацетиленид лития получали прямым взаимодействием винилацетилена на мелкопарезанный литий в среде сухого тетрагидрофурана:

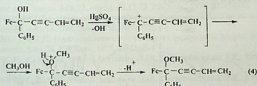
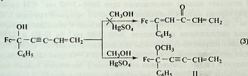


Разработанный нами метод является удобным не только с препаративной, но и с технологической точки зрения, т.к. установка для получения ферроценсодержащего винилацетиленового спирта является простым, а сам процесс, как уже отмечалось, двухстадийным, непрерывным, безотходным и экологически чистым, не требующим дефицитных, дорогих исходных веществ.

Следует отметить, что указанная реакция была проведена и с винилацетиленидом натрия, однако, в этом случае выход целевого продукта уменьшается, т.к. в этих условиях происходит частичная полимеризация винилацетилена.

Нами была также изучена реакционная способность полученного винилацетиленового спирта - (ФК-1Г). Исследовалась его анионотропная перегруппировка в различных условиях.

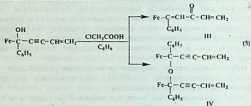
Было установлено, что в случае спирта I (а также в в случае других спиртов), в отличие от легкой изомеризации третичных винилацетиленкарбинолов в дивинилкетоны (под влиянием солей ртути в растворе метанола) [10-16], реакция идет аномально; в частности, имеет место не процесс анионотропной перегруппировки, а метилирование гидроксильной группы. В результате, количественным выходом образуется соответствующий простой эфир:



Такое аномальное направление реакции нами объясняется следующим образом: на первой стадии реакции происходит отщепление гидроксильной группы и у соседнего углеродного атома ферроценового ядра образуется карбкатион. Ферроценовое ядро, которое является сильным электронодонором [17-20], хорошо стабилизирует [21-32] указанный карбкатион и поэтому не происходит его изомеризация в карбкатион алленового типа (как в случае соседних алифатических и ароматических заместителей); он стабилизируется атакой с нуклеофильным центром растворителя, что приводит к образованию оксониевого иона; депротонированием последнего получается простой эфир.

Для изменения направления процесса перегруппировки были опробованы растворители другого типа, в частности, не содержащие нуклеофильные центры (напр. бензол). Однако в этом случае катализатор  $\text{HgSO}_4$  оказался непригодным. В качестве катализаторов мы опробовали ряд соединений: 10%  $\text{H}_2\text{SO}_4$ . Ледяную уксусную к-ту.  $\text{ClCH}_2\text{COOH}$  и  $\text{Cl}_3\text{CCOOH}$ . Из них наиболее оптимальной оказалась монохлоруксусная к-та. В этих условиях из продуктов реакции выделяли

два вещества — из них основным является непредельный кетон-III (выход 60%) и с незначительным количеством — продукт межмолекулярной дегидратации-IV. Часть реакционной массы осмолется:



Состав и строение полученных продуктов было доказано данными элементного анализа и инфракрасной спектроскопии. В ИК-спектре I-го (ФК-1Г) (рис. 1) имеются характерные полосы поглощения в областях  $1610 \text{ см}^{-1}$  ( $\nu\text{C}=\text{C}$ );  $2225 \text{ см}^{-1}$  ( $\nu\text{C}\equiv\text{C}$ ),  $3110 \text{ см}^{-1}$  ( $\nu\text{C}-\text{H}$  ферроцена) и  $3200-3100 \text{ см}^{-1}$  ( $\nu\text{O}-\text{H}$ ). В ИК-спектре II исчезает полоса поглощения при  $3600-3900 \text{ см}^{-1}$  OH группы и появляется характерная полоса поглощения простой эфирной группы C-O-C в области  $1080 \text{ см}^{-1}$ . В ИК-спектре соед. III по сравнению с исходным спиртом I, исчезают полосы поглощения в областях  $3600-3900 \text{ см}^{-1}$  ( $\nu\text{O}-\text{H}$ ) и  $2225 \text{ см}^{-1}$  ( $\nu\text{C}\equiv\text{C}$ ) и возникают интенсивные полосы поглощения в областях  $1650, 1750 \text{ см}^{-1}$ , характерные для сопряженной группировки C=CH-C=O (рис. 2), тогда как в ИК-спектре продукта IV по сравнению со спиртом I исчезают только полосы поглощения в области  $3650-3900 \text{ см}^{-1}$ , характерная для группы O-H и возникает новая полоса при  $1970 \text{ см}^{-1}$  ( $\nu_{\text{as}}$ ).

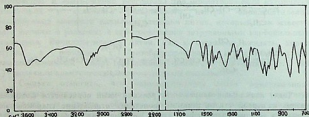


Рис. 1.

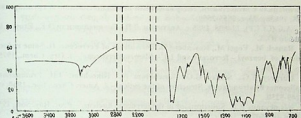


Рис. 2.

*Литература:*

1. Асин М.В. – В кн.: Ракетные топлива. М., Мир, 1975.
2. Перепадова Э.Г., Решетова М.Д., Грандберг К.И. Методы элементо-органической химии. Железоорганические соединения. Ферроцен. Изд. «Наука», М., 1983, с. 544.
3. Пат. США 4023994. Твердое ракетное топливо с ферроценосодержащим пластификатором. Аренделл В.Ф. Заявл. 9.09.63, опубл. 17.05.77. РЖХим., 1978, 2П216П.
4. Пат. США 3447981. Твердое ракетное топливо и метод регулирования скорости его горения с использованием производных ферроцена. Селле Д.С. Заявл. 1.11.62, опубл. 3.06.69. РЖХим., 1970, 12П370П.
5. Пат. США 3781179. Смесовые твердые ракетные топлива с бифункциональной добавкой – отвердителем и модификатором баллистических свойств. Гаскина С.В., Томас А.Д. Заявл. 4.08.72, опубл. 25.12.73. РЖХим., 1974, 23П338П.
6. Пат. США 3770786. Ферроценилоксидбутены. Гаскина С.В., Томас А.Д. Заявл. 29.03.71, опубл. 6.11.73. ОЖХим., 1974, 21П277П.
7. Пат. США 3968127. Приготовление производных ферроцена. Морис В.П. Заявл. 22.03.74, опубл. 6.07.76. РЖХим., 1977, 21П216П.
8. А.С.(СССР), С, 198554, 1984 г. Асатиани Л.П., Гигинейшвили Э.Е., Егоров Н.К., Мазалов Ю.А.
9. А.С.(СССР), С; 214674, 1985 г. Асатиани Л.П., Гигинейшвили Э.Е., Егоров Н.К., Мазалов Ю.А.
10. Назаров И.Н. Избранные труды. Изд. АН СССР. Москва, 1961, с. 690.
11. Назаров И.Н. Конденсация винил- и изопропенилацетилена с кетонами в винилэтинилкарбинолы – Изв. АН СССР, ОМОН, Сер. хим., 1938, с. 683-694.
12. Назаров И.Н. Химия винилэтинилкарбинолов – Усп. химии, 1945, т. 14, с. 3-41.
13. Назаров И.Н. Успехи органического синтеза на основе ацетилен – Усп. химии, т. 20, с. 309-335.
14. Назаров И.Н., Котляровский И.Л. Производные ацетилен. 69. Превращение метилфенилвинилэтинилкарбинола – ЖОХ, 1948, т. 18, с. 903-910.
15. Назаров И.Н., Котляровский И.Л. Производные ацетилен. 70. Механизм гидратации и циклизации диенинов. XIV. Гидратация и циклизация 5-фенил-1,5-гептадиен-3-ина. – ЖОХ, 1948, т. 18, с. 911-916.
16. Richards S.H., Hill E.A.  $\alpha$ -metallocenyl Carbonium Ions. – J. Amer. Chem. Soc., 81, 1959, 3484-3485.
17. (93,228) – Чистоклетов В.Н., Трошенко А.Т., Петрова А.А. Присоединение оксибензонитрила к ненасыщенным соединениям. IV. Конденсация окси-

бензонитрила с веществами, содержащими винилацетиленовую группировку. – ЖОХ, 1963, т. 33, с. 2555-2559.

18. А.С.(СССР), 224808. 1985 г. Асатиани Л.П., Гигинейшвили Э.Е., Егоров И.К., Мазалов Ю.А.

19. Rausch M., Vogel M., Rosenberg H. Derivations of Ferrocene. II. Some reduction products of benzoyl-ferrocene and 1,1'-dibenzoylferrocene – J. Org. Chem., 1975, v. 22, p. 903-906.

20. Curprey T.G., Santer G.O., Rosenblum M., Rinechand J.H. Protonation of metallocenes by strong acids. Structure of the cation – J. Amer. Chem. Soc., 1960, v. 82, p. 5249-5250.

21. Nesmeyanov A.N. Substitutions in the ferrocene nucleus. – Proc. Roy. Soc., 1958, v. 246A, p. 495-503.

22. Nesmeyanov A.N., Perevalova E.G., Gubin S.P., Grandberg K.I., Koslovskii A.C. Electronic properties of the Ferrocenyl As a Substituent. – Tetrahedron Lett., 1966, p. 2381-2387.

23. Paursson P.L., Morrison I.G. Displacement of Ferrocene Substituents by Protons. – Proc. Chem. Soc., 1962, p. 177.

24. Несменяев А.Н., Анисимов К.Н., Колобова Н.Е., Магомедов Г.К. Аниоцентричная перегруппировка третичных  $\alpha$ -ацетиленовых спиртов циклопентадиенилмарганецтрикарбонила. – ЖОРХ, 1967, с. 1149-1153.

25. Miller S.A., Tebboth I.A., Tremain J.F., Dicyclopentadienyliron. – J.Chem. Soc., 1952, p. 632-635.

26. Hill E.A., Richards T.H. Carbonium-ion stabilization by metallocene nuclei II.  $\alpha$ -Metalloacenylcarbonium ions. – J. Amer. Chem. Soc., 1961, v. 83, p. 3840-3846.

27. Cais M.E., Eisenstandt A. Organometallic studies. X. Reductive dimerisation of  $\alpha$ -Metalloacenylcarbonium ions. – J. Org. Chem., 1965, v. 30, p. 1148-1154.

28. Cais M.E., Dannerberg T.T., Eisenstandt A., Levenberg M.I., Richards T.H. Nuclear magnetic Resonance Spectra of Ferrocenyl Carbonium ions. – Tetrahedron Lett., 1966, p. 1695-1701.



**ფეროცენის რიგის მონო- და ბისვინილაცეტილენური  
კარბინოლები – სპეციალური დანიშნულების ახალი ვეპატური  
კატალიზატორები. შეტყობინება I**

ე. გიგინეიშვილი, ლ. ასათიანი, ა. ფანჯიკიძე  
ივ. ჯავახიშვილის სახელობის თბილისის სახელმწიფო უნივერსიტეტი

შესწავლილია ბენზოილფეროცენის ურთიერთქმედება ლითიუმის ენილაცეტილენიდთან. გამოყოფილია ფეროცენის რიგის მონოვინილაცეტოლენური სპირტი FK-1G. შემუშავებულია აღნიშნული ტიპის სპირტების სინთეზის მოხერხებული, პრეპარატიული და ტექნოლოგიური მეთოდი; შესწავლილია სინთეზირებული სპირტის ანიონტროპული გადაჯგუფების რეაქცია სხვადასხვა პირობებში; დადგენილია, რომ შეთანხმების არეში კატალიზატორის ( $HgSO_4$ ) თანდასწრებით რეაქცია მიდის ანომალური მიმართულებით და გადაჯგუფების პროდუქტის ნაცვლად მიიღება აღებული სპირტის მეთილის ეთერი. არაპოლარულ გამხსნელებში (ბენზოლი) იმავე კატალიზატორის თანდასწრებით რეაქცია საერთოდ არ მიდის, ხოლო მონოქლორმარმეაქვას თანაობისას რეაქცია წარიმართება ორი მიმართულებით – ხდება როგორც შიდამოლეკულური გადაჯგუფება, ისე აღებული სპირტის მოლეკულათაშორისი გადაჯგუფება. მიღებულ ნივთიერებათა აგებულება დადგენილია კვლევის ფიზიკური და ქიმიური მეთოდებით.

**Mono- and bisvinylacetylenic Carbinols of Ferrocene Series- new  
affective Catalysts of Special Appointment, study I**

E. Gigineishvili, L. Asatiani, A. Panjikidze  
I. Javakhishvili Tbilisi State University

**Summary**

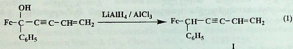
The interaction of benzylferrocene with lithium vinylacetylene was investigated. Monovinylacetylenic carbinol FK-1G of ferricene series was isolated. Technologic and preparative method of synthesis of these carbinols was elaborated. Anionotropic rearrangement of synthesized, carbinols was studied under different conditions; It has been established that in the presence of  $HgSO_4$  in methanol solution the reaction proceeds anomalously and results in formation of methyl ether; it turned out, that in a nonpolar solvent (benzene) in the presence of  $HgSO_4$  the reaction does not take place, while in the case of  $ClCH_2COOH$  take place two processes – an anionotropic rearrangement and inter-molecular dehydration. The structures of obtained compounds were established by physical and chemical methods of investigation.

**Ферроценосодержащие моно- и бисвинилацетиленовые спирты – новые эффективные катализаторы горения и пластификаторы специального назначения. Сообщение 2.**

Э. Гигინешвили, Л. Асатиანი, А. Панджикидзе

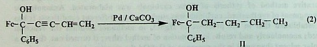
Тбилисский государственный университет им. Ив. Джавахишвили

В сообщении 1 нами рассмотрен синтез ферроценосодержащего моновинилацетиленового спирта FK-1Г и изучена реакция анионотропной перегруппировки с его участием. В настоящей работе приведены результаты исследования некоторых других химических превращений спирта FK-1Г, в частности, его восстановление комплексом  $\text{LiAlH}_4/\text{AlCl}_3$  [1]. Реакция протекает быстро, заканчивается сразу же после добавления спирта I, и соответствующий этому соединению – ферроценосодержащий винилацетиленовый углеводород – V, получается с количественным выходом:



Такой быстрый ход реакции нами объясняется сильным электронодонорным свойством ферроценового ядра [2], и хорошей стабилизацией им соседнего катионного центра, вследствие чего гидроксильная группа у соседнего углеродного атома ферроценового ядра проявляет достаточно высокую подвижность.

Были также изучены реакции каталитического гидрирования спирта I в этаноле в присутствии катализатора  $\text{Pd}/\text{CaCO}_3$  (схема 2) и катализатора Линдлара (схема 3):



Было установлено, что в присутствии  $\text{Pd}/\text{CaCO}_3$  гидрирование протекает селективно – присоединение одного моля водорода происходит довольно быстро, а затем реакция резко замедляется, образуется соответствующий этому соединению ферроценосодержащий предельный спирт-II, а в присутствии катализатора Линдлара происходит присоединение только одного моля водорода по тройной связи и получается соответствующий ферроценосодержащий диеновый спиртIII:



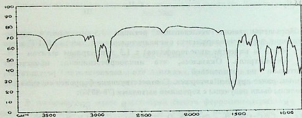


Рис. 2.

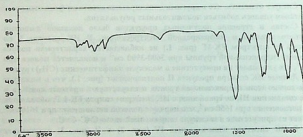


Рис. 3.

*Литература:*

1. Перевалова Э.Г., Решетова М.Д., Грандберг К.И. Методы элементо-органической химии. Железоорганические соединения. Ферроцен. Изд. «Наука», М., 1983, с. 544.
2. Nesmeyanov A.N. Substitutions into the ferrocene nucleus. – Proc. Roy. Soc., 1958, v. 246A, p. 495-503.

# ფეროცენის რიგის მონო- და ბისვინილაკეტილენური სპირტები სპეციალური დანიშნულების ახალი ეფექტური კატალიზატორები. შეტყობინება 2

ე. გიგინეიშვილი, ლ. ასათიანი, ა. ფანჯიკიძე  
ივ. ჯავახიშვილის სახ. თბილისის სახელმწიფო უნივერსიტეტი

შესწავლილია ფეროცენსმცველი ეთილაცეტილენური სპირტის FK-1G აღდგენის რეაქცია კომპლექსით  $LiAlH_4/AlCl_3$  აგრეთვე კატალიზური ჰიდრირების რეაქციები  $Pd/CaCO_3$  და ლიდლარის კატალიზატორების გამოყენებით. მიღებულია შესაბამისი პროდუქტები.

ახალი ფეროცენსმცველი პეტეროციკლური ნაერთების მისაღებად, გამოკვლეულია სინთეზირებული სპირტისა-FK-1G და მისი მარტივი ფთერის 1,3-დიპოლარული ციკლომთერთების რეაქციები დიპოლარული აგენტებით - ბენზონიტრილის N-ოქსიდით, ფენილაზიდით და დიაზომეთანით. დადებითი შედეგი მიღებულია მხოლოდ ბენზონიტრილის N-ოქსიდის შემთხვევაში და გამოყოფილია შესაბამისი იზოქსაზოლინები. მიღებულ ნივთიერებათა აგებულება დადგენილია კვლევის ფიზიკური და ქიმიური მეთოდებით.

## Mono- and bisvinylacetylenic Carbinols of Ferricene Series- new affective Catalysts of Special Appointment, study II

E. Gigineishvili, L. Asatiani, A. Panjikidze  
I. Javakhishvili Tbilisi State University

### Summary

Some transformations were study of ferrocenecontaining monovinylacetylene carbinol-FK-1G - the reduction reaction with the complex  $LiAlH_4/AlCl_3$ ; the reactions of catalytic hydrogenation on  $Pd/CaCO_3$  and on Lidllar's catalyst. Corresponding products were obtained.

For the preparation of new ferrocene-containing heterocyclic compounds the reactions of 1,3-dipolar cycloadditions of synthesized carbinol-FK-1G and its ethers with dipolar agent - N-oxide of benzqnitrile, penylazine and diazomethane were investigated. The positive result was received only in a case of N-oxide of benzonitrile and corresponding products were isolated. The structures of obtained compounds were established by physical and chemical methods of analysis.



### ოთხნაწევრული არსონიუმის შემცველი კადმიუმის შერეულღიგანდიანი აციდოკომპლექსები

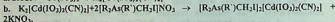
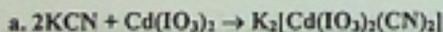
თ. ლობჯანიძე

ივ. ჯავახიშვილის სახელობის თბილისის სახელმწიფო უნივერსიტეტი

ელემენტორგანულ ღიგანდებიანი კოორდინაციული ნაერთების ინტენსიური კვლევა გასული საუკუნის 70-იანი წლებიდან იწყება [1]. ლიტერატურიდან ცნობილია, რომ ბიოაქტიურ ნაერთებს შორის, პრაქტიკული თვალსაზრისით, განსაკუთრებულ ყურადღებას იმსახურებენ დარიშხანორგანული პოლიფუნქციური ნაერთები [2]. ამ ტიპის ნაერთებს შორის უდავოდ გამოირჩეულია დარიშხანშემცველი კოორდინაციული ნაერთები [2].

ჩვენს მიზანს შეადგენდა მიგველო და შეგვესწავლა ჭიმოურად სუფთა კადმიუმის ციანიდური კომპლექსები დარიშხანშემცველი კატიონებით. საწყის ნივთიერებებად ავიღეთ ტუტე მეტალები, კერძოდ, კადმიუმის კადმიუმიოდატციანიდური კომპლექსნაერთი -  $K_2[Cd(IO_3)_2(CN)_2]$  და  $[R_2As(R')CH_2I]NO_3$ , რომლებიც მიღებულ იქნა ლიტერატურაში აღწერილი მეთოდით [3]. რვაჯვარი ვატარებდით სპირტწყალხსნარში, KCN-ის სიჭარბისას (იხ. ექსპერიმენტული ნაწილი). რვაჯვარის შედეგად წარმოიქმნება თეთრი ფერის კრისტალური ნივთიერებები, რომლებიც არ იხსნებიან წყალში, სპირტსა და ბენზოლში, მაგრამ შედარებით უკეთ იხსნებიან დიმეთილფორმამიხსნა და აცეტონში.

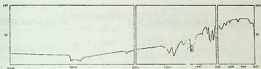
დასინთეზებული ნაერთების ანალიზის საფუძველზე შეიძლება ვთვარაუდოთ, რომ ერთდროულად იოდატ- და ფსევდოპალიოგენიდური ჯგუფების შემცველი აციდოკომპლექსების სინთეზი შესაძლებელია განხორციელდეს შემდეგი თანმიმდევრულ რეაქციათა ერთობლივი ნატარებით [3]:



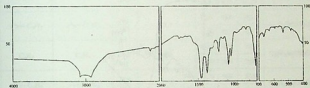
სადაც R და R' სხვადასხვა ორგანული რადიკალებია; ამასთან, R=R' ან R≠R'

(ცხრ. 1).

მიღებული ნაერთების იწ სპექტრების მონაცემების საფუძველზე დადგინდ იქნა დასინთეზებული კომპლექსების ჭიმოური აღნაგობა (ნახ. 1). იწ სპექტრებში შეინიშნება შთანთქმის ზოლები 430სმ<sup>-1</sup>, 520სმ<sup>-1</sup> უბნებში, რომლებიც, შესაბამისად, ν(MC) და δ(MCN) ბმებისთვის არის დამახასიათებელი. ბმებს - As-C<sub>არმ</sub> და As-C<sub>ალოფ</sub> - შეესაბამება შთანთქმის ზოლები 470 და 640 სმ<sup>-1</sup> უბნები. კოორდინირებული CN ჯგუფისათვის დამახასიათებელი შთანთქმის ზოლი [ν(CN)] შეინიშნება სპექტრის 2170სმ<sup>-1</sup> უბანში, ხოლო იოდატიონების შთანთქმის ზოლი - 730-740სმ<sup>-1</sup> უბანში.



ა

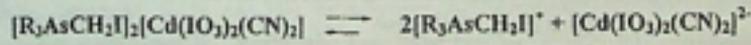


ბ

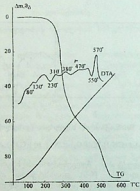
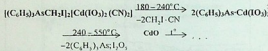
ნახ. 1. შთანთქმის იწ სპექტრები (ვაზულინის ზეობა):

ა)  $[R_3AsCH_2I]_2[Cd(IO_3)_2(CN)_2]$ ; ბ)  $[(C_6H_5)_3AsCH_2I]_2[Cd(IO_3)_2(CN)_2]$ .

მიღებული პროდუქტების შედგენილობა-აღნაგობა, გარდა სპექტრული და ელემენტური ანალიზისა [4-6], დადასტურდა აგრეთვე კვლევის სხვა ფიზიკურ-ქიმიური მეთოდებითაც. კერძოდ, საკვლევი ნიმუშების იონური ბუნება დადგენილ იქნა მათი ხსნარების (დიმეთილფორმადში) მთლიანი ელექტროგამტარობის ( $\mu$ ) გაზომვით, რომლის შედეგები მოცემულია ცხრილში 2. როგორც ამ ცხრილიდან ჩანს, იოდმეთილენტრიალკილ-(არილ)არსონიუმის დიოდატოდიციანოკადმიატების(II)  $\mu$  მერყეობს 91-104 ომი<sup>2</sup>-სმ<sup>2</sup>-მოლი<sup>-1</sup>-ის ფარგლებში [7]. ეს მონაცემები შესაძლებლობას იძლევა დავასკვნათ, რომ დასინთეზებული ნიეთიერებები წარმოადგენენ სამიონიან ელექტროლიტებს, რომლებიც დიმეთილფორმამიდში გახსნისას დისოცირდებიან შემდეგი სქემის შესაბამისად:



ჩატარებულ იქნა დასინთეზებულ ნიეთიერებათა დერივატოგრაფიული გამოკვლევა. როგორც დერივატოგრაშიდან (ნახ. 2) ჩანს, იოდმეთილენტრიფენილარსონიუმის დიოდატოდიციანოკადმიატის მასის კლება 180-240°C-ის ინტერვალში შეადგენს 23,62%-ს. როგორც ჩანს, ამ ტემპერატურულ ინტერვალში ხდება ორი მოლი  $CH_3I(CN)$ -ის მოცილება (თეორიული-23,71%). 240-550°C - ინტერვალში კი მასის კლება შეადგენს 67,34%, რაც საშუალებას გვაძლევს ვივარაუდოთ, რომ ადგილი აქვს  $C_6H_5)_3As$  და  $I_2O_5$ -ის მოცილებას (თეორიული - 67,16%). მიღებული კოორდინაციული ნაერთის თერმული დაშლა შემდეგი ხავარაუდო სქემით შეიძლება წარმოვადგინოთ [3]:



ნახ. 2.  $[(C_6H_5)_2AsCH_2I]_2[Cd(IO_3)_2(CN)_2]$ -ის თერმოგრამა.

ცხრილი 1. ოთხნაწევრებული არსონიუმის დიციანოდიოდატოკადმიტების(II) მისაღებად გამოსავალ ნივთიერებათა ჩატურთვა და შინსობრივი პროდუქტების გამოსავლიანობა

№	სარეაქციოდ აღებულია						მიღებულია	
	$[R_2As(R')CH_2I]$		$AgNO_3$	$Cd(IO_3)_2$	$KCN$	$[R_2As(R')CH_2I]_2[Cd(IO_3)_2(CN)_2]$		
	R	R'	მოლი	მოლი	მოლი	მოლი	%	
1	$C_6H_5$	$C_6H_5$	0,0031	0,0031	0,00155	0,0031	0,0014	90,1
2	იზო- $C_6H_7$	იზო- $C_6H_7$	0,0031	0,0031	0,00155	0,0031	0,0013	86,3
3	$C_6H_5$	$C_6H_5$	0,0037	0,0037	0,00185	0,0037	0,0016	87,5
4	იზო- $C_6H_7$	იზო- $C_6H_7$	0,0038	0,0038	0,0019	0,0038	0,00164	84,3
5	$C_6H_5$	$C_6H_5$	0,0043	0,0043	0,00215	0,0043	0,0017	82,1

№	$[R_3As(R')CH_2]_2[Cd(IO_3)_2(CN)_2]$		$T_{\text{ფლ}}^{\text{მ}}, ^\circ\text{C}$	$\mu$ , მოლეკული ვეგამ-ტარობა, $\text{cm}^3\text{მ}^{-3}\text{მოლ}^{-1}$	ნაპონია, %			ბრუტო - ფორმულა
	R	R'			გამოთვლ. %			
					As	Cd	I	
1	$C_2H_5$	$C_2H_5$	187-188	103,5	12,13	9,12	41,86	$C_{22}H_{40}As_2CdI_6O_{24}N_4$
					12,45	9,33	42,17	
2	იზო- $C_3H_7$	იზო- $C_3H_7$	181-182	95,7	12,34	9,08	42,01	$C_{24}H_{44}As_2CdI_6O_{24}N_4$
					12,45	9,33	42,17	
3	$C_6H_5$	$C_6H_5$	4546	96,2	11,42	8,89	37,34	$C_{22}H_{26}As_2CdI_6O_{24}N_4$
					11,29	8,46	38,24	
4	იზო- $C_6H_5$	იზო- $C_6H_5$	113-114	92,5	11,76	9,01	39,25	$C_{24}H_{34}As_2CdI_6O_{24}N_4$
					11,64	8,72	39,42	
5	$C_6H_5$	$C_6H_5$	95-96	91,1	10,39	7,68	36,22	$C_{22}H_{26}As_2CdI_6O_{24}N_4$
					10,65	7,98	36,06	

ექსპერიმენტული ნაწილი:

*იოდმეთილენტრიბუთილარსონიუმის დიციანოდიოდატოკადმიატ(II)-ის სინთეზი:* 0,66გ (0,0038 მოლი) ვერცხლის(II) ნიტრატის წყალხსნარს ამატებენ მუდმივი მორევის პირობებში 50 მლ ეთილის სპირტში გახხნილ იოდმეთილენტრიბუთილარსონიუმის იოდიდს, შეხვევ წარმოიქმნება ყვითელი ფერის ნალექი, რომელსაც ფილტრავენ. პარალელურად ამზადებენ 0,89გ (0,0019 მოლი) კადმიუმის იოდატისა(V) და 0,25გ (0,0038) კალუმის ციანიდის წყალხსნარს, რომელსაც ემატება იოდმეთილენტრიბუთილარსონიუმის ნიტრატის სპირტხსნარი, შერვესთანავე წარმოიქმნება თეთრი ფერის კრისტალური ნივთიერება. ნალექს ფილტრავენ, რეცხავენ გამოსხივლი წყლით, სპირტით და აშრობენ ფოსფორის პენტაოქსიდიან ვაკუუმ-ექსიკატორში მუდმივი მასის მიღებამდე. მიიღება 2,11გ (84,3%) იოდმეთილენტრიბუთილარსონიუმის დიციანოდიოდატოკადმიატ(II), რომლის  $T_{\text{ფლ}}^{\text{მ}} = 113-114^\circ\text{C}$ . ანალიზის შედეგად ნაპონია, %: As 11,76; Hg 39,35; Cd 9,01;  $C_{24}H_{34}As_2CdI_6O_{24}N_4$ . გამოთვლილია, %: As 11,64; Hg 39,42; Cd 8,72.

ასეთივე ხერხით არის მიღებული დანარჩენი ოთხნაწევრებული არსონიუმის დიციანოდიოდატოკადმიატები(II). გამოსავალ ნივთიერებათა ჩატვირთვა და მიზნობრივი პროდუქტების გამოსავლიანობა მოცემულია ცხრილში 1, ხოლო დასინთეზებულ ნივთიერებათა ფიზიკურ-ქიმიური კონსტანტები-ცხრილში 2.

ავტორი მადლობას უხდის პროფესორ რ. გიგაურს სამუშაოს ბელმზესაგლობისათვის.

ლიტერატურა:

1. Химия псевдогалогенидов. Под редакцией Голубя А.М., Келлера Х.А., Скопенко В.В. Перевод с немецкого, Киев, "Выща школа", 1981.
2. Лобжанидзе Т. Э., Гигаური Р. Д., Русия М. Ш. Синтез и исследование тетра-

- подкадматоводметилентриалкил(арил)арсониев. GEN, 2002, №3, с. 116-120.
3. ლობჯანიძე თ. ვ. იოდმეთილენტრიალკილ(არბილ)არსონიუმის თეოდვებში აბონის მიმოცვლა არაორგანული ფრაგმენტებით. დის. კიმ. მეცნ. კანდ. 2004, 159 გვ.
4. Синтетические методы в области металлоорганических соединений мышьяка Фредллина Р. Х. Под ред. А. Н. Несменнова и К. А. Коченкова., 1945, вып. 7. МЛ. АН СССР.
5. Хинтибидзе Л.С., Гигаური Г.Д., Гвазария В.Г. и др. Количественное определение галогенов в органических соединениях мышьяка (III,V). Сообщ. АН ГССР, 1989, т. 134, №3, с. 117-120.
6. Лобჯანიძე Т. Э., Гургენიშვილი Л.В. и др. Количественный анализ мышьяка и никеля, а также мышьяка и кадмия при их совместном присутствии. GEN, 2003, №2, p. 114-118.
7. Peyronel G., Malavasi W; Pignedoli A. Copper (I) silver (I) and mercury (II) halide complexes of the 3,5 diamino-1,2,4-ditharolium halides. "Spectrochim Acta"- 1982 V-38, No10, pp. 1069-1072.

## Tetrasubstituted arsonium-contained cadmium combined-ligand complexes

T. Lobzhanidze

Iv. Javakhishvili Tbilisi State University

### Summary

Tetrasubstituted arsonium nitrate's interaction with cadmium iodate in water-alcohol solution in presence of KCN was studied. By using of the methods of element analysis and IR spectroscopy the composition and structure of the obtained combined dicianodiodatocadmiat(II) have been established.

## Ацидокомплекс кадмия со смешенными лигандами, содержащий четырехзамещенный арсоний.

Т. Лобჯანიძე

Тбилисский государственный университет им. Ив. Джавахишвили

### Резюме

Изучено взаимодействие нитрата четырехзамещенного арсония с иодатом кадмия в водоспиртовом растворе в присутствии избытка KCN. Состав и строение полученных смешенных дicianодидиодатокадматов(II) установлены по данным элементного анализа и физических методов исследования.

Физическая химия

МИЦЕЛЛЯРНАЯ ЭЛЕКТРОКИНЕТИЧЕСКАЯ ХРОМАТОГРАФИЯ  
РЕЗВЕРАТРОЛА В ВИНЕ

Н. Шакулашвили\*, Л. Квиникадзе\*, Н. Гогишвили\*, М. Мартин\*\*

\*Тбилисский государственный университет им. Ив. Джавахишвили

\*\*Инструментальный анализ и биоаналитика, Саарландский университет  
(Германия)

*Введение*

Соединение резвератрол (3,5,4-N-тригидроксиген) существует в форме обоих изомеров – транс и цис. Резвератрол был обнаружен в ряде растений, в том числе в виноградных ягодах, где был идентифицирован только в форме транс. Следует отметить, что в вине присутствуют оба изомера. Большой интерес к этому соединению был вызван как к важному фактору, снижающему риск сердечно-сосудистых заболеваний [1-3], что связано с потреблением большого количества жирной пищи, хотя исключение из данного правила наблюдалось на юге Франции [4]. Было сделано заключение, что потребление красного вина снижает риск сердечно-сосудистых заболеваний в исследуемой популяции. Эффект позитивного свойства резвератрола объясняется его антиоксидантным действием препятствовать окислению липопротеинов низкой плотности [5] и ингибировать процесс формирования атеросклеротических бляшек [6,7]. Существуют также данные о проявлении резвератролом антиопухолетового эффекта [8].

С целью изучения и определения резвератрола в природных матрицах было разработано и апробировано множество хроматографических методов; в том числе – методы газовой хроматографии [9,10], методы высокоэффективной жидкостной хроматографии [11-16], методы капиллярного электрофореза [17-20], которые изучены и применяются в меньшей степени.

За последние годы было изучено множество вин (практически со всего мира) на предмет содержания в них резвератрола, тем самым оценивая их целебный потенциал. Следует отметить, что грузинские вина не являлись объектом исследований в данном направлении до начала наших работ.

В настоящей работе мы задались целью апробировать и валидировать разработанную нами методику, позволяющую методом мицеллярной капиллярной электрохроматографии проводить качественный и количественный анализ одновременно обоих геометрических изомеров резвератрола в такой сложной и насыщенной матрице, как вино. Для анализа были отобраны некоторые красные и белые вина как заводского, так и домашнего разлива из разных регионов Грузии, а также два французских вина.

Использовались следующие химические соединения: транс-резвератрол (Sigma Chemical Co), натрия тетраборат декагидрат (Fluka), натрия додецилсульфат (Fluka), ацетонитрил (Merck), метанол (Merck), диэтилэфир (медицинский).

#### Аппаратура

Для экспериментальной работы использовались приборы капиллярного электрофореза Waters CIA Quanta 4000 с программным обеспечением Millennium V.2.10 и Beckman P/ACE 5510 с двоядной матрицей и программным обеспечением P/ACE System Gold, а также спектрометр Perkin-Elmer Lambda 25 UV/Vis.

#### Жидкостно-жидкостная экстракция

Экстракция изомеров резвератрола из вина осуществлялась усовершенствованным нами методом жидкостно-жидкостной экстракции. К 15 мл вина добавлялось 10 мл диэтилэфира. После активной 10-минутной встряски проба центрифугировалась. Органическая фаза (9 мл) переносилась в пробирку и полностью выпаривалась в слабом потоке азота. Осадок растворялся в 1 мл ацетонитрила. Ацетонитрил также выпаривался в потоке азота до остатка в 50 мкл. Во избежание потерь в виде осадка на стенках пробирки ее методично слабо встряхивали. Остаток дополняли бидистиллятом до 500 мкл, переносили в эппендорфовскую пробирку и вводили в разделительную систему. Данный метод экстракции обеспечивает 30-кратное концентрирование анализируемого вещества, а также позволяет упростить сложный состав винной пробы. Используемый нами метод экстракции дает 80-83 %-ый выход резвератрола.

#### Капиллярный электрофорез

Разделение проводилось в электролите, состоящем из 15 мМ натрия тетрабората декагидрата и 50 мМ натрия додецилсульфата (ДДСН); величина pH – 9,5. До применения электролит профильтровывался через микрофильтр с диаметром пор 0,45 мкм. Для разделения применялся капилляр длиной в 92 см с внутренним диаметром – 75 мкм (Polymicro Technologies Inc., Phoenix, Arizona, USA). Перед каждым анализом капилляр промывался электролитом в течение 4 мин. Приложенное напряжение составляло 25 кВ; ток – 56 мкА; ввод пробы производился гидростатически, в течение 25 сек. Детекция изомеров резвератрола производилась в ультрафиолетовом диапазоне поглощения на длине волны 280 нм; спектр искомых соединений снимался в диапазоне 190 – 600 нм. Анализы проводились при температуре среды в 25°C.

#### Результаты и обсуждение. Изомеризация УФ облучением

К сожалению транс-резвератрол в виде готового химического реактива не производится. Для определения транс-изомера в реальной пробе, транс-форму в виде стандарта приходилось получать в лабораторных условиях. С этой целью транс-резвератрол брали из нижних слоев сухого реактива из флакона фирмы-производителя (в верхнем слое помимо транс-формы может находиться также

и резвератрола, частично трансформированный в цис-форму); готовили раствор с концентрацией 500 мг/л в смеси ацетонитрил – вода (50/50 v/v), несколько миллилитров которого помещали в кварцевую кювету (длинной оптического пути – 1 см) и облучали ультрафиолетовым светом на длине волны 366 нм с расстояния в 12 см от лампы – мощного источника УФ излучения. На рисунке 1 показана зависимость процентного выхода резвератрола от времени облучения.

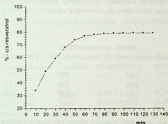


Рис. 1. Зависимость процентного выхода резвератрола от времени облучения.

Как видно из рисунка, максимальный выход цис-резвератрола достигается через 90 минут облучения и доходит до 80 %. В дальнейшем кривая выходит на плато и процентное содержание цис-резвератрола более не возрастает.

#### *Мицеллярная электрокинетическая хроматография изомеров резвератрола*

С целью оптимизации разделения нами ранее было изучено влияние концентрации электролита, величины pH и концентрации натрия додецилсульфата на разделительную систему. Была разработана методика, позволяющая успешно разделить большое количество соединений, присутствующих в вине и проводить качественный и количественный анализ одновременно обоих геометрических изомеров резвератрола методом капиллярной электрофореза в режиме мицеллярной электрокинетической хроматографии. Полное разделение (по базовой линии) изомеров резвератрола друг от друга и от других соединений матрикса было достигнуто при следующем составе электролита: 15 мМ натрия тетрабората декагидрата, 50 мМ ДДСН, величина pH – 9,5.

Для получения максимального сигнала детектора для искомого вещества в данной работе был снят спектр поглощения как транс- так и цис-резвератрола в диапазоне 190 – 600 нм. Было подготовлено три пробы транс-резвератрола. Соединение растворялось в смеси ацетонитрил/вода, в разделительном электролите и в метаноле. Цис-резвератрол получали путем облучения УФ-светом транс-резвератрола в тех же растворителях. Оба изомера имеют по два максимума поглощения. Спектр поглощения транс-резвератрола приведен на рисунке 2, а цис-резвератрола – на рисунке 3. Следует отметить, что в зависимости от растворителей различаются как максимумы, так и интенсивности поглощения. Цифровые данные по длинам волн приведены в таблице 1.

Прибор капиллярного электрофореза, на котором проводились

эксперименты с пробями вина, укомплектован съёмными лампами излучения в соответствующими фильтрами, что позволяет производить детекцию на той или иной одной определённой длине волны. Исходя из данных таблицы 1, была подобрана ртутная лампа и фильтр на 280 нм.

Выбор растворителя для проб пал на смесь ацетонитрил/вода, так как во время процесса электрофореза в случае водного растворителя на границе зон проба-электролит происходит явление электростресса (концентрирование вещества в узкой полосе), что резко повышает сигнал детектора для искомого соединения, тем самым, понижая предел его обнаружения.

Таблица 1.

Растворитель	транс -резвератрол		цис - резвератрол	
	I максимум (нм)	II максимум (нм)	I максимум (нм)	II максимум (нм)
<i>Ацетонитрил</i>	220	295	190	285
<i>Электролит</i>	218	320	195	290
<i>Метанол</i>	215	295	204	287

#### Калибровка, нижний предел обнаружения и эффективность.

Была построена калибровочная кривая зависимости соотношения площади пика к времени максимума сигнала ( $A/t_R$ ) от концентрации стандартного раствора транс-резвератрола. Стандарты готовились в диапазоне концентрации от 2 до 100 мг/л.

Вычислена линейная регрессия для калибровочной кривой. Хороший результат ( $r^2=0,9979$ ) был получен в диапазоне 2–40 мг/л. Стандартные растворы хранились в сосудах из темного стекла при температуре 4°C, сохраняя стабильность. В течение трех месяцев калибровочная кривая сохраняла линейность и не менялась более чем на 5%. Исходный (головной) раствор транс-резвератрола концентрацией в 1000 мг/л в смеси ацетонитрил-вода (50/50 v/v), при тех же условиях хранения остается стабильным в течение года и более. Нижний предел обнаружения на длине волны поглощения в 280 нм составлял 1 и 2 мг/л для транс- и цис-резвератрола соответственно (при соотношении сигнал/шум равном 3). Эффективность разделительной системы для транс- и цис-резвератрола составляет 441700 и 344600 теоретических тарелок (число определялось по формуле  $5,54 \cdot (t_R/w_{1/2})^2$ , где  $t_R$  – время удерживания вещества (выход пика);  $w_{1/2}$  – ширина пика на половине его высоты) при концентрации соединения в 20 мг/л.

#### Определение транс- и цис-резвератрола в вине

Для анализа был отобран ряд красных и белых вин как домашнего, так и заводского производства, а также два экземпляра французских вин.

Как известно, главным образом резвератрол содержится в кожуре ягод винограда и в процессе ферментации переходит в вино. В кожуре резвератрол находится в двух формах – глюкозированной (т.н. писайд) и агликоновой. Обе эти формы, но как минимум на порядок меньше, идентифицируются в вине.

Однако, утверждения о наличии определенного количества резвератрола только как следствие энзиматического гидролиза глюкозированной формы резвератрола нам не кажутся неоспоримыми. Правда, ряд источников указывает, что резвератрол экстрагируется из виноградных выжимок во

время ферментации вина (поэтому в красных винах резвератрол присутствует в гораздо больших количествах чем в белых, так как в отличие от производства белых вин, процесс ферментации красных вин происходит в присутствии выжимок), хотя механизмы экстракции не обсуждаются.

Параду с гидролизом глюкозированной (гидрофильной) формы резвератрола и переходом в форму агликона (гидрофобной), вторым, наиболее вероятным механизмом на наш взгляд является экстракция агликоновой формы резвератрола из выжимок в вино в градиенте этилового спирта в процессе ферментации.

Данные количественного анализа изомеров резвератрола в отобранных винах приведены в таблице 2.

Таблица 2.

№	Название	Производитель	Урожай	Транс-резвератрол мг/л	Цис-резвератрол мг/л	Сумма мг/л
<i>Красные</i>						
1	Дзелави	О.О.О. Вази	2000	2,98 ± 0,09	0,35 ± 0,013	3,33
2	Аладасури	О.О.О. Вази	1999	0,15 ± 0,009	0,38 ± 0,012	0,53
3	Накарсули	Телавский	1996	1,76 ± 0,06	0,13 ± 0,007	1,89
4	Дзвели	Винный Погреб	2000	1,00 ± 0,08	0,24 ± 0,008	1,24
5	Саперави	Домашнее, Гурджаани	2003	7,37 ± 0,29	3,68 ± 0,12	11,05
6	Саперави	Домашнее, Кварели	2002	0,63 ± 0,03	0,34 ± 0,018	0,97
7	Côteaux du Languedoc	Chateau de Jan Cotesde Roussillion AOC	2000	1,50 ± 0,04	0,13 ± 0,006	1,63
8	Le Cardinal	A.C. Bordeaux, Dourthe Freres	1998	2,04 ± 0,07	0,76 ± 0,028	2,80
<i>Белые</i>						
1	Ркацители 1	Домашнее, Кварели	2002	0,31 ± 0,017	0,35 ± 0,024	0,66
2	Ркацители 2	Домашнее, Кварели	2002	0,45 ± 0,02	0,10 ± 0,008	0,55
3	Дзвели	GWS	2001	0,41 ± 0,013	нд	0,41
4	Кахури	Тбиливно	2002	0,32 ± 0,016	нд	0,32
5	Манави	Тбиливно	2000	0,04 ± 0,0035	нд	0,04

Следует отметить заметную разницу в концентрации резвератрола между белыми винами домашнего и заводского разлива. В отличие от заводских вин, домашние были изготовлены по традиционной технологии, где ферментация происходит в присутствии виноградных выжимок. Количество оставляемой при ферментации выжимки может сильно варьировать, от чего в свою очередь зависит содержание резвератрола в готовом вине. Судя по данным таблицы 2, в случае белых вин №1 и №2, количество оставленной выжимки большим не было. Обращает на себя внимание высокая концентрация резвератрола в красном вине №5, которое было изготовлено по традиционной схеме, придерживаясь установленным срокам и правилам, что нельзя сказать о вине №6, при производстве которого основная масса выжимки была удалена на начальной стадии ферментации; к тому же был

нарушен температурный режим. Следует заметить, что авторская группа внимательно следила за изготовлением и хранением домашних вин. На рисунках 4 и 5 представлены типичные электроферограммы, полученные нами в ходе экспериментов. Приведенная на рисунке 4 электроферограмма относится к вину заводского разлива "Дзвели Тбилиси" сорта Саперави. К тому же сорту, но вина домашнего приготовления, относится электроферограмма на рисунке 5. Анализ французского вина Côteaux du Languedoc показан на рисунке 6. Пики транс- и цис-резвератрола обозначены цифрами 1 и 2 соответственно. Как видно из приведенных электроферограмм, для разных вин наблюдаются схожие графические профили хроматограмм. Более того, можно идентифицировать группы пиков и даже отдельные пики, явно принадлежащие одним и тем же веществам, но с разными концентрациями.

#### *Валидация метода*

Для каждого образца вина процедура жидкостно-жидкостной экстракции была проведена по четыре раза. С целью подсчета процентного выхода искомого соединения и достоверности результатов для каждой процедуры готовились две пробы: 1 – проба вина и 2 – проба вина с добавлением изомеров резвератрола из расчета 20 мг/л в случае 100%-го выхода соединения. В разделительную систему вводились три пробы: 1 – экстракт вина; 2 – экстракт вина с добавленным резвератролом и 3 – стандартный раствор изомеров резвератрола в смеси ацетонитрил / вода (10/90) концентрацией в 20 мг/л. Таким образом, для каждого образца определялся процентный выход резвератрола. В наших изысканиях выход составлял 80-83 %. В каждом случае высчитывалось стандартное относительное отклонение. Диапазон отклонений составлял 2,1 – 6,8 % при  $n = 4$ .

Идентификация пиков изомеров резвератрола производилась методом сравнения времени миграции со стандартным раствором и т.н. методом стандартной добавки, где к реальной пробе вина добавлялись изомеры резвератрола, что влекло за собой возрастание высоты и площади определенных, соответствующих транс- и цис-резвератролу пикам. Для каждой пробы экстракта было проведено по 5 пробегов в разделительной системе. Статистические данные по погрешностям для образцов приведены в таблице 2. Диапазон погрешностей составил 2,7 – 8,7 %.

Помимо описанных серий экспериментов была изучена статистика по повторяемости количественных данных хроматографического анализа резвератрола в одинаковых условиях в зависимости от времени проведения анализов и аппаратуры. Для красных вин под номерами 3, 4 и 5 (см. Таблицу 2) была проведена серия из пяти анализов с частотой каждые 1,5 месяца. Максимальное отклонение для транс- и цис-резвератрола составило 4,1 и 4,3 % соответственно.

Содержание резвератрола в вине N 7 (Côteaux du Languedoc) при идентичных условиях экстракции и разделения определялось в лабораториях Тбилисского государственного университета и Саарландского университета на разных приборах капиллярного электрофореза (указанных в материалах и методах) и с разницей во времени в 11 месяцев. Отклонение составило 5,7 и 6,4 % для транс- и цис-резвератрола соответственно. Следует отметить, что все вина хранились в плотно закупоренных темных стеклянных сосудах, избегая контакта с воздухом при температуре  $-4^{\circ}\text{C}$ .

УФ спектр транс-резвератрола

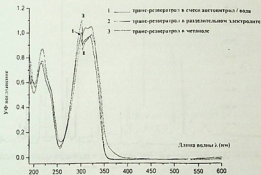


Рис. 2.

УФ спектр резвератрола после 90 мин. облучения на 366 нм

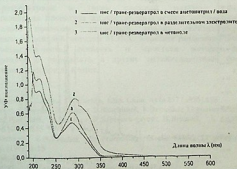


Рис. 3.

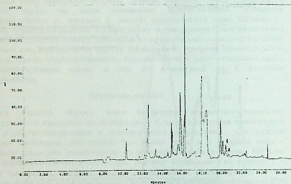


Fig. 4.

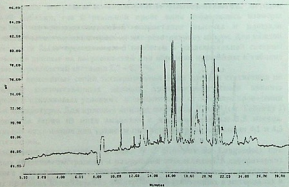


Fig. 5.



10. G.Lamikanra; C.C.Grime; J.B.Rodin; I.Inyang, J. Agric. Food Chem, 44 (1996) 1111
11. R.Pezet; V.Pont; P.Cuenat, J. Chromatogr. A 663 (1994) 191
12. D.M.Goldberg; E.Ng; A.Karumanchiri; J.Yan; E.P.Diamandis; G.Soleas, J. Chromatogr. A 708 (1995) 89
13. H.Engelhardt; R.Gruener; M.Scherer, Chromatographia Supplement V. 53 (2001) S-154
14. A.A.Souto; M.C.Carneiro; M.Seferin; M.J.H.Senna; A.Conz; K.Gobbi, J. Food Compos. Anal. 14(4) (2001) 441
15. K.Melzoch; I.Hanzliková; V.Filip; D.Buckiová; J.Šmidrkal, Agricult. Consp. Scient. V.66 № 1 (2001) 53
16. M.Careri; C.Corradini; L.Elvirí; L.Nicoletti; L.Zagnoni, J. Agric. Food Chem. 51 (2003) 5226
17. L.Arce; M.T.Tema; A.Rios; M.Valcárcel, Anal. Chim. Acta 359 (1998) 27
18. J.J.B.Nevado; A.M.C.Salcedo; G.C.Penalva, Analyst 124 (1999) 61
19. X.Gu; L.Creasy; A.Kester; M.G.Zecce, J. Agric. Food Chem. 47 (1999) 3223
20. Z.Dobiasova; J.Pazourek; J.Havel, Electrophoresis 23(2) (2002) 263

## ღვინოში რევერატროლის მიცელური ელექტროკინეტიკური ქრომატოგრაფია

ნ. შაყულაშვილი\*, ღ. კვინიკაძე\*, ნ. გოგიშვილი\*, მ. მარტინი\*\*  
 \*ივ. ჯავახიშვილის სახელობის თბილისის სახელმწიფო უნივერსიტეტი  
 \*\*ინსტრუმენტული ანალიზი და ბიოანალიტიკა, საარლანდის უნივერსიტეტი (გერმანია)

### რეზიუმე

ქართულ ღვინოებში რევერატროლის განსაზღვრის მიზნით, დაწვებულა მათი სისტემური შესწავლა მიცელური ელექტროკინეტიკური ქრომატოგრაფიის გამოყენებით ავტორების მიერ ადრე შემუშავებული მეთოდის შესაბამისად. დახვეწილ და ადაპტირებულ იქნა ღვინოდან ფენოლური ნაერთების თხევად-თხევადი ექსტრაქციის პროცედურა. ნატარდა მეთოდის ვალიდაცია რაოდენობრივი ქრომატოგრაფიული ანალიზის სტატისტიკური მახასიათებლების მიხედვით.

## MICELLAR ELECTROKINETIC CAPILLARY CHROMATOGRAPHY OF RESVERATROL IN WINE

N. Shakulashvili, L. Kvinikadze, N. Gogishvili, M. Martin

Iv. Javakhishvili Tbilisi State University

Instrumental analysis and bioanalytics. University of Saarland (Germany)

### Summary

Systematic investigation of Georgian wines using micellar electrokinetic capillary chromatography and the method elaborated earlier by us is beginning. Liquid-liquid extraction procedure of phenolic compounds for their farther MECC analyses was improved and adapted. Method validation on the statistical parameters of quantitative chromatographic analysis was carried out.



გამოყენებითი ქიმია და ქიმიური მასალათმეცნიერება

### საწვავის ხარისხისა და ფიზიკურ-ქიმიური თვისებების მოდელირება და ტესტირება მათი ინფრაწითელი სპექტრების მონაცემთა საფუძველზე

გ. ლუკომეილი, გ. არუშიძე, ნ. ლუკომეილი, თ. ლუშკამელი  
თვ. ჯავახიშვილის სახელობის თბილისის სახელმწიფო უნივერსიტეტი

#### შესავალი

ხარისხის კონტროლის ავტომატური სისტემების შექმნა წარმოადგენს ხეფროს, რომლისცხნაც სადღეისოდ მიმართულია მნიშვნელოვანი ძალისხმევა. სასურველი მიზნის მიხედვით აუცილებელია რიგი პრობლემების თანამიმდევრული გადაჭრა:

- ნიმუშის თვისებათა იმ კომპლექსის შერჩევა, რომელთა ექსპერიმენტული გზით დადგენა არ მოითხოვს ადამიანური თუ სხვა სახის რესურსების დიდ დანახარჯებს;

- ექსპერიმენტულად დადგენილი თვისებების ციფრობრივ (digital) ფორმატში გადაცემის უზრუნველყოფა;

- მონაცემთა დაგროვება, ერთი მხრივ, ექსპერიმენტული გზით ძნელად დასადგენ და, მეორე მხრივ, იოლად დასადგენ მონაცემებს შორის;

- საიმედო სტატისტიკური (ქვმომეტრიკული) მოდელების აგება;

- მოდულების შემდგომი სრულყოფის უზრუნველყოფა უშუალოდ დიაგნოზირების პროცესში, ე.წ. online-რეჟიმში.

ნიმუშის დასახასიათებლად, უმრავლეს შემთხვევაში, გამოიყენება ახლო ინფრაწითელი (იწ) სპექტროსკოპია. აღსანიშნავია, რომ თანამედროვე ინფრაწითელი სპექტრომეტრები ხასიათდებიან უნარით, თავად უზრუნველყონ ინფორმაციის გადაცემა და შენახვა კომპიუტერულ ქსელებში კარგად ოპტიმიზირებული ფორმატის ფაილებით. რაც შეეხება მონაცემთა ბაზების დაგროვებას, იგი წარმოადგენს განსაკუთრებით შრომატევად საშუაოს, რადგან მათი გამართულობა, ერთი მხრივ, სწორად ჩატარებული ექსპერიმენტების, მეორე მხრივ კი, არატრივიალური ინფორმაციის შემცველობის კონტექსტში, კარდინალურად განაპირობებს საშუალოდ თუ საბოლოოდ ქვმომეტრიკული მოდულების საიმედოობას [1].

წინამდებარე ნაშრომი დაკავშირებულია პრობლემის უშუალოდ ქვმომეტრიკულ ნაწილთან და ეძღვნება ხარისხის კონტროლის მოდულის აგების ახალი მეთოდის შემუშავებასა და ტესტირებას დამოუკიდებელი ცვლადების წრფივი და არაწრფივი კომბინაციების კომპლექსური გამოყენების გზით.

ზევნი მოდულის ეფუძნება ხელოვნურ ინტელექტზე დაფუძნებული მიდგომის, ვირტუალური (წარმოსახვითი) ნეირონული ქსელების გამოყენებას მის უპირატესობას წარმოადგენს ხელოვნური ინტელექტის ხარისხის კონტროლის მიზნით გამოყენების შესაძლებლობის შექმნა სპეციალური აპარატული ნაწილის (პარდვერის-Hardware) გარეშე.



კვლევების ჩასატარებლად ჩვენ ვიყენებდით მონაცემთა ბაზას, რომელიც მოიაზრება Eigenvector® Co., Ltd.-სერვერზე გამოთვლები ჩატარებული იყო ს. დე ოინგის მიერ შემუშავებული პროგრამული პიბლითიუცის საფუძველზე, რომელიც შექმნილია პროგრამულ სისტემა Matlab®-ში და რომელიც, ასევე, თავისუფლად მოიაზრება არაკომერციული ხასიათის სამეცნიერო გამოკვლევების განხორციელებლად.

**მიღებული შედეგების ვალიდაცია**

სტატისტიკური მოდელებით მიღებული შედეგების ვალიდაცია ხდება შემდეგი პარამეტრების შეფასების მეშვეობით [2-4]:

$$R^2 = 1 - \text{RSS} / \text{SYY}$$

$$\text{RSS} = \sum_{i=1}^n (y_{i,fit} - y_{i,obs})^2$$

$$\text{SYY} = \sum_{i=1}^n (y_{i,obs} - y_{mean})^2$$

$$s = \sqrt{\text{RSS} / (n - a - 1)}$$

$$F = \frac{R^2 (n - a - 1)}{a(1 - R^2)}$$

$$r^2 = 1 - \sum_{i=1}^n (y_{i,pred} - y_{i,obs})^2 / \text{SYY}$$

მათგან,  $R$  წარმოადგენს მოდელის კორელაციის კოეფიციენტს,  $\text{RSS}$  - შეფასებული და ექსპერიმენტული პასუხების საბლოვის მახასიათებელს,  $\text{SYY}$  კვლავტული გადახრაა,  $s$  შეფასების ცდომილებაა,  $F$  - ფიშერის რიცხვი,  $r$  - პროგნოზირების კორელაციის კოეფიციენტი. ჩვენი მოდელების ვალიდაციისათვის სწორედ ეს უკანასკნელი აუტორიტი, როგორც საყოველთაოდაა რეკომენდებული. აღსანიშნავია, რომ მოდელის პროგნოზირების უნარი მნიშვნელოვნად ამაკმაყოფილებულია მაშინ, როცა  $r > 0,6$ .

**მიღებული შედეგების განსკა**

ნაშრომის პირველი ნაწილი ეძღვნება „ნარევის სექტორი - ფიზიკური თვისება“ სტატისტიკური დამოკიდებულებების ძიებას სადღეისოდ არსებული მეთოდოლოგიის მეშვეობით.

ჩვენ ვიყენებდით მათგარი კომპონენტების რეგრესიას [5-10]. მოდელი იგებოდა ლატენტური ცვლადების განსხვავებული რაოდენობებით. თავდაპირველად ლატენტური ცვლადების რაოდენობა იყო  $pc=5$ . მოდელი იგებოდა 113 ნიმუშისაგან შედგენილი მონაცრების საფუძველზე, რომლის ვარგისიანობა, შეფასებული კორელაციის კოეფიციენტით, იყო კარგი  $r=0.9320$ . აღსანიშნავია, რომ მოდელი უსაძლებოდა სატესტო მონაცემების (20 განსაკუთრებით საიმოდო ჩატარებული ექსპერიმენტი) მიხედვით, რაც დამაჯერებელს ხდის მის სტატისტიკურ საიმედოობას ქვემოთ (ცხრილები 1, 2 და 3) მოყვანილია დღეისდის გემპურატურების ცვტანური რიცხვების, სმკრფეების ექსპერიმენტული და გამოთვლილი მნიშვნელობები.

ჩვენი შემდეგი ექსპერიმენტის საგანს წარმოადგენდა დიზელის საწვავის ახლო იწ სექტორისა და მისი ცვტანური რიცხვის სტატისტიკური მოდელის აგება გამოთვლები ტარდებოდა იმავე პირობებში, ანუ 5 ლატენტური ცვლადით და

მონაცემთა ცენტრირებით. სატესტო მონაცრების გამოთვლილი ცენტრი რიცხვები ცვლად შეესაბამებოდა მათ ექსპერიმენტულ მნიშვნელობებს, რასაც ცხადყოფს კორელაციის კოეფიციენტის შედარებით დაბალი მნიშვნელობა,  $r=0.8419$  და ცხრილში (ცხრ. 1) მოყვანილი მონაცემები.

კვლევათა ამ ციკლის დასასრულს, ჩვენ ვახუნდით ლეგონაციით სტაგისტიკური დამოკიდებულებების მოდელირებას დიშელის საწვავის იწ სექტორებზე აძერაღ შედეგები უკეთესი იყო და კორელაცია სატესტო მონაცრების ლეგონაციების გამოთვლილ და ექსპერიმენტულ მნიშვნელობებს შორის იყო,  $r=0.9365$  და ცხრილი 1 წარმოადგენენ გამოთვლითა შედეგებს ამ მოდელის მხედვით.

როგორც უხედავით, კლასიკური მიდგომით აგებული მოდელება, უკეთეს შემთხვევაში, მცირედ აღემატებოან სამუალო ვარჯისიანობას. ჩვენი შემდგომი კვლევის მამანს წარმოადგენდა იმის ვარკვევა, შესაძლებელი იყო თუ არა მოდელეების გაუმჯობესება ლაგენტური ცვლადების რაოდენობის გამრდით. ჩვენ თანდათანობით ემრდით ლაგენტური ცვლადების მნიშვნელობას და მდებელი მოდელეების ვარჯისიანობას კვლავ ვაფასებდით არა ერთის გამოტოვებით, უვარულინ ვაღიდავით, არამედ სატესტო მონაცრებისით, რადგან ჩვენს განკარგულებაში იყო სპეციალურად ამ მამნით მომზადებული მონაცემთა ბაზა.

დუღლის გემპერატურების შემთხვევაში, ჩვენ მივადწით მოდელის მციროდენ გაუმჯობესებას, რაც გამოისაგა კორელაციის კოეფიციენტის შრდით  $r=0.9492$ , რაც შეეება ეცატურ რიცხვებს, ჩვენ მივადწით მოდელის უფრო მნიშვნელოვან გაუმჯობესებას:  $r=0.8893$ .

ანალოგიურ პარობებში (მონაცემთა ცენტრირება, 15 ლაგენტური ცვლადი, სატესტო მონაცრების გამოყენება) აგებულმა მოდელემა სამკერივის შემთხვევაში, ისე როგორც დუღლის გემპერატურების დროს, კვლავ მიგვიყვანა მოდელის გაუმჯობესებამდე:  $r=0.9606$ .

ზემოაღნიშნული კველა გამოთვლის შედეგები მოტანილია ცხრილში (ცხრ. 2).

ამრიგად, მთავარი კომპონენტების რეგრესიის გამოყენება, ბირითადად სამუალებას იძლევა ბიგოს სტაგისტიკურად სამშელო მოდელება, რომელთაც, სამუალო ხარისხით, გაამნათ უცნობი ნიმუშების საძებო ფიზიკური თვისებების წინასწარგანსაზღურის უნარი. მიუხედავად ამისა, საჭიროა პასუხის გაცემა ისეთ კითხვამ, როგორიყა არაწრფივი სახის დამოკიდებულებების შესაძლო არსებობა ჩვენს მიერ საანალიზოდ აღებული დიშელის საწვავის ნიმუშების შემთხვევაში მათ ახლო იწ სექტრსა და შემოხხებულ ფიზიკურ თვისებებს შორის.

უნდა აღინიშნოს ისიც, რომ წრფივი მოდელეების ხარისხის საგრძნობ გაუმჯობესებას ადელი პქონდა მხოლოდ ლაგენტური ცვლადების რაოდენობის მკვეთრი შრდის პარობებში. ეს, ინპერენტულად კითხვის ნიშნის ქვემ აყენებს მოდელის პრედიტკულობას, რამეთუ მთავარი კომპონენტების რეგრესიის შემეეობით აგებული მოდელები არ შეიძლება იყოს გამოყენებული მამნს, როცა აბალი ნიმუშები სყიდება ე.წ. საკვლევი პოპულაციის პაერსტიტყეს.

ამრიგად, ჩვენ შევეუბდით, გამოგვეყენებინა ხელოვნური ნეირონული ქსელები, როგორც სხუნებული პრობლემაების აღმოფხერის შესაძლო მიდგომა.

ჩვენ შერ შერ შექმნილებულია სწრაფი და საიმედო აღჭურვილობა მიდგომა. მისი არსი მდგომარეობა არა ოპტიმალური ცვლილებას, არამედ ოპტიმალური ინფორმაციის შერჩევამ. იგი ეფუძნება უკვე არსებულ მთავარ კომპონენტთა რეგრესიის (PCR) მეთოდს ამ განსხვავებით, რომ მიღებული დადგენილი ცვლილებები გამოიყენება ხელოვნურ ინტელექტზე დაფუძნებულ მეთოდებში, როგორცაა, მაგალითად, BPNN [12-14]. საბოლოო მიღებული მოიცავს ასეთი სახით:  $B=f(X, Y)$ , სადა  $f$  სასურველი ფუნქცია დინამიკურად აიგება ხელოვნური ნერვული ქსელების მიხედვით.

ჩვენი მეთოდის ეფექტურობა შესწავლილ იქნა დომელის საწვავის რამდენიმე ასეული ნიმუშის იმ საექტრისა და ექსპერიმენტულად განსაზღვრული საექტრისაგან თვისებების (როგორცაა, მაგ., ცეტანური რიცხვი) მონაცემთა საფუძველზე, ანუ, იმავე მონაკრებსებით, რომლებითაც წინა გამოკვლევები განხორციელდა.

ცხრილი 1. საექტრო მონაკრებსის ექსპერიმენტული და გამოთვლილი დომელის საშუალო ცეტანური რიცხვები, ცეტანური რიცხვები და სამკერძები

ნიმუშები	დომელის საშუალო ცეტანური რიცხვები		ცეტანური რიცხვები		სამკერძები	
	ექსპერიმენტული	გამოთვლილი	ექსპერიმენტული	გამოთვლილი	ექსპერიმენტული	გამოთვლილი
1	286	271.4835	59.1000	57.2580	0.8361	0.8301
2	269	264.2324	47.7000	47.2899	0.8075	0.8180
3	246	262.0238	44.0000	44.9520	0.8064	0.8037
4	250	255.0732	46.9000	42.3317	0.8716	0.8701
5	266	263.6694	53.6000	53.2692	0.8234	0.8245
6	202	215.0434	42.8000	41.5137	0.8453	0.8467
7	274	271.4376	43.1000	45.5152	0.8108	0.8194
8	200	202.2380	48.1000	45.9675	0.8618	0.8616
9	236	243.2846	40.9000	44.2695	0.8542	0.8561
10	270	262.8693	50.1000	54.0770	0.8590	0.8535
11	278	264.6605	49.5000	50.3010	0.8558	0.8583
12	263	256.8897	48.0000	45.3388	0.8134	0.8258
13	207	214.5502	45.9000	47.5662	0.8574	0.8662
14	234	236.4863	47.8000	44.6878	0.8578	0.8517
15	272	252.4531	56.3000	54.8290	0.8509	0.8600
16	270	246.4678	49.1000	51.0748	0.8490	0.8565
17	266	256.3779	46.6000	48.6959	0.8501	0.8529
18	274	261.9447	43.4000	47.6380	0.8473	0.8445
19	270	265.8875	51.7000	49.8914	0.8459	0.8403
20	247	242.2548	46.9000	45.6105	0.8291	0.8142

ქვემოთ განხილული კვლევებისას, ჩვენ ვიყენებდით ხელოვნურ ნერვულ ქსელებს ერთი ფარული შრით, რომელთა სწავლება ეფუძნებოდა ლეკობერგ-მარკვარტის ალგორითმს.

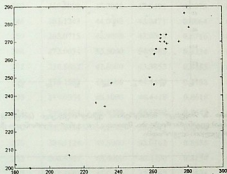
როგორც ეს დამახასიათებელია უკუგავრცელებითი ხელოვნური ნეირონულ ქსელებით მოდელირებისას, ჩვენ მოგვიწია მრავალი გამოთვლილი ექსპერიმენტის ჩატარება, რათა დაგვედგინა ქსელების ოპტიმალური არქიტექტურა და სწავლების პირობები. ჩვენ ყოველთვის ვიყენებდით როგორც სასწავლო, ისე ტესტურ დეალიდაციის მონაკრებსებს, რათა არ დაგვეშვა ქსელების წონების მორგება კონკრეტულად სასწავლოდ ადებული მონაცემებისათვის (over-training).

დომელის ცეტანური რიცხვის მოდელირებისას, ქსელის ოპტიმალური არქიტექტურა (კომპოზიცია) შემდეგი სახის იყო: 15 საწყისი ნეირონი, ფარული ნეირონი, რომელთაგან 3 წრფივი იყო, ხოლო 2 - სიგმოიდური, 1 - გამოსავალი,

სიგმოიდური ნეირონი.

გამოთვლიათა შედეგებმა (სურ. 1) აჩვენა, რომ ამოცანას უფრო წრფივი ხასიათი აქვს, ვიდრე არაწრფივი, მიუხედავად ამისა, არაწრფივი ასახვის გამოყენება საგრძნობლად აუმჯობესებს შეთოების ხარისხს. ჩვენ მიერ ატებული მოდელი ხასიათდებოდა საკმაოდ მაღალი ხარისხით:  $r=0,9624$

ცენტრური რიცხვების მოდელირება, ისე როგორც წრფივი შეთოების შემთხვევაში, ყველაზე რთული გამოდგა. ამ პრობლემის გადასაჭრელად მოგვიწია ფარული ფენის (შრის) ნეირონების რაოდენობის გაზრდა 8-მდე, რომელთაგან სამი სიგმოიდური იყო, ხოლო 5 – წრფივი.



სურათი 1. საცესკო მონიტორების ექსპერიმენტული (აბსცისა) და გამოთვლილი (ორდინატა) დედალის გემპერატურები (მეთოდი: ხელნერვი ნეირონული ქსელები, შეკლამათა უკუგაბრუნების ალგორითმი).

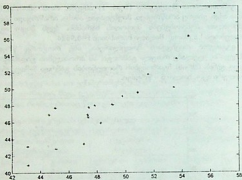
აქაც, არაწრფივი ასახვის მეთოდების გამოყენებამ მოგვიტანა საგრძნობლად უფრო საიმედო შედეგები (სურ. 2), ვიდრე გვექონდა მხოლოდ წრფივი მეთოდები გამოყენებისას. საბოლოო მოდელი გამოირჩევა შეუდარებლად უფრო მაღალ საიმედოობით, ვიდრე საწყისი:  $r=0,9070$ .

ამრიგად, ნეირონული ქსელების გამოყენებამ საშუალება მოგვცა, მიგვეღწია მოდელის საფუძვლიანი გაუმჯობესებისათვის, რაც ჩვენი, ახალი, მიდგომი ექსპერტობის ცხადყოფს.

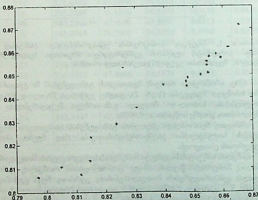
ღიშელის საწყისის საკვლევი ნამუშების სიმკვრივეების მოდელირება შედარებით ადვილად მოხერხდა ქსელის იმავე გოპოლოგიით, რომელიც გამოყენებულ იქნა დედალის გემპერატურების მოდელირებისას; კერძოდ ჩვენ გვექონდა 15 შესავალ ნეირონი, 5 – ფარული, რომელთაგან 3 კვლავ იყო წრფივი, ხოლო 2 – სიგმოიდური და 1 – გამოსავალი სიგმოიდური ნეირონი.

საბოლოო შედეგი საუკეთესოა:  $r=0,9822$  (სურ. 3).

უნდა აღინიშნოს, რომ სამივე შემთხვევაში, ქსელის როგორც „წრფივობის“ (ანუ წრფივი ფარული ნეირონების), ისე „არაწრფივობის“ ხარისხის ზრდას ადარ მოპყე მოდელის შემდგომი გაუმჯობესება, რაც საშუალებას გვაძლევს შევაფასოთ პრობლემა როგორც საშუალო ხარისხით არაწრფივი.



სურათი 2. სატესტო მონაკრებსის ექსპერიმენტული (აბსცისა) და გამოთვლილი (ორდინატა) ცვლადური რიგები. შუაილი: ხელოვნური ნეირონული ქსელები, შედეგობათა უკუგაფრქველების ალგორითმი



სურათი 3. სატესტო მონაკრებსის ექსპერიმენტული (აბსცისა) და გამოთვლილი (ორდინატა) სამკვრივეები. შუაილი: ხელოვნური ნეირონული ქსელები, შედეგობათა უკუგაფრქველების ალგორითმი

ცხრილი 2. საეცხო მონარკრუხის ექსპერიმენტული (აბცისა) და გამოთვლილი (ორდინატა) დუღილის გემპერატორუბა, ცვტანური რიცხუები და დეტონაციის მახასიათებლები (15 ლიტრული ცვლადი)

საქართველო  
სამხრეთი

ნიმუ- შები	დუღილის ხაშუალო გემპერატორუბი		ცვტანური რიცხუები		დეტონაც. მახასიათ.	
	ექსპერი- მენტული	გამოთ- ვლილი	ექსპერი- მენტული	გამოთ- ვლილი	ექსპერი- მენტული	გამოთ- ვლილი
1	286	290.0034	59.1000	56.5073	0.8361	0.8270
2	269	269.5098	47.7000	47.9491	0.8075	0.8214
3	246	253.1243	44.0000	43.0471	0.8064	0.8087
4	250	263.0715	46.9000	43.9099	0.8716	0.8724
5	266	273.0034	53.6000	54.9963	0.8234	0.8184
6	202	218.5582	42.8000	43.3853	0.8453	0.8487
7	274	276.1333	43.1000	44.4440	0.8108	0.8075
8	200	219.0354	48.1000	46.4418	0.8618	0.8641
9	236	246.3864	40.9000	43.1769	0.8542	0.8519
10	270	280.8814	50.1000	55.7111	0.8590	0.8581
11	278	284.1124	49.5000	52.0162	0.8558	0.8631
12	263	266.9567	48.0000	46.4490	0.8134	0.8182
13	207	211.1503	45.9000	47.6567	0.8574	0.8605
14	234	248.0310	47.8000	45.9488	0.8578	0.8573
15	272	258.2852	56.3000	54.9809	0.8509	0.8572
16	270	264.8957	49.1000	50.2620	0.8490	0.8546
17	266	256.0946	46.6000	48.0900	0.8501	0.8535
18	274	269.1603	43.4000	46.1215	0.8473	0.8481
19	270	280.6271	51.7000	52.7673	0.8459	0.8384
20	247	251.2730	46.9000	46.3411	0.8291	0.8218

ცხრილი 3. სადგენო მონიტორინგის ექსპერიმენტული და ნორონული ქსელებით გამოთვლილი დედილის გემპერატურები, ცენტანური რიცხვები და სიმკვრივეები (15 სადგენო ცედილი)



ნომერი	ნომერების დედილის საშუალო გემპერატურები		ცენტანური რიცხვები		სიმკვრივეები	
	ექსპერიმენტული	გამოთვლილი	ექსპერიმენტული	გამოთვლილი	ექსპერიმენტული	გამოთვლილი
1	286	278.6386	59.1000	57.7709	0.8361	0.8306
2	269	268.2766	47.7000	46.5806	0.8075	0.8115
3	246	261.0209	44.0000	43.7098	0.8064	0.7971
4	250	258.6804	46.9000	43.2152	0.8716	0.8654
5	266	267.6741	53.6000	55.3915	0.8234	0.8150
6	202	180.5760	42.8000	42.6807	0.8453	0.8477
7	274	264.9993	43.1000	42.5383	0.8108	0.8049
8	200	188.9290	48.1000	48.3883	0.8618	0.8618
9	236	227.4636	40.9000	43.6045	0.8542	0.8546
10	270	267.0243	50.1000	53.3037	0.8590	0.8578
11	278	281.0857	49.5000	51.1601	0.8558	0.8546
12	263	261.1651	48.0000	49.7137	0.8134	0.8145
13	207	211.4153	45.9000	49.2094	0.8574	0.8593
14	234	232.5443	47.8000	48.9488	0.8578	0.8554
15	272	264.7932	56.3000	55.2825	0.8509	0.8550
16	270	264.5696	49.1000	48.1354	0.8490	0.8481
17	266	262.3073	46.6000	46.6698	0.8501	0.8525
18	274	268.0869	43.4000	48.3225	0.8473	0.8475
19	270	275.3308	51.7000	50.3282	0.8459	0.8396
20	247	236.4805	46.9000	46.8014	0.8291	0.8236

ლიტერატურა:

1. M. Otto, *Chemometrics*. Wiley-VCH, Weinheim, p. 306, 1999.
2. M. Otto, *Chemometrics*. Wiley-VCH, Weinheim, p. 196, 1999.
3. D.L. Massart, B. G. M. Vandeginste, L. M. C. Buydens, S. De Jong, *Handbook of Chemometrics and Qualimetrics: Two-Volume Set*, Elsevier, p.44, 1996.
4. G. Lekishvili, *The Data*, In: Chemoinformatics, A Textbook, J. Gasteiger, Th. Engel, Eds, 2003.
5. M. Otto, *Chemometrics*. Wiley-VCH, Weinheim, p. 193, 1999.
6. L. Eriksson, E. Johansson, N. Kettaneh-Wold, S. Wold. *Introduction to Multi- and Megavariate Data Analysis using Projection Methods (PCA & PLS)*, Umetrics AB, Umea, 1999.
7. S. Wold, K. Esbensen, P. Geladi, *Principal Component Analysis*, Chemom. Intell. Lab. Syst. 1987, 2, 37-52.
8. D.L. Massart, B. G. M. Vandeginste, L. M. C. Buydens, S. De Jong, *Handbook of*

## Modelling and Testing the Exploitation Quality and Some Physical Chemical Parameters of Diesel Fuel Based on the data of NIR Spectra

G. Lekishvili, G. Areshidze, N. Lekishvili, T. Leshkasheli  
Iv. Javakhishvili Tbilisi State University

### Summary

There have been investigated the models of NIR spectra and various properties in the context of the Diesel fuel as a model system. By using PCR (Principal Component Regression), the models of satisfactory and of high quality were built. The effect of the number of latent variables on the quality of the models was studied. We proposed a new approach to enable one to employ artificial neural networks without a preliminary use of variable selection techniques. The "NIR spectra – physical chemical property" models obtained with the help of the new method are of a higher quality being useful for diagnostics of the exploitation characteristics of Diesel fuel.

## Моделирование и оценка эксплуатационных характеристик и физико-химических свойств дизельного горючего на основе ИК спектральных данных.

Г. Лекишвили, Г. Арешидзе, Н. Лекишвили, Т. Лешкашели  
Тбилисский государственный университет им. Ив. Джавахишвили

### Резюме

Исследованы модели зависимости разных эксплуатационных характеристик и свойств на их ИК спектры в условиях дизельного горючего, как модельной системы. Модели, построенные с помощью РГК (Регрессия Главных Компонент) характеризовались удовлетворительным и высоким качеством. Изучено влияние количества латентных переменных на качество моделей. В работе нами предложен новый подход, позволяющий применить нейронные сети без предварительного подбора лучших предикторов. Модели, построенные новым методом, обладают более высоким качеством и пригодны для оценки эксплуатационных характеристик дизельного горючего.

## Синтез и бактерицидные свойства серосодержащих органосилан(силоксан)диолов, тетролов и олиготетролов

Е. Маркарашвили, Н. Лекишвили, З. Ломтадзе, Ш. Самакашвили  
Тбилисский государственный университет им. Ив. Джавахишвили

### *Введение. Обоснование проблемы*

Известно, что некоторые (азот, фосфор, серо- и металлосодержащие и др.) низкомолекулярные элементарноорганические соединения являются отличными медиаторами и достаточно эффективными внешними факторами регуляции различных биохимических процессов, в том числе и линогенеза в микро-организмах. Общеизвестные биологически активные вещества характеризуются особенностями состава и строения. Однако, все еще актуальным является поиск новых, более эффективных и доступных синтетических препаратов, обладающих широким спектром биоцидных свойств [1,2].

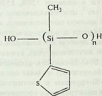
Анализ полученных результатов в данном направлении показал, что повышенную биоактивность проявляют кремнийорганические соединения, содержащие, одновременно, различные гетероатомы или функциональные группы типа серы, аминов, амидов, аминоалкилсилановых, уретановых, тиоло-фосфатных, лактонных, лактамных и др. [3-9].

В литературе описаны кремнийорганические (азот, серо, мышьяк, и др. [10-12]) низкомолекулярные и полимерные соединения, проявляющие высокую бактерицидную активность, подавляющие рост и развитие различных актиномицетов. Выявлен ряд характерных структурных фрагментов, определяющих антимикробную активность выше упомянутых соединений. При изучении этих веществ основное внимание уделялось выяснению зависимости их биологически активных свойств от их структур, что имеет большое значение для совершенствования методов целенаправленного создания новых, более эффективных средств и расширения их функциональных возможностей [7,8].

Из вышеупомянутых элементарноорганических соединений, доступностью и повышенной биоактивностью (токсичностью) отличаются серосодержащие соединения, в частности, тиенилсилатраны [6,7], которые рекомендованы использовать в качестве эффективных биоцидов, обладающим тем преимуществом, что они, в пост-действии гидролизуются быстро и теряют токсичность.

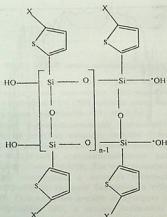
Руководствуясь соображением о богатых соответствующих природных ресурсах (имеются все еще ощутимые запасы нефти и доступные для человечества запасы  $\text{SiO}_2$ ), дальнейшее совершенствование методов синтеза новых кремнийорганических биологически активных соединений и разработка эффективных средств на их основе, не потеряла свою актуальность.

В последние годы нами были синтезированы различные элемент-органические соединения с фунгицидными свойствами. Эти соединения были использованы для защиты технических материалов (предотвращающий процесс деградации), также в сельском хозяйстве (против фитопатогенных микроорганизмов). В этом аспекте по технологичности производства и биологической активности, привлекают внимание тиеннлсодержащие органосиландиолы, органосилоксандиолы, а также хлортниеннлсодержащие циклические тетролы и олиготетролы, изображаемые по следующим общим формулам:



$n=1(\text{I}), 2(\text{II}), 3(\text{III})$ ;

(Схема 1)

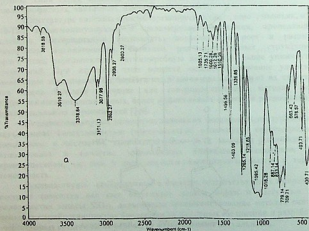


$R=\text{тиенил}, n=2(\text{IV}), 3(\text{V}); R=\text{хлортниенил}, n=2(\text{VI}), n=3(\text{VII})$ .

(Схема 2)

Тиенилорганосилоксаноиды (TSD) были синтезированы по реакции гидролиза соответствующих дихлорсиланов, а олигортганосилоксаноиды (OSD), циклические тетролы (Т) и олиготетролы (ОТ), по реакции гидролитической конденсации тиенилтрихлорсиланов и тиенилтриацетоксисиланов. Они представляют собой диспергируемые в воде, белые, порошкообразные вещества, растворяющиеся в этаноле, диэтиловом эфире и ацетоне (TSD), в диэтиловом эфире и ацетоне (Т, ОТ, OSD).

Состав и строение синтезированных соединений было установлено по данным функционального и элементного анализов (таблица 1), инфракрасных (ИК) и <sup>1</sup>H-ЯМР спектров. В ИК спектрах органотиенилсилан- и силоксаноидов наблюдаются полосы поглощения в области 705 и 1220 см<sup>-1</sup>; полосы средней интенсивности в области 1500, 1520 и 1800 см<sup>-1</sup> и слабая полоса поглощения при 3035 см<sup>-1</sup>, подтверждающие наличие C-S-связей тиенильных групп. Интенсивные полосы поглощения в области 1000-1100 свидетельствует о наличии Si-O-Si-групп в олигортганотиенилсилоксаноидах. В спектрах Т и ОТ были найдены полосы поглощения в области 1085-1090 см<sup>-1</sup> (с двумя максимумами равной интенсивности), относящиеся к антисимметричным валентным колебаниям Si-O-Si-связей в восьмичленных органосилоксановых циклах. Были также обнаружены полосы поглощения в области 1190-1140 см<sup>-1</sup>, относящиеся к Si-O-Si-группам в десигничных орто-силоксановых соединениях. В инфракрасных спектрах этих соединений были также найдены полосы поглощения в областях 705-750 см<sup>-1</sup>, 1220 см<sup>-1</sup>, 1510 см<sup>-1</sup>, 1800 см<sup>-1</sup>, относящиеся к C-S-связям в тиенильных группах. Полосы поглощения в области 3440-3510 см<sup>-1</sup>, относятся к гидроксильным группам циклических тетролов и олиготетролов.



В <sup>1</sup>H-ЯМР спектрах олигоорганотенилсилоксанидиолов найдены сигналы с х.с. δ 3.51, для протонов гидроксильных групп; а также сигналы с х.с. δ 6.83-8.10 (смесь цис-транс изомеров - 46%:54%), для протонов тиенильных групп. В <sup>1</sup>H ЯМР спектрах Т и ОТ найдены сигналы с х.с. δ 3.06, для протонов гидроксильных групп, а также сигналы с х.с. δ 8.25-9.03 (смесь цис-транс изомеров-70%:30%), для протонов тиенильных групп (Рис. 2).

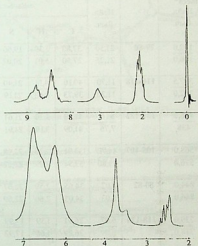


Рис. 2. <sup>1</sup>H-ЯМР спектр тиенилсодержащего тетрола.

На основе данных рентгеноструктурного анализа (Рис. 3) определены некоторые геометрические параметры синтезированных соединений. Так например, для соединений TS и OSD, средняя длина связи Si-O равна 0,1608(9) нм [1,608(9)Å], а валентный угол Si-O-Si - 158,1(4)°.

Исследовано термоокислительная стабильность полученных олиготетролов (ТГА, на воздухе; скорость нагрева 5°/мин.). Установлено, что тиенилсодержащие полициклические олиготетролы практически стабильные до 723К. Их интенсивное термоокислительное разложение протекает в температурном интервале 773-873К. Для исследования бактерицидных свойств синтезированных соединений, в качестве тест-систем были подобраны: *Xanthomonas campestris* (возбуждает бактериоз in white-head sprout), *Xanthomonas campestris*, *Pectobacterium aroideae* (индуцирует рак виноградской лозы), *Actinomicetes Streptomyces SPP*, а также *Actinomicetes griseus Act lavenderae* (разлагают некоторые водорастворимые полимеры). Контрольным веществом использовался Гексаметилдисилоксан, не проявляющий бактерицидных свойства (таблица 2).

Таблица 1. Выход, физико-химические свойства, данные элементного и функционального анализа тиенилсодержащих силандиолов, силоксандиолов, тетролов, олиготетролов.



№ соединения	Выход, %	Молекулярная масса* Найд. Выч.	T <sub>пл.</sub> , °C	ОН, % Найд. Выч.	Элементный состав, %				
					Найд.				
					Вычисл.				
					C	H	S	Si	Cl
I	35,7	152,0 160,0	79-80	21,50	37,80	5,30	19,60	17,80	---
				21,25	37,50	5,01	20,02	17,51	
II	42,5	307,5 302,0	116-118	11,70	40,10	4,11	21,40	18,12	---
				11,20	39,73	4,63	21,19	18,50	
III	61,4	446,0 438	121-122	8,16	41,50	3,30	21,61	19,73	---
				7,76	41,09	3,19	21,91	19,17	
IV	55,0	568,0 576,0	105-107	11,72	33,91	2,25	22,98	19,24	---
				11,80	33,34	2,77	22,22	19,44	
V	18,5	844,0 846,0	80-82	8,02	34,65	2,59	22,67	19,91	---
				8,03	34,05	2,60	22,69	19,85	
VI	48,0	739,0 714,0	118-120	6,07	26,91	1,59	17,99	15,71	19,85
				6,09	26,89	1,68	17,92	15,68	19,82
VII	20,1	1047,0,0 1053,0	101-102	9,17	28,19	1,94	18,32	15,89	20,40
				9,20	27,35	1,51	18,24	15,95	20,22

\*) Эбуллиоскоп.

Было установлено, что для теплокровных животных синтезированные вещества имеют малую летальную дозу. Так, например, для крыс, в случае всех синтезированных соединений, значение LD<sub>50</sub> не превышает 1400 мг/л. Из таблиц 2 и 3 видно, что все синтезированные вещества проявляют достаточно высокую бактерицидную активность и подавляют рост и развитие различных (фитопатогенных) микроорганизмов. Исследования показали, что наиболее активным веществом оказалось I-(Si<sub>1</sub>C<sub>5</sub>H<sub>9</sub>O<sub>2</sub>S) (таблица 2), которое эффективно подавляет рост *Bacterium urefaciens*, тогда как *Nocardopsis SPP* наиболее устойчив к действию данного вещества. Следует заметить, что известный бактерицид «Цинеб», который в течение многих лет используется против некоторых фитопатогенных микроорганизмов, поражающих ряд важнейших сельскохозяйственных культур, например виноград (виноградную лозу), менее активен, чем вещество I.



Таблица 3. Бактерицидные свойства синтезированных циклических тетролов и олиготетролов



Тест - объекты	Вещества**							
	$C_{16}H_{16}O_8S_4Si_4$ (IV)		$C_{32}H_{28}O_{14}S_8Si_8$ (V)		$C_{16}H_{12}O_8S_4Si_4Cl_4$ (VI)		$C_{32}H_{20}O_8S_4Si_4Cl_8$ (VII)	
	Концентрация веществ							
	0,1 г/л	0,01 г/л	0,1 г/л	0,01 г/л	0,1 г/л	0,01 г/л	0,1 г/л	0,01 г/л
зона подавления роста микроорганизмов, мм								
Xanthomonas campestris	3,0	0,0	2,0	0,5	2,0	0,0	1,5	0,0
Pectobacterium aroideae	4,0	2,0	3,5	1,5	2,0	0,0	1,5	0,0
Bacterium tumefaciens	3,0	0,0	2,0	3,0	3,0	0,0	2,0	0,0
Act. lavenderae	3,0	0,0	2,0	0,0	3,0	0,0	2,0	0,0
Act. griseus	2,0	0,0	1,0	0,0	2,0	0,0	1,5	0,0
Streptomyces spp	2,0	0,0	1,0	0,0	2,0	0,0	1,5	0,0

\*\*) Схема 2.

По предварительным данным, на основе синтезированных соединений будут разработаны новые биологически активные материалы, с регулируемым сроком действия, для использования как:

1. Защитные покрытия полифункционального назначения стойкие к биокоррозии, индуцированной микроорганизмами (пленочные материалы, пропиточные составы, пенополиуретановые материалы);
2. Материалы с антимикотическими свойствами - апретирующие и адгезионные составы, в виде водных дисперсии, для производства кожи, обуви и текстиля;
3. Биологически активные полимерные материалы для защиты сельскохозяйственных растений от болезней, вызванных несовершенными грибами и некоторыми другими микроорганизмами, а также человека при контакте с ними и др.

#### Заключения

1. Синтезированы и изучены биологически активные органосиландиолы, олигоорганосилоксандиолы, циклические тетролы и олиготетролы с тиенильными радикалами у атомов кремния;
2. Изучена бактерицидная активность синтезированных соединений по отношению фитопатогенных микроорганизмов. Установлен ряд их относительной биологической активности;
3. Установлено, что наибольшую бактерицидную активность проявляет метилтиенилсиландиол, эффективно подавляющий рост *Bacterium tumefaciens*;
4. Показано, что по отношению к *Pectobacterium aroideae*, *Pectobacterium aroideae* и *Bacterium tumefaciens*, достаточно высокую активность проявляют тиенил- и хлортиенилсодержащие циклические тетролы и олиготетролы.

1. Denyver S.P. Mechanisms of action of chemical biocides, their study and application [Technical series (Society for Applied Bacteriology)]. Blackwell Scientific Publications, 1991.
2. Hazzira-Laskar, J., et al., Biocidal Polymers Active by Contact. IV. Polyurethanes Based on Polysiloxanes with Pendant Primary Alcohols and Quaternary Ammonium Groups. Journal of Applied Polymer Science, 58 (1), 77-84 (1995).
3. Мегрелидзе Н.Д., Погайдели А.И., Ханашвили Л.И., Вардосანიძე Ц.Н., Цоман Н.И., Лабаргკაва М.О. Синтез эпоксидных олигомеров с непредельными группами и цепи молекул. Сообщения АН Грузии, 110(2), 313-316-628 (1983).
4. Hazzizalaskar J., Helary G., Sauvet G. Biocidal polymers active by contact IV. Polyurethanes based on polysiloxanes with pendant primary alcohols and quaternary ammonium groups. Journal of Applied Polymer Science, 58 (1), 77-64 (1995).
5. Jambashvili I. K., Khamanashvili L.M., Akhobadze D.Sh., et al. Synthesis and Properties of N-organosilylmethylactames. Intern. J. Polym. Mater. 24, 141-143 (1994).
6. Лукенин Э., Пудова О.А., Ю. Попелис, Н.Н. Ерчак. Элементарганические соединения, содержащие тиенильные гетероциклы. Ж. Общ. Хим., 55(7), 1521-1523 (1985).
7. Лукенин Э., Пудова О.А., Стуркович Р.Я., Гусман А.П.. Взаимодействие аллил- и пропаргилхлоридов с гидросиланами. Ж. Общ. Хим. 51(1), 115-119 (1981).
8. Ломთაძე ზ.შ., ლაპერაშვილი კ.ა., ჩაჩავა გ.ნ., ახოხაძე დ.შ.. Антиактивно-мицетные свойства некоторых кремнийорганических и мышьяксодержащих соединений. Труды Общества микробиологов Грузии. Тбилиси, 1992, с.93.
9. გვერდიანი მ.ი., ლეკიშვილი ნ.გ., სამაკაშვილი შ.ვ., ასათიანი ლ.პ. Разработка структурной модели для исследования биоактивных свойств элементарганических полимеров, содержащих несколько гетероатомов. Химический журнал Грузии, 5(1), 94-95 (2005).
10. Помагайло А.Д., Савостьянов В.С. Металлсодержащие мономеры и полимеры на их основе. Издательство «Химия», 1988, с. 332-334.
11. Tomasz Janosik, Brigitta Stenslaud, and Jan Bergman. Sulfur-Rich Heterocycles from 2-Metalated Benzo[b]thiophene and Benzo[b]furan: Synthesis and Structure. J. Org. Chem, 67(17), 6220-6223 (2002).
12. Khananashvili L., Markarashvili E., Kupatadze N., et al. Synthesis and study of the bactericide properties of unsaturated silicon-organic compounds. Proceedings of the Academy of Sciences of Georgia. Chemical series, vol. 28, No 1-2, pp. 85-87 (2002) (Georg.).
13. Markarashvili E., Vardosanidze Ts., Lomtadze Z., Samakashvili Sh., Mukbaniani O., Lekishvili N. SYNTHESIS AND BACTERICIDE PROPERTIES OF THIENYL-CONTAINING TETROLES AND OLYGOTEROLES. International Conference [Under the sponsorship of the Inter-national Science and Technology Center (ISTC)] "New Polymer Systems for Biotechnological and Biomedical Applications". Yerevan, 12-14 July, 2005, 110-111.

გოგირდ შემცველი სილან(სილოქსან)დიოლები, ტეტროლების და ოლიგოტეტროლების სინთეზი და ბაქტერიოციდული თვისებები

გ. მარქარაშვილი, ნ. ლეკიშვილი, ზ. ლომთათიძე, შ. სამაკაშვილი  
ივ. ვჯავახიშვილის სახელობის თბილისის სახელმწიფო უნივერსიტეტი  
რეზიუმე

დასინთეზებულია გოგირდშემცველი სილან(სილოქსან)დიოლები, ტეტროლები და ოლიგოტეტროლები. შესწავლილია მათი აღნაგობა და ბაქტერიოციდული თვისებები. დადგენილია ბიოლოგიური აქტიუობის რიგი.

# Synthesis and bactericidal properties of sulfurcontaining silan(siloxane)diols, tetrols and oligotetrols



E. Markarashvili, N. Lekishvili, Z. Lomtadize, Sh. Samakashvili  
I. Javakishvili Tbilisi State University

## Summary

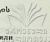
The sulfurcontaining siliconorganic compounds - organosilan(siloxane)diols, cyclic tetrols and oligotetrols with fungicide properties have been synthesized. These compounds were used for protection of technical materials (precluding the degradation process) also, in agriculture (against the different phito-pathogen microorganisms).

These compounds have been synthesized by reaction of hydrolysis of methylthienyl-dichlorinesilanes (diols) and by reaction of hydrolytic condensation [oligomethyl-thienylsiloxane diols (OSD), tetrols(T) and oligotetrols (OT)] of corresponding trichlorinesilanes and triacetoxysilanes. They are dispersing in water white powders, soluble in ethanol, acetone and diethylester (T, TSD), acetone and diethylester (T, OT). By using of the data of elemental, IR and <sup>1</sup>H-NMR spectral analysis, the composition and structure of the synthesized compounds were established.

For investigation of the bactericide properties, as testing systems, were used *Xanthomonas campestris* (induced of the bacterioz in white-head sprout), *Pectobacterium aroidene* ((induced of the cancer of vine), and *Actinomyces Streptomyces SPP*, *Actinomyces griseus Act lavendulae* (degraded some water-soluble polymers).

It was shown that all synthesized compounds characterized with the active bactericide properties. These compounds, relative to haematothermal animals have a little toxicity. The LD<sub>50</sub> for rats, in case of the each synthesized compound, at their continuum introduction, gave 1400 mg/l.

It was established that the synthesized compounds also can be used against phyto-pathogen microorganisms - agricultural and some water-soluble polymers pests.



ქიმიის სწავლების მეთოდთა

### კოვალენტური ბმა

მ. გვერდწითელი, ზ. ცაგურია, მარკე გვერდწითელი  
თ. ჯავახიშვილის სახელობის თბილისის სახელმწიფო უნივერსიტეტი

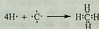
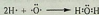
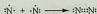
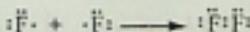
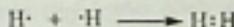
“ქიმიის იწყება იქ, სადაც მთავრდება იზო-  
ლირებული ატომი და იწყება მოლეკულა”

კ. ოზინიკოვი

ქიმიური ბმის ცნება გულისხმობს იმ ძალებს, რომელთა გავლენითაც ატომები უკავშირდებიან ერთმანეთს და წარმოქმნიან მოლეკულას. არსებობს ქიმიური ბმის სამი ძირითადი ტიპი: კოვალენტური, იონური და მეტალური. მათ შორის უმნიშვნელოვანესია კოვალენტური ბმა.

კოვალენტური ბმის ბუნებაზე თვისებრივი ელექტრონული წარმოდგენები შემუშავებულ იქნა 1913-1920 წლებში ჯილბერტ ლუისის მიერ, რომელმაც ქიმიური ბმის წარმოქმნის პირობად ელექტრონების გაწვევლება მიიხსია. ლუისის წარმოდგენების მიხედვით, კოვალენტური ბმის წარმოქმნისას სავალენტო ელექტრონები საზიარო ხდება ორივე ატომისათვის – ამ შეხედულებას ემყარება კოვალენტური ბმის “კლასიკური” განმარტება: “საზიარო ელექტრონული წყვილის (წყვილების) საშუალებით დაზგარებულ ქიმიურ კავშირს კოვალენტური ბმა ეწოდება”.

კოვალენტური ბმის წარმოქმნისას ელემენტთა ატომები მიიწრაფვიან შეიქმნან ინერტული აირების ანალოგიური რვა ელექტრონიანი სტაბილური კონფიგურაცია – ოქტეტი (წყვლბადის შემთხვევაში, ორელექტრონიანი – დუბლეტი). ქვემოთ მოყვანილია კოვალენტური ბმის წარმოქმნის სქემა – ოქტეტური თეორიის თვალთახედვით – პირველი და მეორე პერიოდის ელემენტებისათვის:



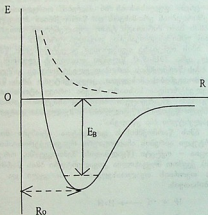
კოვალენტური ბმა წარმოიქმნება ერთნაირი ან მცირედ განსხვავებული ელექტროუარყოფითობების მქონე ელემენტების ატომებს შორის.

კოვალენტური ბმის ბუნების ფიზიკური არსის ინტერპრეტაცია შესაძლებელი გახდა კვანტური მექანიკის წარმოდგენებზე დაფრდნობით –

რაც გულისხმობს მოცემული მოლეკულის შესაბამისი შრუდინგერის განტოლების ( $H\Psi = E\Psi$ ) ამოხსნას (აქ:  $H$  - ჰამილტონიანი,  $E$  - სისტემის სრული ენერჯია,  $\Psi$  - ტალღური ფუნქცია).

პირველ მოლეკულას, რომელიც კვანტურ-მექანიკურად იქნა დახასიათებული (ე.ი. "ამოხსნილი" იქნა შესაბამისი შრუდინგერის განტოლება), წარმოადგენს წყალბადი. გამოთვლები ჩატარებულ იქნა 1927 წელს კ. პაიტლერისა და ფ. ლონდონის მიერ, რითაც, ფაქტობრივად, შეიქმნა კოვალენტური ბმის კვანტური თეორიის საფუძვლები და, ამგვარად, საფუძველი ჩაეყარა კვანტურ ქიმიას.

პაიტლერ-ლონდონის მიდგომის ფარგლებში, წყალბადის მოლეკულის გამოთვლის შედეგები მოცემულია ნახ. 1-ზე ქვედა (უწყვეტი) მრუდი შეესაბამება ატომთა შორის მიზიდვას - ბმის წარმოქმნას, ზედა (წყვეტილი) მრუდი - ატომთა განზიდვას.



ნახ.1. წყალბადის მოლეკულის ენერჯიის დამოკიდებულება ატომთა შორის მანძილზე.

პაიტლერმა და ლონდონმა გამოთვალეს კოვალენტური ბმის რაოდენობრივი მახასიათებლები - სიგრძე და ენერჯია, თუმცა მათ შედეგებს მიახლოებითი ხასიათი ჰქონდა და მნიშვნელოვნად განსხვავებოდა ექსპერიმენტულად განსაზღვრულისაგან (იხ. ცხრილი 1). წყალბადის მოლეკულა შემდგომში არაერთგზის იქნა გამოთვლილი, ამასთანავე გამოთვლითი მეთოდების სიზუსტის თანდათანობით გაზრდით, შესაძლებელი გახდა ექსპერიმენტულ მონაცემებთან აბსოლუტურად თანხვედრილი შედეგების მიღება. ცხრილ 1-ში მოყვანილია გამოთვლების შედეგები.



აქტორები	ტალღურ ფუნქციაში შემავალ წვერთა რიცხვი	E <sub>n</sub> (ეე)	R <sub>0n</sub> (წმ)
პაიტლერი და ლონდონი	2	3.14	0.0869
ვეინბაუმი	4	4.02	0.0749
ჯეიმსი და კულოჯი	13	4.72	0.0740
კოლოსი და რუტაანი	50	4.7467	0.0741
კოლოსი და კოდნიუვიჩი	100	4.748545	0.0741
ექსპერიმენტული		4.748545	0.0741

თანამედროვე კვანტურ-ქიმიური შეხედულებით, კოვალენტური ბმის წარმოქმნა არაა დაკავშირებული მიკროსამყაროს სპეციფიკურ "შიმოცვლით" ძალებთან (როგორც ეს ადრე არასწორად მიაჩნდათ). ერთადერთი ძალები, რომლებიც მოქმედებენ კოვალენტური ბმის წარმოქმნისას, არის ელექტროსტატიკური მიზიდვისა და განზიდვის ძალები. ასევე, სინამდვილეს არ შეესაბამება შეხედულება, რომ ბმის წარმოქმნის მიზეზია სპინების გაწვეილება. თეორიულად დამტკიცდა, რომ ბმის წარმოქმნისას ელექტრონების სპინები საერთოდ არ მონაწილეობენ, ხოლო მათი შეუღლება წარმოადგენს მხოლოდ და მხოლოდ ბმის წარმოქმნის მამუენებულს - "ინდიკატორს" - პაიტლერისა და ლონდონის მარტივ მოდელში.

კოვალენტური ბმის წარმოქმნის რეალური მიზეზია ელექტრონთა პოტენციური ენერჯიის შემცირება, რაც განპირობებულია ელექტრონების ყოფნის ალბათობის (ე.წ. "ელექტრონული ღრუბლის სიმკვრივის") გაზრდით ატომგულთა შორის სივრცეში.

მოკლე განვიხილოთ კოვალენტური ბმის ძირითადი მახასიათებლები: ენერჯია, სიგრძე, პოლარობა, პოლარიზებადობა, ნაჯერობა და მიმართულება.

კოვალენტური ბმის წარმოქმნა დაკავშირებულია ენერჯიის გამოყოფასთან და ამ ენერჯიას კოვალენტური ბმის ენერჯია (ენთალპია) ეწოდება. სქემატურად:

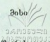


ცხადია, რაც უფრო მტკიცეა კოვალენტური ბმა, მით მეტი ენერჯია გამოიყოფა მისი წარმოქმნისას. მე-2 ცხრილის მეორე სვეტში მოყვანილია შედარებით გაერცვლებული ქიმიური ბმების ენერჯიები.

კოვალენტურ ბმას ახასიათებს გარკვეული სიგრძე, რომელიც წარმოადგენს ბმის წარმოქმნელი ელემენტების ატომგულთა ცენტრებს შორის მანძილს. მე-2 ცხრილის მესამე სვეტში მოყვანილია ზოგიერთი კოვალენტური ბმის სიგრძე.

როდესაც კოვალენტური ბმით ერთდება სხვადასხვა ელექტრონარყოფითობის მქონე ელემენტები, დადებითი და უარყოფითი მუხტების სიმბიზის ცენტრები არ ემთხვევა ერთმანეთს და წარმოქმნილი ბმა იძენს

\* არსებობს კოვალენტური ბმის ბუნებაზე ალტერნატიული თანამედროვე მოსაზრება, რომელიც ემყარება ორბიტალების გადაფარვის ტოპოლოგიურ სპეციფიკას.



პოლარობას. ბმის პოლარობის რაოდენობრივი მახასიათებელია მისი დიპოლური მომენტი:

$$\mu = q \cdot r,$$

სადაც  $q$  მუხტია, ხოლო  $r$  - მანძილი მუხტების სიმძიმის ცენტრებს შორის. ჭიმური ბმების დიპოლური მომენტი, ტრადიციულად, იზომება დებაეზში:  $1D = 10^{18}$  ელ.სტ.ერთ. (ერთეულების საერთაშორისო SI სისტემაში  $1D = 3.336 \cdot 10^{-30}$  კ.მ.).

დიპოლური მომენტი ევქტორული სიდიდეა და მიმართულია დადებითი მუხტის სიმძიმის ცენტრიდან უარყოფითი მუხტის სიმძიმის ცენტრისაკენ. მე-2 ცხრილის მეოთხე სვეტში მოცემულია ზოგიერთი ბმის დიპოლური მომენტი.

ხაზგასმით უნდა აღინიშნოს, რადგან დიპოლური მომენტი ევქტორული სიდიდეა, მთელი მოლეკულის დიპოლური მომენტი დამოკიდებულია როგორც ცალკეული ბმების დიპოლურ მომენტზე, ისევე მთლიანი მოლეკულის გეომეტრიაზე.

კოვალენტური ბმების შინაშენლოვანი მახასიათებელია მათი პოლარიზებადობა, რომელიც წარმოადგენს ჭიმური კავშირის პოლარობის შევსების უნარს გარეშე ზემოქმედების შედეგად. ასეთი გარეშე ზემოქმედება შეიძლება მოახდინოს ელექტრომაგნიტურმა ველმა, რეაქტიის პროცესში შიახლოებულმა ნაწილაკმა და ა.შ. ზოგიერთი კოვალენტური ბმის პოლარიზებადობა მოტანილია მე-2 ცხრილის ბოლო სვეტში.

რაც შეეხება კოვალენტური ბმის ხერციით ორიენტაციის საკითხს, მისი ინტერპრეტაცია შეიძლება როგორც "სუფთა" ატომური ორბიტალების მიმართულების საფუძველზე, ისევე პიბრიდიზაციის კონცეფციის გამოყენებით.

პირველი მდგომის საილუსტრაციოდ განვიხილოთ VI ჯგუფის მთავარი ქვეჯგუფის ელემენტების პიბრიდები:  $H_2O$ ,  $H_2S$ ,  $H_2Se$  და  $H_2Te$ . ამ ნაერთებში ცენტრალური ატომები (O, S, Se, Te) ბმებს წარმოქმნიან ორბიტალების საშუალებით, რომლებიც ერთმანეთის მიმართ ურთიერთმართობულნი არიან ( $\angle = 90^\circ$ ). ამის საფუძველზე შეიძლება ეთვარაუდოთ, რომ  $\angle X$  დაახლოებით  $90^\circ$ -ის ტოლი უნდა იყოს. ამასთანავე ისიც განათვალისწინებელია, რომ ჯანგბადი ბმებს წარმოქმნის 2p ორბიტალებით, გოგირდი - 3p ორბიტალებით, სელენი - 4p ორბიტალებით და ტელური - 5p ორბიტალებით. ამგვარად, მანძილი წვალბადის ორ ბმულ ატომს შორის ამ ნაერთებში იზრდება ჯანგბადიდან ტელურისაკენ (წვალბადატომები სივრცითად სულ უფრო შორდებიან ერთმანეთს). ამ ევექტმა უპყველი ასახვა უნდა პოვოს  $\angle X$ -ის სიდიდეზე - იგი  $H_2O$ -დან  $H_2Te$ -მდე თანდათანობით უნდა შემცირდეს. ეს მართლაც ასეა:  $\angle HOH = 104.5^\circ$ ,  $\angle SHH = 92^\circ$ ,  $\angle Se = 91^\circ$ ,  $\angle HTe = 90^\circ$ , რაც ზემოთ მოყვანილი მდგომის ევექტრობაზე მიუთითებს.

პიბრიდიზაციის კონცეფცია ჩამოყალიბებულია 1931 წელს პოლინგის, სლეტერისა და მათგან დამოუკიდებლად - მალიკენისა და პუნდის მიერ მეთანის გეომეტრიის ასახსნელად. მათ დაუშვეს, რომ ოთხვალენტოვან მდგომარეობაში ნახშირბადი კოვალენტურ ბმებს წარმოქმნის არა "სუფთა" 2s და 2p ორბიტალებით, არამედ მათი ერთგვარი "პიბრიდიით".

აღნიშნული ტიპის პიბრიდიზაციას ტეტრაგონალური, ანუ  $sp^3$  პიბრიდიზაცია ეწოდება (რადგან მასში მონაწილეობს ორი s- და სამი p- ორბიტალი). კუთხე  $sp^3$  ორბიტალებს (აქედან გამომდინარე - მათ მიერ წარმოქმნილ ჭიმურ ბმებს) შორის  $109^\circ 28'$ -ის ტოლია.

ანალოგიურად განიხილება ტრიგონალური -  $sp^2$  და დიაგონალური (წრფივი) -  $sp$  ჰიბრიდიზაციები:  $sp^2$  ჰიბრიდული ორბიტალები კოპლანარულდება (ერთ სიბრტევეში მდებარეობს) და კუთხე მათ შორის  $120^\circ$ -ის ტოლია,  $sp$  ორბიტალები ერთ წრფეზეა განლაგებული და კუთხე მათ შორის  $180^\circ$ -ის ტოლია.

ცხრილი 2. ზოგიერთი კოვალენტური ბმის ენერგია, სიგრძე, პოლარობა და პოლარიზებადობა

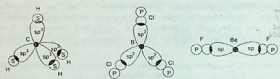
ბმის ტიპი	ენერგია, კჯ/მოლი	სიგრძე, მ	პოლარობა, დეგანი	პოლარიზებადობა, სმ <sup>2</sup>
C - C	350	0.154	0	1.3
C = C	620	0.133	0	4.2
C ≡ C	810	0.120	0	6.2
C - N	290	0.147	0.45	1.6
C = N	615	0.127	1.4	3.8
C ≡ N	880	0.115	3.1	4.8
	340	0.143	0.7	1.5
C - O				
C = O	710	0.121	2.4	3.3
C - F	485	0.140	1.39	1.4
C - Cl	330	0.176	1.47	6.5
C - Br	280	0.191	1.42	9.4
C - I	240	0.212	1.25	14.6
H - C	415	0.109	0.4	1.7
H - O	465	0.096	1.51	1.7
H - N	390	0.101	1.31	1.8

პოლინგმა შეიმუშავა ჰიბრიდიზაციის "მომგებიანობის" კრიტერიუმი, რომელიც ეფუძნება მოსაზრებას, რომ კოვალენტური ბმის სიმტკიცე ატომური ორბიტალების გადაფარვის ხარისხის პროპორციულია. გამოთვლებით დადგინდა, რომ ჰიბრიდული ორბიტალებით წარმოქმნილი ბმები უფრო მტკიცეა, ვიდრე "სუფთა" ორბიტალებით წარმოქმნილი. მე-3 ცხრილში მოცემულია ორბიტალების ტიპი და მათი მონაწილეობით წარმოქმნილი ბმების ფარდობითი სიმტკიცე.

ნახ. 2-ზე მოყვანილია  $CH_4$ -ის,  $Cl_2$ -ისა და  $BeF_2$ -ის ორბიტალური სქემები, როგორც  $sp^3$ ,  $sp^2$  და  $sp$  ჰიბრიდულ მდგომარეობაში მყოფი ატომების მიერ წარმოქმნილი კოვალენტური ბმების სივრცითი ორიენტაციის ილუსტრაცია.

ცხრილი 3. ორბიტალების ტიპი და მათი მონაწილეობით წარმოქმნილი ბმების ფარდობითი სიმტკიცე

ორბიტალის ტიპი	s	p	sp	$sp^2$	$sp^3$
ბმის ფარდობითი სიმტკიცე	1.000	1.432	1.932	1.991	2.000



ნახ. 2. CH<sub>4</sub>-ის, BCl<sub>3</sub>-ისა და BeF<sub>2</sub>-ის ორბიტალური სქემები

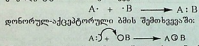
დაბოლოს, განვიხილოთ კოვალენტური ბმის ხვეციფიკური ტიპი - დონორულ-აქცეპტორული (კოორდინაციული) ბმა.

დონორულ-აქცეპტორული ბმის ცნება ქიმიაში შემოტანილია 1893 წელს აღფრედ ვერნერის მიერ. აღფრედ ვერნერი იყო კომპლექსურ (კოორდინაციულ) ნაერთთა აღნაგობის პირველი თეორიული მოძღვრების ავტორი. ამიტომ მან დონორულ-აქცეპტორული ბმისათვის, რომელიც კოორდინაციულ ნაერთებში გვხვდება, შემოიტანა ტერმინი "კოორდინაციული ბმა" (იგი დღემდე ხმარებაშია როგორც დონორულ-აქცეპტორული ბმის სინონიმი).

განმარტების მიხედვით, "ქიმიურ ბმას, რომელიც ერთ-ერთი ატომის გაუზიარებელი ელექტრონების წყვილის ხარჯზეა დამუარებული, დონორულ-აქცეპტორული ბმა ეწოდება."

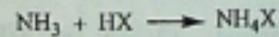
დონორულ-აქცეპტორული ბმა კოვალენტური ბმის ისეთი კერძო შემთხვევაა, როდესაც ორ ატომს შორის ქიმიური ბმის წარმოქმნისათვის საჭირო ელექტრონულ წყვილს ერთი ატომი - დონორი გაიძღვს.

ამგვარად, თუ ჩვეულებრივი კოვალენტური ბმა შეიძლება განვიხილოთ როგორც "ელექტრონი - ელექტრონი" ურთიერთქმედების შედეგი, დონორულ-აქცეპტორული ბმა მიიღება "თავისუფალი ელექტრონების წყვილი - ვაკანტური ორბიტალი" ურთიერთქმედების შედეგად. სქემატურად ეს შემდეგნაირად შეიძლება აღინიშნოს:



ამგვარად, A ელექტრონული წყვილის დონორია, B - ელექტრონული წყვილის აქცეპტორია.

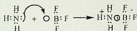
დონორულ-აქცეპტორული ბმის წარმოქმნის კლასიკური მაგალითია



ამონიუმის ჰიდროქსიდში და ამონიუმის მარილებში: სადაც X = OH, ან შეავას ნაშთია.

ამ პროცესის მექანიზმი შემდგენიარად შეგვიძლია წარმოვიდგინოთ: პროტონს - წყალბადის კათიონს არ გააჩნია ელექტრონული შრე. ამგვარად, პროტონი ქიმიური ბუნებით უნიკალურია - იგი "შიშველი" ატომგულია. აზოტს კა აქვს თავისუფალი ელექტრონული წყვილი, რომლის ხარჯზეც ხდება პროტონის ამოაკთან მიერთება და მიიღება ამონიუმის იონი, რომელშიც ოთხივე ბმა აბსოლუტურად ეკვივალენტურია, ხოლო პროტონის დადებითი მუხტი მთელ ამონიუმზეა გადაწარმოებული:

დონორულ-აქცეპტორული ბმა წარმოიქმნება ამიაკისა და ბორის ტრიფტორიდის ურთიერთქმედების შედეგად, შემდეგი სქემის მიხედვით:



ჩვენს მიერ ზემოთ მოყვანილი წარმოდგენები კოვალენტური ბმის ბუნებაზე და თვისებებზე, ცხადია, მაქსიმალურად გამარტივებულად – უმადლესი მათემატიკის აპარატის გამოყენების გარეშეა მოყვანილი. ისიც აღსანიშნავია, რომ ქიმიური ბმების ბუნების არსის კვლევას დღესაც არ დაუკარგავს აქტუალობა და შემდგომი ინტენსიური შესწავლის ობიექტს წარმოადგენს.

ლიტერატურა:

1. შ. გვერდწითელი, ჯ. კერესელიძე, დ. ტულუში. ქიმიური ბმები. თბილისი, თბილისის უნივერსიტეტის გამომცემლობა, 1999.
2. შ. გვერდწითელი, თ. დვედარიანი. მოლეკულათა აღნაგობა და ქიმიური ბმები. თბილისი, თბილისის უნივერსიტეტის გამომცემლობა, 1988.
3. შ. გვერდწითელი, თ. დვედარიანი. მოლეკულათა აღნაგობა და მათი გარდაქმნების კანონზომიერება. თბილისი, თბილისის უნივერსიტეტის გამომცემლობა, 1991.
4. გ. ჩახტაური, გ. გამზიანი, შ. გვერდწითელი. ვექტორული აღრიცხვის ელემენტები და მისი გამოყენება ქიმიაში. თბილისი, თბილისის უნივერსიტეტის გამომცემლობა, 1998.
5. შ. გვერდწითელი. ორგანული ქიმიის თეორიული საფუძვლები. თბილისი, თბილისის უნივერსიტეტის გამომცემლობა, 1989.
6. შ. გვერდწითელი, შ. სიღამონიძე. ნივთიერების აღნაგობა. თბილისი, თბილისის უნივერსიტეტის გამომცემლობა, 1987.

## Covalece bonding

M. Gverdtsiteli, E. Tsaguria, Mar. Gverdtsiteli  
Iv. Javakhishvili Tbilisi State University

### Summary

Qualitative and modern quantum-chemical views about covalece bonding are discussed. The fundamental characteristics of the main covalece bonding are represented. The mechanism of coordination bonding formation is demonstrated.

## Ковалентная связь

М. Гвердцители, Е. Цагурия, М. Гвердцители

Тбилисский государственный университет им. Ив. Джавахишвили

### Резюме

Рассмотрены качественные и современные квантово-химические представления о ковалентной связи. Приведены фундаментальные характеристики важнейших ковалентных связей. Показан механизм образования донорно-акцепторной связи.

გამომცემლობის რედაქტორები: ც. ჯიშკარიანი,  
ა. შაქარიანი

კორექტორები: ნ. მაჭავარიანი,  
დ. გოგიბერაშვილი,  
მ. ლაშქარაძე

ხელმოწერილია დასაბუთებლად 19.12.05

საბუთო ქაღალდი 60x84

პირობითი ნაბუთო თაბახი 14,69

სააღრ. -საგამომც. თაბახი 7,64

შეკვეთა № 53 ტირაჟი 60

ფასი სახელშეკრულებო

თბილისის უნივერსიტეტის გამომცემლობა  
0128, თბილისი, ი. ჭავჭავაძის გამზ., 14



დაიბუჭა გამომცემლობა „უნივერსალში“

თბილისი, 0128, ი. შავთავაძის გამზ. 1, ☎: 29 09 60, 6991 17 22 30  
E-mail: universal@internet.ge



78-2005

2006-612

  
NATIONAL ARCHIVES  
AND RECORDS ADMINISTRATION

n 2810 / ?